



TESIS-RC 142501

PEMODELAN TRANSPORTASI MODA SEPEDA MOTORKOTA SAMARINDA UNTUK TAHUN 2016

**NORBERTUS DWI ARIYADI PRADITYA
NRP. 3115 206 006**

**Dosen Pembimbing :
Dr. Ir. Hitapriya Suprayitno, M.Eng.**

**PROGRAM MAGISTER
BIDANG KEAHLIAN MANAJEMEN DAN REKAYASA TRANSPORTASI
DEPARTEMEN TEKNIK SIPIL
FAKULTAS TEKNIK SIPIL DAN PERENCANAAN
INSTITUT TEKNOLOGI SEPULUH NOPEMBER
SURABAYA
2017**



THESIS-RC 142501

MOTORCYCLE TRANSPORT MODEL FOR SAMARINDA FOR YEAR 2016

NORBERTUS DWI ARIYADI PRADITYA
NRP. 3115 206 006

Supervisor :
Dr. Ir. Hitapriya Suprayitno, M.Eng.

MASTER PROGRAM
TRANSPORTATION ENGINEERING AND MANAGEMENT
DEPARTMENT OF CIVIL ENGINEERING
FACULTY OF CIVIL ENGINEERING AND PLANNING
INSTITUT TEKNOLOGI SEPULUH NOPEMBER
SURABAYA
2017

Tesis disusun untuk memenuhi salah satu syarat memperoleh gelar
Magister Teknik (M.T.)
di
Institut Teknologi Sepuluh Nopember

Oleh :
NORBERTUS DWI ARIYADI PRADITYA
NRP. 3115 206 006

Tanggal Ujian : 04 Mei 2017
Periode Wisuda : September 2017

Disetujui oleh :

1. **Dr. Ir. Hapriya Supravitno, M.Eng**
NIP : 19541103 198601 1 001

(Pembimbing)

2. **Ir. Hera Widayastuti, M.T., Ph.D**
NIP : 19600828 198701 2 001

(Pengaji)

3. **Ir. Ervina Ahyudanari, M.E., Ph.D**
NIP : 19690224 199512 2 001

(Pengaji)



PEMODELAN TRANSPORTASI MODA SEPEDA MOTOR KOTA SAMARINDA UNTUK TAHUN 2016

Nama Mahasiswa : Norbertus Dwi Ariyadi Praditya

NRP : 3115 206 006

Dosen Pembimbing : Dr. Ir. Hitapriya Suprayitno, M.Eng

ABSTRAK

Kota Samarinda, sebagai ibukota dari provinsi Kalimantan Timur memiliki perkembangan kota yang relatif cukup lambat khususnya dalam perkembangan jaringan jalan transportasi. Dimana pertumbuhan penduduk kota Samarinda semakin besar, hal itu juga harus diselaraskan dengan perkembangan jaringan jalan kota Samarinda yang menjadi jalan penghubung. Jika tidak adanya perkembangan jaringan jalan yang cukup, maka banyak terjadi ruas jalan yang mengalami *overload*. Oleh karena itu perlu dilakukannya penelitian tesis Pemodelan Transportasi sepeda motor Kota Samarinda Pada Tahun 2016, guna mengatasi permasalahan yang ada dalam kota Samarinda tersebut

Penelitian ini diawali dengan menggunakan beberapa perhitungan model 4 langkah pemodelan transportasi yang terdiri *Trip Generation*, *Trip Distribution*, dan *Trip Assignment* pada semua zona kelurahan yang ada dan berhubungan langsung dengan pusat kota Samarinda dan beberapa titik arus masuk keluar menuju atau keluar dari pusat kota ke zona luar kota. Data yang digunakan dalam pemodelan ini adalah data pencacahan lalu lintas dan beberapa data pendukung untuk penelitian ini. Data yang sudah didapat akan dihitung dalam perhitungan Model 4 langkah dan dibantu dengan analisis pada aplikasi perangkat lunakPTV Visum.

Hasil analisis pemodelan transportasi dengan bantuan Visum adalah total jumlah pergerakan total 162.630 motor pada *peak hour* pagi dengan ruas jalan yang paling besar adalah Jl. D.I Panjaitan dengan nilai pergerakan 5905 motor. Validasi dan kalibrasi yang dilakukan sebanyak 6 kali perhitungan. Penelitian ini diharapkan dapat dilanjutkan ke tahap selanjutnya dimana dapat mencari solusi atas permasalahan tiap ruas jalan dan juga untuk studi wilayah lainnya.

Kata Kunci :Pemodelan, Model 4 langkah, Kota Samarinda, Jaringan Jalan, Perangkat lunak PTV Visum

MOTORCYCLE TRANSPORT MODEL FOR SAMARINDA FOR YEAR 2016

Name	: Norbertus Dwi Ariyadi Praditya
NRP	: 3115 206 006
Supervisor	: Dr. Ir. Hitapriya Suprayitno, M.Eng

ABSTRACT

Samarinda City, as the capital of East Kalimantan province has relatively slow development in road network. The road development progress is far less compared to population growth. In the lack of sufficient road network development, many road are overloaded. Road development program needs the transport model. Therefore thesis research is designated to develop Motorcycle Transport Model for Samarinda City In the Year 2016, in order to be used for solving the existing road network problem.

This research was conducted by using conventional model, consists of Trip Generation, Trip Distribution, and Trip Assignment. The modelling area is divided into 25 internal zones and 5 external zones. The into and out from traffic volumes were counted in each of city entrance. The data already obtained will be calculated in the 4-step Model calculation and by using Excel and PTV Visum software for calculating the traffic assignment.

The modelling calculation give the total motorcycle trip movement of 162.630 motorcycles at morning peak hours. The important traffic volume are in D.I Panjaitan street at 5905 motorcycle/hour, Slamet Riyadi boulevard at 5496 motorcycle/hour, and P. Antasari boulevard at 5193 motorcycle/hour. Validation and calibration has been done in 6 times calculation. This research is expected to be continued to develop model for other cities.

Keywords : Urban Transport Model, 4 Step Conventional Model, Samarinda City, Road Network, Visum Software

KATA PENGANTAR

Puji syukur penulis panjatkan atas setiap tuntunan Tuhan Yesus, penyusunan tesis yang berjudul “**PEMODELAN TRANSPORTASI MODA SEPEDA MOTOR KOTA SAMARINDA UNTUK TAHUN 2016**” dapat diselesaikan dengan baik.

Terlaksananya penelitian tesis dan selesaiannya penyusunan laporan ini tidak terlepas dari bimbingan dan bantuan serta saran-saran dari berbagai pihak. Oleh karena itu penulis sampaikan ucapan terima kasih yang tulus kepada :

1. Ibunda Caeline Ary Prihastuti, yang selama ini telah banyak memberikan dorongan semangat, motivasi, dan doa yang tiada hentinya kepada penulis hingga tersusunnya laporan tesis ini.
2. Bapak Dr. Ir. Hitapriya Suprayitno, M.Eng. selaku dosen pembimbing yang telah membimbing dan mengarahkan penulis mulai dari persiapan dan selama penelitian sehingga penulis dapat menyelesaikan laporan tesis ini.
3. Ketua Bidang Manajemen dan Rekayasa Transportasi, Ibu Ir. Hera Widyastuti, M.T., Ph.D. yang telah memberikan kesempatan kepada penulis untuk menempuh dan menyelesaikan studi di program studi Teknik Sipil.
4. Ibu Ir. Ervina Ahyudanari, M.E., Ph.D. selaku dosen penguji yang telah memberikan kritik dan saran yang bermanfaat untuk penyelesaian tesis ini.
5. Seluruh staf pengajar dan sekretariat Program Pasca Sarjana Fakultas Teknik Sipil dan Perencanaan ITS.
6. Keluarga besar Eyang Soemadi Prasodjo yang selalu setia menyemangati dan mendukung segala usaha penulis hingga tersusunnya laporan tesis ini.
7. Teman seperjuangan tesis Verdy Ananda Upa, Nina Saraswati, Citto Pacama Fajrinia yang telah senantiasa menemani dan mengerjakan laporan tesis ini bersama dengan penulis.
8. DinasPU dan Dinas Perhubungan selaku yang telah mendukung penelitian tesis ini dalam hal pemberian data-data.
9. Seluruh mahasiswa MRT 2015 yang telah memberikan dukungan terhadap penulis.

Penulis menyadari bahwa penyusunan tesis ini masih banyak kekurangandan jauh dari kesempurnaan.Namun demikian penulis tetap berharap semoga laporantesis ini dapat bermanfaat bagi semua pihak.

Surabaya, Juni 2017

Penulis

DAFTAR ISI

Halaman Judul.....	i
Lembar Pengesahan.....	ii
Abstrak.....	iii
Abstract.....	iv
Kata Pengantar	v
Daftar Isi	vii
Daftar Gambar	x
Daftar Tabel.....	xi
Daftar Lampiran.....	xii
BAB I PENDAHULUAN	1
1.1. Latar Belakang	1
1.2. Rumusan Masalah	3
1.3. Tujuan Penelitian	3
1.4. Manfaat Penelitian	3
1.5. Batasan Masalah	4
BAB II TINJAUAN PUSTAKA.....	7
2.1. Perencanaan dan Pemodelan Transportasi.....	7
2.2. Model Sebaran Perjalanan	12
2.2.1. Matriks Asal – Tujuan (MAT).....	14
2.2.2. Model Gravity.....	16
2.3. Model Pemilihan Rute.....	20
2.4. Daerah Studi (<i>Garis batas wilayah</i>).....	22
2.5. Validasi dan Kalibrasi Pemodelan Transportasi	23
2.6. Survey Rumah Tangga	24
2.7. Sekilas Program PTV Visum	26
2.8. Pemodelan Transportasi Terdahulu.....	26
2.8.1 Rangkuman Penelitian Terdahulu.....	30
2.8.2 Penambahan dalam Penelitian Ini	31

BAB III METODOLOGI PENELITIAN.....	33
3.1. Lokasi dan Waktu Penelitian	33
3.2. Bagan Alir Penelitian	36
3.3. Skenario Perjalanan Eksternal – Eksternal	38
3.4. Jenis dan Sumber Data	38
3.5. Metode Cara Kerja Visum.....	38
BAB IV ANALISIS DAN PEMBAHASAN.....	45
4.1. Model Data	45
4.1.1. Penggabungan Zona.....	45
4.1.2. Model Zona dan Jaringan Jalan	46
4.2. Analisis Perhitungan Survei Rumah Tangga (<i>Household Interview</i>).....	49
4.3. Analisis Trip Generation (TG).....	51
4.3.1. Gambaran Umum	51
4.3.2. Regresi Sepeda Motor.....	51
4.3.3. Perhitungan Bangkitan Perjalanan.....	53
4.3.4. Perhitungan Tarikan Perjalanan.....	55
4.4. Analisis Trip Distribution.....	57
4.4.1. Gambaran Umum	57
4.4.2. Fungsi Hambatan Persebaran Perjalanan (α).....	57
4.4.3. Matriks Jarak	59
4.4.4. Perhitungan <i>Trip Distribution</i>	61
4.5. Trip Assignments	68
4.5.1. Gambaran Umum	68
4.5.2. Model Area Zona	68
4.5.3. Model Jaringan Jalan	69
4.5.4. Hasil dan Analisis <i>Trip Assignments</i> menggunakan Visum.....	69
4.6. Validasi dan Kalibrasi	73
4.6.1. Hasil Validasi dan Kalibrasi.....	73
4.6.2. Proses Kalibrasi dan Validasi	78
4.7. Analisis Model Baru	81

BAB V KESIMPULAN DAN SARAN	85
5.1. Kesimpulan.....	85
5.2. Saran.....	86

DAFTAR PUSTAKA

LAMPIRAN

DAFTAR GAMBAR

Gambar 2.1Empat Variasi Urutan Konsep Pemodelan Transportasi	10
Gambar 2.2Metode Untuk Mendapatkan Matriks Asal-Tujuan (MAT)	16
Gambar 2.3Jaringan sederhana dan waktu tempuh ruas.Sumber : Black (1982).....	21
Gambar 2.4.Contoh pembuatan garis <i>Cordon</i>	22
Gambar 2.5.Pembagian daerah internal eksternal.....	23
Gambar 3. 1 Peta Kota Samarinda	33
Gambar 3. 2 Peta Eksternal-Internal Kota Samarinda	35
Gambar 3. 3 Bagan Alir Metedologi Penelitian	37
Gambar 3. 4 Perangkat Lunak Visum	39
Gambar 3.5 Panel <i>Network Settings</i>	40
Gambar 3.6 Gambar Zona dan Jaringan Jalan Visum.....	40
Gambar 3.7 Input Matriks Asal Tujuan	41
Gambar 3.8 Panel OD <i>Demand Data</i>	42
Gambar 3.9 Panel <i>Procedure Sequence</i>	42
Gambar 3.10 <i>Desire Line Trip Assignment</i>	43
Gambar 3.11 Jumlah Lalu Lintas Setiap Ruas Jalan.....	43
Gambar 4.1 Model Wilayah dan Jaringan Jalan Kota Samarinda	47
Gambar 4.2 Grafik Trip Production Sepeda Motor	52
Gambar 4.3 Grafik Sebaran Perjalanan Sepeda Motor	59
Gambar 4.4 Desire Line Antar Zona.....	62
Gambar 4.5 Model Jaringan Jalan Visum	68
Gambar 4.6 Hasil <i>Trip Assignment</i> Visum.....	69
Gambar 4.7 Hasil <i>Desire LineTrip Assignment</i> Visum.....	70
Gambar 4.8 Lokasi Jalan D.I. Panjaitan.....	78
Gambar 4.9. <i>Desire Line Trip Assignment</i> Kota Samarinda	83

DAFTAR TABEL

Tabel 2.1 Bentuk Umum Dari Matriks Asal Tujuan (MAT)	14
Tabel 2.2 Standard Ukuran Sample untuk Survei Rumah Tangga	25
Tabel 2.3 Rangkuman Penelitian	31
Tabel 4.1 Penggabungan Zona.....	45
Tabel 4. 2 Data Populasi dan Sepeda Motor setiap zona.....	47
Tabel 4. 3 Data Jumlah Ruas Jalan dan Simpang	49
Tabel 4. 4 Survei Data Perjalanan Sepeda Motor	50
Tabel 4. 5 Bangkitan Perjalanan Sepeda Motor.....	53
Tabel 4. 6 Tarikan Perjalanan Sepeda Motor	55
Tabel 4. 7 Fungsi Hambatan.....	58
Tabel 4. 8 Matriks Jarak	60
Tabel 4. 9 Matriks Koefisien Hambatan.....	63
Tabel 4. 10 Matriks Asal Tujuan TD0	64
Tabel 4. 11 Matriks Asal Tujuan Internal dengan Batasan Bangkitan (UCGR).....	65
Tabel 4. 12 Matriks Asal Tujuan Internal dengan Batasan Bangkitan (PCGR)	66
Tabel 4. 13 Matriks Asal Tujuan Antar Zona Internal-Eksternal	67
Tabel 4. 14 <i>Trip Assignment</i> Tiap Jaringan Jalan	71
Tabel 4. 15 Validasi dan Kalibrasi Awal.....	73
Tabel 4. 16 Validasi dan Kalibrasi Tengah	75
Tabel 4. 17 Validasi dan Kalibrasi Akhir	76
Tabel 4. 18 MAT Awal Sebelum Kalibrasi	79
Tabel 4. 19 MAT Sesudah Kalibrasi.....	80
Tabel 4. 20 MAT Model Akhir.....	82

DAFTAR LAMPIRAN

Lampiran 1 Kalibrasi MAT Setelah Validasi Pertama.....	90
Lampiran 2 Validasi T-ass Kedua.....	91
Lampiran 3 Kalibrasi MAT Kedua	93
Lampiran 4 Validasi T-ass Ketiga	94
Lampiran 5 Kalibrasi MAT Ketiga	96
Lampiran 6 Validasi T-ass Keempat.....	97
Lampiran 7 Kalibrasi MAT Keempat	99
Lampiran 8 Validasi T-ass Kelima	100
Lampiran 9 Kalibrasi MAT Kelima.....	102
Lampiran 10 Validasi T-ass Keenam.....	103

BAB I

PENDAHULUAN

1.1. Latar Belakang

Kota Samarinda sebagai ibukota Provinsi Kalimantan Timur, dalam perkembangannya relatif cukup lambat. Dimana sebagai ibukota Provinsi dan juga pusat pemerintahan, Kota Samarinda harusnya memiliki perkembangan kota yang lebih maju baik dalam segi ekonomi maupun transportasi. Wilayah yang sedang berkembang sebaiknya membutuhkan perencanaan transportasi untuk melancarkan semua aktivitas yang dilakukan dalam wilayah tersebut. Sehingga tidak adanya hambatan pergerakan akibat tidak lancarnya alur transportasi dalam kota Samarinda.

Pengambilan kota Samarinda didasarkan pada konsep bahwa perkembangan seluruh aktifitas masyarakat selalu diawali pusat kota. Berkembangnya pusat kota akan diikuti dengan bertambahnya lahan pemukiman yang berarti jumlah penduduk juga akan bertambah besar. Pertumbuhan dan perkembangan yang meningkat menuntut masyarakat untuk melakukan interaksi pergerakan dengan berbagai pihak di berbagai tempat. Semakin meningkatnya pergerakan lalu lintas, maka permasalahan transportasi juga semakin kompleks. Permasalahan transportasi meliputi kemacetan pada ruas-ruas jalan tertentu seperti pada jl. Juanda dan jl. D.I. Panjaitan.

Beberapa jalan di kota Samarinda yang berpotensi mengalami kemacetan adalah jalan-jalan yang kapasitasnya tidak dapat memuat moda transportasi yang melintas di jalan tersebut. Selain itu distribusi penyebaran transportasi di setiap ruas jalan tidak merata dan terbatasnya jaringan jalan di kota Samarinda. Hal ini terjadi karena tingginya pertumbuhan kendaraan yang mencapai rata-rata 4000-5000 kendaraan per bulan yang didominasi oleh sepeda motor (Bappeda, 2016), sehingga terjadinya *overload* pada beberapa ruas jalan di kota Samarinda.

Terdapat banyak arus lalu lintas yang terjadi di kota Samarinda seperti arus lalu lintas dalam kota Samarinda (internal-internal), dari kota Samarinda menuju zona eksternal (internal-eksternal), dan sebaliknya (eksternal-internal), serta arus yang hanya melewati kota Samarinda (eksternal-eksternal). Hal ini

membuat bahwa harus adanya pengetahuan mengenai arus internal eksternal yang terjadi dalam kota Samarinda. Selain itu belum adanya penelitian yang terkait yang menyertakan arus lalu lintas internal-eksternal pada pemodelan transportasi, hanya beberapa penelitian yang meneliti arus lalu lintas internal-internal saja.

Pemodelan transportasi merupakan solusi awal yang tepat untuk mengatasi masalah-masalah yang terjadi pada beberapa ruas jalan di kota Samarinda. Pemodelan transportasi itu sendiri merupakan penyederhanaan suatu hal yang besar dan kompleks. Dalam hal ini, kota Samarinda disederhanakan menjadi suatu pemodelan transportasi yang lebih mudah untuk diteliti dan dianalisis. Oleh karena itu, perlu adanya penelitian lebih lanjut mengenai pemodelan transportasi kota Samarinda.

Dalam membuat perhitungan pemodelan jarang adanya kalibrasi dan validasi untuk mengetahui nilai kebenaran dalam perhitungan tersebut. Hal ini membuat apa yang dimodelkan tidak sama dengan keadaan yang sebenarnya. Sehingga perlu adanya perhitungan kalibrasi dan validasi pemodelan transportasi dalam penelitian ini.

PTV Visum merupakan perangkat lunak yang dibuat dan PTV Group, Jerman. Perangkat lunak kini digunakan untuk memodelkan sistem transportasi perkotaan, metropolitan dan regional serta mengevaluasi kebijakan transportasi yang mempunyai efek ke semua transportasi yang ada. Keunggulan dari perangkat lunak PTV Visum antara lain memiliki *node* dan *link* yang hampir tidak terbatas dan formula dapat dibuat sendiri sesuai keadaan dan kebutuhan. Perangkat lunak PTV Visum ini dapat membantu untuk penyelesaian penelitian ini.

Pada penelitian terdahulu yang terkait dengan pemodelan transportasi suatu kawasan telah ada beberapa penelitian yang telah dilakukan. Beberapa peneliti menggunakan metode perhitungan Model 4 langkah tanpa adanya kalibrasi dan validasi terhadap hasil pemodelan yang telah diteliti.

Oleh karena itu perlu dilakukannya penelitian tesis Pemodelan Transportasi Kota Samarinda Pada Tahun 2016, guna mengatasi permasalahan dalam kota Samarinda tersebut.

1.2. Rumusan Masalah

Permasalahan yang ada dalam penelitian Pemodelan Transportasi untuk Kota Samarinda adalah “Seperti apakah pemodelan transportasi kota Samarinda?” Pertanyaan ini mengandung pertanyaan-pertanyaan turunan berikut ini:

1. Bagaimana Model Wilayahkota Samarinda?
2. Berapa jumlah *Trip generation* pada perhitungan pemodelan transportasi kota Samarinda?
3. Bagaimana bentukmatriks asal tujuan (MAT) pada perhitungan pemodelan transportasi kota Samarinda?
4. Berapa jumlah arus lalu lintas yang terjadi pada perhitungan pemodelan transportasi kota Samarinda?
5. Bagaimana hasil validasi dan kalibrasi pemodelan transportasi kota Samarinda ?

1.3. Tujuan Penelitian

Tujuan penelitian yang bisa didapatkan dari penelitian Pemodelan Transportasi Kota Samarinda ini adalah mengetahui pemodelan transportasi kota Samarinda, meliputi :

1. Model wilayah zona kota Samarinda
2. Jumlah *Trip generation* pada perhitungan pemodelan transportasi kota Samarinda
3. Bentuk matriks asal tujuan (MAT) pada perhitungan pemodelan transportasi kota Samarinda
4. Jumlah jumlah arus lalu lintas yang terjadi pada perhitungan pemodelan transportasi kota Samarinda
5. Mengetahui hasil validasi dan kalibrasi pemodelan transportasi kota Samarinda

1.4. Manfaat Penelitian

Manfaat penelitian yang bisa didapatkan dari penelitian Pemodelan Transportasi Kota Samarinda ini adalah :

1. Manfaat Teoritis

Meningkatkan pengetahuan dan pemahaman di bidang perencanaan dan pemodelan transportasi terutama yang berkaitan dengan *Trip Distribution* dan *Trip Assignment* dengan aplikasi perangkat lunak PTV Visum yang digunakan dalam penelitian ini. Selain itu juga dapat menambahkan pengetahuan mengenai validasi dan kalibrasi dalam suatu pemodelan transportasi.

2. Manfaat Praktis.

Hasil yang diperoleh dapat digunakan instansi berwenang sebagai bahan pertimbangan dalam perbaikan dan perencanaan transportasi untuk Kota Samarinda pada waktu yang akan datang.

1.5. Batasan Masalah

Agar penelitian ini tidak terlalu luas dan tidak menyimpang dari rumusan masalah yang ditinjau, batasan-batasan masalah yang diambil sebagai berikut :

1. Wilayah kajian adalah Kota Samarinda dengan jaringan transportasi yang ada ditambah dengan beberapa ruas jalan penghubung yang dianggap sebagai titik arus masuk dan arus keluar dari dalam kota Samarinda.
2. Pembagian zona berdasarkan batas-batas administrasi berupa kelurahan yang dibagi dalam beberapa zona di kota Samarinda dan sekitarnya yang mempengaruhi jumlah bangkitan dan tarikan.
3. Ruas jalan yang dianalisis adalah ruas jalan arteri dan ruas jalan kolektor (primer dan sekunder) sesuai pembagian jalan menurut Dinas Pekerjaan Umum Kota Samarinda.
4. Data arus lalu lintas (Pencacahan lalu lintas) yang digunakan adalah hasil survei tahun terbaru diperoleh dari Dinas Perhubungan Kota Samarinda dan hanya menghitung untuk moda kendaraan pribadi motor.
5. Pemodelan transportasi yang digunakan menggunakan empat tahap model transportasi.
6. Model *trip distribution* yang digunakan yaitu *Production Constrained Gravity Model* (PCGR) dengan jenis atau tipe fungsi hambatan yang digunakan yaitu pangkat (*power*)

7. Pemodelan transportasi dianalisis pada aplikasi perangkat lunakPTV Visum.
8. Dampak perubahan tata guna lahan terhadap jumlah pergerakan diabaikan.
9. Penelitian ini tidak menghitung detail mengenai karakteristik tujuan perjalanan yang berasal dari zona eksternal.
10. Perhitungan empat tahap model hanya dilakukan untuk zona internal (internal-internal), sedangkan untuk zona eksternal (internal-eksternal, eksternal-internal, eksternal-eksternal) hanya dimasukkan matriks asal tujuan antar zona.
11. Tidak membuat solusi penyelesaian atas hasil dari penelitian ini.

BAB II

TINJAUAN PUSTAKA

2.1. Perencanaan dan Pemodelan Transportasi

Sistem transportasi terdiri dari dua komponen pokok yaitu obyek transportasi (manusia dan barang) dan fasilitas transportasi (sarana dan prasarana). Sistem transportasi adalah upaya manusia dalam memenuhi kebutuhan hidupnya untuk memindahkan barang dan atau orang dari satu tempat ke tempat lain secara cepat dan tepat, lancar, aman, nyaman, ekonomis, dan ramah lingkungan. Dalam sistem transportasi ini terdapat dua hal yang perlu diperhatikan yaitu kebutuhan *demand* dan *supply*, dimana *demand* merupakan kebutuhan akan transportasi atau banyaknya perjalanan sedangkan *supply* berupa sarana dan prasarana.

Pada suatu wilayah perkotaan atau regional dengan jumlah penduduk yang besar, sistem transportasi yang tidak efektif akan menimbulkan banyak permasalahan transportasi dimana penyebab terjadinya masalah-masalah ini karena terjadi ketidakseimbangan antara *demand* dan *supply*. Ketidakseimbangan antara kedua elemen ini bisa berupa jumlah pertumbuhan *demand* lebih besar daripada *supply*. Dengan adanya permasalahan-permasalahan sistem transportasi pada suatu wilayah perkotaan perlu dibuat sistem transportasi efektif yang dapat mengatasi masalah-masalah transportasi yang ada. Adapun pendekatan pemecahan masalah transportasi yaitu dengan melakukan transportasi yang terpadu dan berkesinambungan. Pendekatan perencanaan transportasi mempunyai tujuan untuk memperkirakan jumlah serta lokasi kebutuhan akan transportasi (misalnya menentukan total pergerakan baik untuk angkutan umum maupun pribadi) pada masa mendatang atau pada tahun rencana yang akan digunakan untuk berbagai kebijakan investasi perencanaan transportasi.

Terdapat beberapa skala/periode waktu dalam perencanaan sistem transportasi perkotaan atau regional, yaitu skala panjang, menengah, dan pendek. Jangka waktu perencanaan bisa sangat lama (misalnya 25 tahun) yang biasanya digunakan untuk perencanaan strategi pembangunan kota berjangka panjang. Strategi ini akan sangat dipengaruhi oleh perencanaan tata guna lahan dan perkiraan arus lalu lintas, perencanaan ini biasanya dikategorikan berdasarkan

moda dan rute. Kajian tersebut biasa dilakukan untuk merencanakan kota baru. Kajian lainnya adalah kajian transportasi berskala pendek, dengan tahun rencana 5 tahun. Kajian ini biasanya berupa kajian manajemen transportasi yang lebih menekankan dampak kebijakan manajemen lalu lintas terhadap perubahan rute suatu moda transportasi. Kajian tersebut pada dasarnya bersifat sangat teknis karena dampak tata guna lahan tidak begitu signifikan pada waktu yang sangat singkat.

Pada dasarnya proses perencanaan sistem transportasi memerlukan model untuk menganalisa sistem transportasi yang sudah ada maupun yang akan ada di masa datang. Model dapat didefinisikan sebagai bentuk penyederhanaan suatu realita atau dunia yang sebenarnya (Tamin, 2000) dan model dibuat hanya memperhatikan faktor-faktor yang dominan saja, sehingga dalam memecahkan suatu permasalahan faktor-faktor dominan itu akan diperhatikan lebih spesifik.(Ortuzar and Willumsen, 1990).

Konsep perencanaan transportasi yang telah berkembang sampai saat ini dan yang paling popular adalah Model Perencanaan Transportasi Empat Tahap dimana model ini merupakan proses bertahap dari beberapa sub model yang harus dilakukan secara terpisah dan berurutan (*sequential*). Model Perencanaan Transportasi Empat Tahap terdiri dari 4 model dasar yaitu:

1. *Trip Generation* (Model Bangkitan-Tarikan Perjalanan)
2. *Modal Split* (Pemilihan Moda)
3. *Trip Distribution* (Model Sebaran Perjalanan)
4. *Trip Assignment* (Pemilihan Rute)

Dalam suatu pembuatan model ini biasanya didasarkan dari pengumpulan data pada suatu daerah kajian, dimana dalam perolehan data ini terdapat beberapa hal yang sangat mempengaruhi tingkat keberhasilan suatu model dalam mengestimasi besarnya jumlah kebutuhan akan transportasi yaitu penentuan zona dan jumlah sampel.

Model Perencanaan Transportasi Empat Tahap ini merupakan gabungan dari beberapa konsep analitis dan submodel, yang masing-masing harus dilakukan secara terpisah dan berurutan. Submodel tersebut adalah :

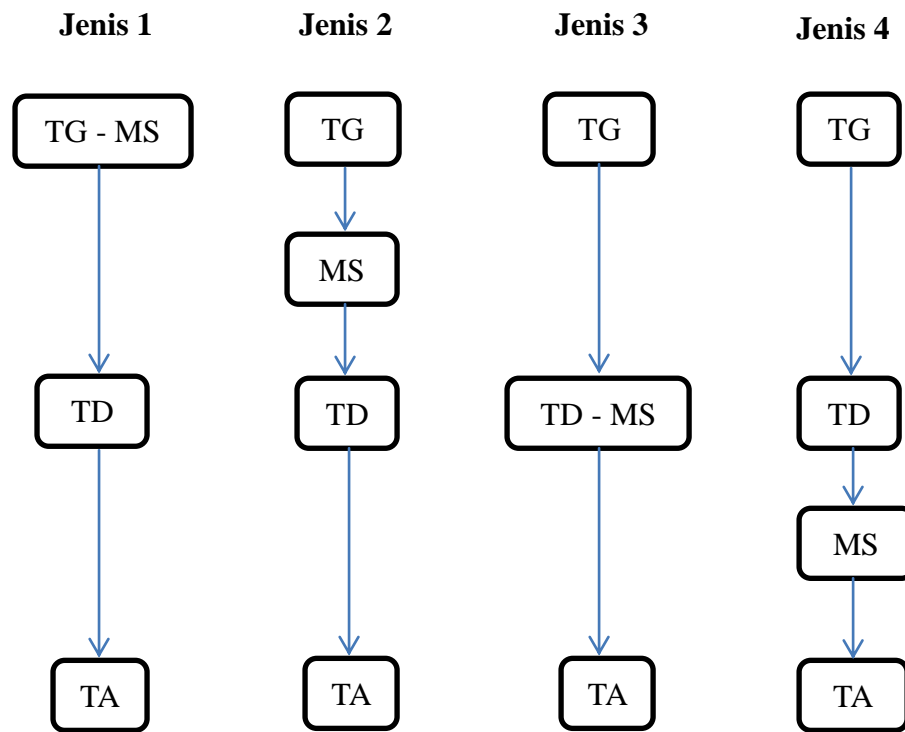
1. Aksesibilitas
2. Bangkitan dan Tarikan Pergerakan (*Trip Production and Attraction*)
3. Sebaran Pergerakan (*Trip Distribution*)
4. Pemilihan Moda (*Moda Split*)
5. Pemilihan Rute (*Trip Assignment*)
6. Arus Lalu Lintas pada Jaringan Transportasi

Aksesibilitas (konsep 1) adalah suatu ukuran kenyamanan atau lokasi guna lahan berinteraksi satu dengan yang lain mudah atau sulitnya lokasi tersebut dicapai melalui sistem jaringan transportasi (Black, 1981). Aksesibilitas kadang-kadang bukan merupakan bagian integral dari keseluruhan sistem, akan tetapi konsep ini dapat juga digunakan sebagai proses utama dalam kajian transportasi. Konsep ini digunakan untuk mengidentifikasi masalah dan menolong mengevaluasi alternatif perencanaan transportasi yang diusulkan. Sedangkan arus lalu lintas pada jaringan jalan (konsep 6) adalah konsep yang termasuk pada beberapa tahapan yang berbeda.

Konsep 2 sampai dengan konsep 5 (bangkitan pergerakan, sebaran pergerakan, pemilihan moda dan rute) merupakan bagian utama model kajian transportasi, yang harus dilakukan secara berurutan.

Urutan pengkajian ada beberapa jenis, yang penggunaannya sangat tergantung pada kondisi di lapangan, ketersediaan data (kuantitas dan kualitas), waktu perencanaan dan lain-lain. Beberapa alternatif urutan konsep pemodelan tersebut dapat dilihat pada Gambar 2.1. Terdapatnya beberapa jenis urutan ini, karena model pemilihan moda sangat bervariasi dan sangat tergantung pada tujuan pemodelan transportasi. Penggunaan dari setiap alternatif sangat tergantung pada data yang tersedia, tujuan kajian, waktu kajian, dan lain-lain.

Empat variasi urutan konsep utama pemodelan transportasi (Black, 1981) adalah sebagai berikut :



Gambar 2.1 Empat Variasi Urutan Konsep Pemodelan Transportasi

Sumber : Black (1981)

Keterangan :

TG = *Trip Generation* (Model bangkitan perjalanan)

MS = *Moda Split* (Pemilihan moda)

TD = *Trip Distribution* (Model sebaran perjalanan)

TA = *Trip Assignment* (Model pemilihan rute)

a. Model Bangkitan Pergerakan

Tahapan bangkitan pergerakan bertujuan mendapatkan jumlah pergerakan yang dibangkitkan oleh setiap zona asal (O_i) dan jumlah pergerakan yang tertarik ke setiap zona tujuan (D_d) yang ada di dalam daerah kajian. Proses estimasi pada tahapan ini umumnya menggunakan data yang didapat dari survey rumah tangga (*home interview survey*) yang dijadikan dasar dalam mengidentifikasi zona asal dan zona tujuan pergerakan dalam daerah kajian.

Ada beberapa metode yang dikenal dalam proses perhitungan bangkitan pergerakan yaitu dengan cara analisa regresi dan klasifikasi silang (*cross classification*) (Ortuzar dan Willumsen, 1990). Hasil akhir dari model bangkitan

pergerakan ini adalah berupa bangkitan pergerakan (*trip distribution*) dan tarikan pergerakan (*trip attraction*).

b. Model Sebaran Pergerakan

Tahapan sebaran pergerakan dalam sistem transportasi tujuan utamanya untuk mendistribusikan atau mengalokasikan jumlah pergerakan yang dibangkitkan dari suatu zona asal atau yang tertarik ke suatu zona tujuan ke setiap zona tujuan yang ada. Sebaran pergerakan ini dapat dijelaskan dalam bentuk arus pergerakan (kendaraan, penumpang, dan barang) yang bergerak dari zona asal ke zona tujuan di dalam daerah tertentu dan dalam waktu tertentu. Pola pergerakan tersebut disajikan dalam bentuk Matriks Asal-Tujuan (MAT) yang sering digunakan oleh perencana transportasi untuk menggambarkan pola pergerakan tersebut.

c. Model Pemilihan Moda

Model pemilihan moda bertujuan untuk mengetahui proporsi orang yang akan menggunakan setiap moda. Proses ini dilakukan dengan tujuan untuk mengkalibrasi pemilihan moda pada tahun dasar dengan mengetahui peubah atribut yang mempengaruhi moda tersebut (Tamin, 2000). Setelah dilakukan proses kalibrasi, model dapat digunakan untuk meramalkan pemilihan moda dengan menggunakan nilai peubah atribut untuk masa mendatang.

d. Model Pemilihan Rute

Model pemilihan rute bertujuan mengidentifikasi rute yang ditempuh pengendara dari zona asal i ke zona tujuan d dan juga perjalanan yang melalui setiap ruas jalan pada suatu jaringan jalan. Hasil dari identifikasi rute yang dipilih oleh pengendara akan dijadikan dasar pembebatan arus pada masing-masing ruas jalan dalam sistem jaringan jalan daerah kajian. Suprayitno (2016) mengatakan bahwa model pemilihan rute memiliki beberapa tipe, yaitu : *all-or-nothing*, *incremental loading*, *equilibrium*, dan lainnya.

$T_{id} = \Sigma$ pergerakan dari zona i ke zona d pada saat sekarang

E = faktor pertumbuhan

Metode ini bergantung terhadap penggunaan faktor pertumbuhan (E) yang dapat berupa faktor tunggal ataupun faktor kombinasi dari beberapa faktor, dan diturunkan dari tata guna lahan dan proyeksi bangkitan pergerakan. Ini dapat dihitung dari seluruh daerah kajian ataupun dari beberapa zona yang terdapat didalam daerah kajian. Hasil perhitungan ini kemudian diterapkan ke matriks asal tujuan untuk daerah kajian.

Secara kronologis terdapat 5 model dalam metode ini (Tamin, 2000), yaitu :

- Metode Seragam (*Uniform Method*)
- Metode Rata-rata (*Average Method*)
- Metode Fratar
- Metode Detroit
- Metode Furness
- Metode Analogi Fluida

b. Metode Sintesis

Beberapa Kelemahan metode analogi telah mendorong orang untuk mengembangkan metode alternatif lain, yang sering dikenal dengan metode sintesis. Metode ini didasarkan pada asumsi:

- Sebelum pergerakan pada masa mendatang diramalkan, terlebih dahulu harus dipahami alas an terjadinya pergerakan pada masa sekarang.
- Alasan tersebut kemudian dimodelkan dengan menggunakan analogi hukum alam yang sering terjadi.

Prinsip yang menggarisbawahi metode sintesis adalah pergerakan dari zona asal ke zona tujuan berbanding lurus dengan besarnya bangkitan pergerakan di zona asal dan juga tarikan pergerakan di zona tujuan serta berbanding terbalik dengan jarak (kemudahan) antara kedua zona tersebut.

Pada metode sintesi harus dilakukan usaha untuk memodelkan hubungan atau kaitan yang terjadi antar pola pergerakan. Setelah pemodelan hubungan atau

kaitan tersebut didapat, kemudian diproyeksikan untuk mendapatkan pola pergerakan pada masa yang akan datang. Metode ini merupakan fungsi dari satu atau lebih parameter. Metode ini sedikitnya ada 4 model, yaitu:

1. *Gravity Model* (GR)
 - *Unconstrained Gravity* (UCGR)
 - *Singly Constrained Gravity* (SCGR)
 - *Production Constrained Gravity* (PCGR)
 - *Attraction Constrained Gravity* (ACGR)
 - *Doubly Constrained Gravity* (DCGR)
2. *Opportunity Model* (OP)
3. *Gravity Opportunity Model* (GO)
4. *Direct-Demand Model* (DD)

2.2.1. Matriks Asal – Tujuan (MAT)

Matriks asal tujuan (MAT) adalah matriks berdimensi dua yang berisi informasi mengenai besarnya pergerakan antar lokasi (zona) di dalam daerah tertentu. Baris menyatakan zona asal dan kolom menyatakan zona tujuan, sehingga sel matriksnya menyatakan besarnya arus dari zona asal ke zona tujuan. Dalam hal ini, notasi T_{id} menyatakan besarnya arus pergerakan (kendaraan, penumpang, barang) yang bergerak dari zona asal i ke zona tujuan d selama periode tertentu.

Tabel 2.1Bentuk Umum Dari Matriks Asal Tujuan (MAT)

Zona	1	2	3	...	N	O _i
1	T ₁₁	T ₁₂	T ₁₃	...	T _{1N}	O ₁
2	T ₂₁	T ₂₂	T ₂₃	...	T _{2N}	O ₂
3	T ₃₁	T ₃₂	T ₃₃	...	T _{3N}	O ₃
...
N	T _{N1}	T _{N2}	T _{N3}	...	T _{NN}	O _N
D _d	D ₁	D ₂	D ₃	...	D _N	T

Pada sebuah matriks asal-tujuan (MAT) yang dibuat, terdapat beberapa syarat yang harus dipenuhi seperti total sel matriks untuk setiap kolom (d) harus sama dengan jumlah pergerakan yang berasal dari zona d tersebut (D_d), sebaliknya total sel matriks untuk setiap baris (i) harus sama dengan jumlah

pergerakan yang berasal dari zona i tersebut (O_i). hal ini sesuai dengan hukum konservasi yang harus dipenuhi oleh setiap model sebaran pergerakan atau *trip distribution model* sebagai berikut:

1. Jumlah dari seluruh *trip* antara zona i dan zona d untuk seluruh zona asal adalah sama dengan jumlah total atraksi ke zona d .

$$D_d = \sum_i T_{id} \dots \quad (2.2)$$

2. Jumlah dari seluruh *trip* antara zona I dan d untuk seluruh zona tujuan d adalah sama dengan jumlah total produksi dari zona i .

$$O_i = \sum_d T_{id} \dots \quad (2.3)$$

3. Jumlah dari seluruh *trip* zona i dan zona d untuk semua i dan zona d adalah sama dengan jumlah total *trip* diseluruh daerah studi, yang mana sama dengan jumlah total atraksi diseluruh zona tujuan dan sama dengan jumlah total produksi diseluruh zona asal.

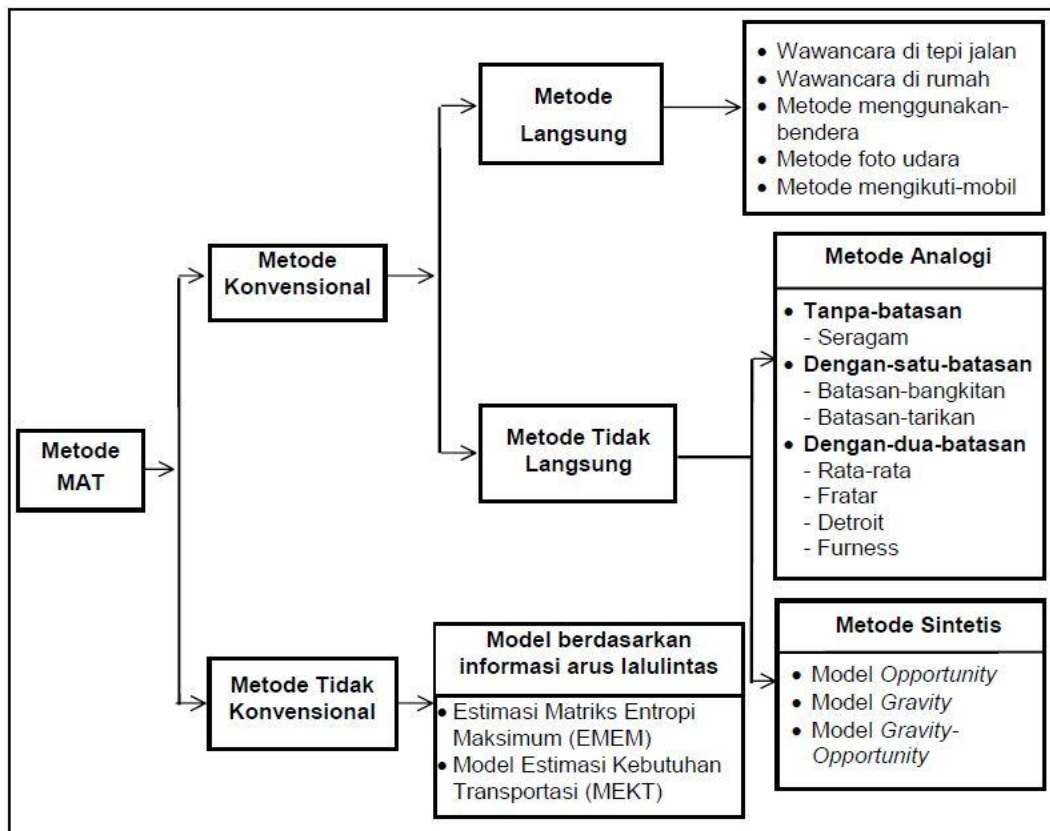
$$T = \sum_i O_i = \sum_d D_d = \sum_i \sum_d T_{id} \dots \quad (2.4)$$

Pola pergerakan dapat dihasilkan jika suatu MAT dibebankan ke suatu sistem jaringan transportasi. Dengan mempelajari pola pergerakan yang terjadi, seseorang dapat mengidentifikasi permasalahan yang timbul sehingga beberapa solusi segera dapat dihasilkan. MAT dapat memberikan indikasi rinci mengenai kebutuhan akan pergerakan, sehingga MAT memegang peran yang sangat penting dalam berbagai kajian perencanaan dan manajemen transportasi.

Jumlah zona dan nilai setiap sel matriks adalah dua unsur penting dalam MAT karena jumlah zona menunjukkan banyaknya sel MAT yang harus didapatkan dan berisi informasi yang sangat dibutuhkan untuk perencanaan transportasi. Setiap sel membutuhkan informasi, jarak, waktu, biaya, atau kombinasi ketiga informasi tersebut yang digunakan sebagai ukuran aksesibilitas (kemudahan).

Ada beberapa metode yang digunakan untuk mendapatkan MAT dan metode-metode tersebut dapat dikelompokkan menjadi dua bagian utama yaitu

metode konvensional dan metode non konvensional (Tamin, 2000). Penjelasan dari kedua metode tersebut dapat dilihat pada Gambar 2.2.



Gambar 2.2Metode Untuk Mendapatkan Matriks Asal-Tujuan (MAT)

Sumber : Tamin (1985, 1986, 1988abc) dalam Tamin (2000)

2.2.2. Model Gravity

Salah satu model sintesis yang paling sering digunakan dalam estimasi sebaran pergerakan adalah model *gravity*. Model *gravity* mempunyai beberapa keuntungan secara teori, praktis, sangat sederhana sehingga mudah dimengerti dan digunakan. Model ini menggunakan konsep *gravity* yang diperkenalkan oleh Newton pada tahun 1686 yang dikembangkan dari analogi hukum gravitasi.

Metode ini berasumsi bahwa ciri bangkitan dan tarikan pergerakan berkaitan dengan beberapa parameter zona asal, misalnya populasi dan nilai sel MAT yang berkaitan juga dengan aksesibilitas (kemudahan) sebagai fungsi jarak waktu maupun biaya. Newton menyatakan bahwa (F_{id}) gaya tarik atau tolak antara dua kutub massa berbanding lurus dengan massanya m_i dan m_d , dan

berbanding terbalik dengan kuadratis jarak (d_{id}) antara kedua massa tersebut yang dapat dinyatakan dengan rumus :

$$F_{id} = G \frac{m_i \times m_d}{(d_{id})^2} \text{ dengan } G \text{ adalah konstanta gravitasi} \dots \dots \dots (2.5)$$

Dalam ilmu geografi, gaya dapat dianggap sebagai pergerakan antara dua daerah, sedangkan massa dapat digantikan dengan peubah seperti populasi atau bangkitan dan tarikan pergerakan; sedangkan jarak, waktu, dan biaya sebagai ukuran aksesibilitas (kemudahan). Jadi, untuk keperluan transportasi, model *gravity* dinyatakan sebagai berikut :

1. **Pallin (1973) dalam Stopher (1975)**, menerapkan analogi hukum gravitasi ini, dimana massa diganti dengan peubah populasi sehingga Persamaan 2.5 dapat ditulis sebagai berikut :

$$T_{ij} = K \frac{P_i \times P_j}{(d_{ij})^n} \dots \dots \dots (2.6)$$

Dimana : T_{ij} = Pergerakan satu arah dari i ke j
 P_i, P_j = Populasi dari zona i dan j
 d_{ij} = Jarak antara zona I dan zona j
 K, n = Konstanta

2. **Taaffe (1996)**, memperkenalkan perumusan untuk *gravity* model sebagai berikut :

$$a. \quad T_{ij} = A_0 \frac{(P_i \times P_j)^{A1}}{(d_{ij})^{A2}} \dots \dots \dots (2.7)$$

$$b. \quad T_{ij} = A_0 \frac{P_i^{A1} \times P_j^{A2}}{(d_{ij})^{A3}} \dots \dots \dots (2.8)$$

Dimana : T_{ij} = Pergerakan satu arah dari i ke j
 P_i, P_j = Populasi dari zona i dan j
 d_{ij} = Jarak antara zona I dan zona j
 $A_{0,1,2,3}$ = Konstanta

3. **Tamin (2000)**, menerapkan analogi hukum gravitasi dimana, massa digantikan dengan peubah bangkitan dan tarikan pergerakan, sehingga Persamaan 2.5 dapat ditulis sebagai berikut :

$$T_{id} = K \frac{O_i \times O_d}{(d_{id})^n} (2.9)$$

- Dimana :
- T_{id} = Pergerakan dari zona asal i ke zona tujuan d
 - O_i = Jumlah pergerakan yang berasal dari zona i
 - O_d = Jumlah pergerakan yang menuju ke zona d
 - d_{id} = Ukuran aksesibilitas antara zona i dan zona d
 - K = Konstanta

Dalam bentuk matematis, persamaan 2.9 dapat dinyatakan sebagai :

$$T_{id} \approx O_i \cdot D_d \cdot f(C_{id}) (2.10)$$

Dengan batasan :

$$O_i = \sum_i T_{id} \text{ dan } D_d = \sum_i T_{id} (2.11)$$

O_i dan D_d menyatakan jumlah pergerakan yang berasal dari zona i dan berakhir di zona d . Oleh karena itu, penjumlahan sel MAT menurut “baris” menghasilkan total pergerakan yang berasal dari tiap zona, sedangkan penjumlahan menurut “kolom” menghasilkan total pergerakan yang menuju setiap zona.

Pengembangan Persamaan 2.10 dengan batasan Persamaan (2.11) menghasilkan Persamaan 2.11 sebagai berikut :

$$T_{id} = O_i \cdot D_d \cdot A_i \cdot B_d \cdot f(C_{id}) (2.12)$$

Kedua persamaan 2.11 dapat dipenuhi jika digunakan konstanta A_i dan B_d yang terkait dengan setiap zona bangkitan dan tarikan. Konstanta ini disebut faktor penyeimbang :

$$A_i = \frac{1}{\sum_d B_d \cdot D_d \cdot f_{id}} \text{ dan } B_d = \frac{1}{\sum_i A_i \cdot O_i \cdot f_{id}} (2.13)$$

Sedangkan $f(C_{id})$ merupakan fungsi hambatan atau hambatan transportasi yang dianggap sebagai ukuran aksesibilitas (kemudahan) antara zona i dengan zona d.

Persamaan A_i dan B_d didapatkan secara berulang-ulang dan dapat dengan mudah dicek bahwa T_{id} pada Persamaan 2.10 sudah memenuhi batasan Persamaan 2.11. Nilai B_d dapat dihitung untuk setiap d dengan menggunakan Persamaan 2.11, yang nilainya kemudian digunakan lagi untuk menghitung kembali nilai A_i . Proses ini diulangi sampai nilai A_i dan B_d menghasilkan nilai tertentu (*konvergen*).

2.2.3. Fungsi Hambatan

Fungsi hambatan (*Detterence function*) atau biasa disebut *Transport Impedance* merupakan suatu fungsi aksesibilitas (kemudahan) perjalanan dari suatu zona ke zona lain atau dari suatu daerah ke daerah lain.

Dalam model *gravity* dan model simultan fungsi hambatan $f(C_{id})$ menggunakan variabel-variabel yang merupakan suatu parameter yang dapat menggambarkan tingkat aksesibilitas antara suatu daerah.

Variabel-variabel aksesibilitas antara suatu zona dapat diekspresikan dengan jarak (selain waktutempuh atau biaya/ongkos) yang biasa digunakan dalam perencanaan sistem transportasi, dalam hal ini disebut sebagai *trip lengthdistribution* (TLD) atau sebaran jarak perjalanan (Ortuzar dan Willumsen, 1990). Sebaran jarak perjalanan sebaiknya diketahui untuk dapat memperkirakan jenis fungsi hambatan yang paling cocok untuk digunakan.

Penggunaan variabel aksesibilitas antara suatu zona dapat menggunakan dua konsep yaitu konsep satu variabel maupun *generalized*. Penggunaan variabel pada fungsi hambatan dengan konsep satu variabel yaitu variabel yang akan digunakan dipilih salah satu dari beberapa variabel fungsi hambatan yang ada, sehingga variabel-variabel fungsi hambatan lainnya tidak digunakan dalam model tersebut. Sedangkan penggunaan variabel pada fungsi hambatan secara *generalized* (penggabungan) yaitu variabel-variabel yang dianggap mempengaruhi jumlah perjalanan akan digabungkan menjadi satu variabel umum biasanya dalam satuan biaya, dimana setiap variabel dianggap sama bobot dan pengaruhnya. Konsep *generalized cost* ini dapat dihitung dengan menjumlahkan variabel-variabelnya yang telah dikonversikan dalam satuan biaya {(jarak x BOK) + (waktu x nilai waktu) + tarif perjalanan}.

Penggunaan konsep *generalized cost* pada sistem angkutan dapat dibagi menjadi dua, yaitu :

- Angkutan Umum → {(waktu x nilai waktu) + tarif perjalanan}.
- Angkutan Pribadi → {(jarak x BOK) + (waktu x nilai waktu)}

Dalam menganalisa suatu model *trip distribution* dengan konsep penggunaan variabel aksesibilitas sebelumnya, Hyaman (1969) (dalam Tamin, 2000) menyarankan tiga jenis fungsi hambatan yang dapat digunakan dalam model *gravity*. Adapun tiga jenis fungsi hambatan Hyman (1969) yaitu :

- a. $f(C_{id}) = C_{id}^{-\alpha}$ (fungsi pangkat)
- b. $f(C_{id}) = e^{-\beta C_{id}}$ (fungsi eksponensial)
- c. $f(C_{id}) = C_{id}^{-\alpha} \cdot e^{-\beta C_{id}}$ (fungsi Tanner)

2.3. Model Pemilihan Rute

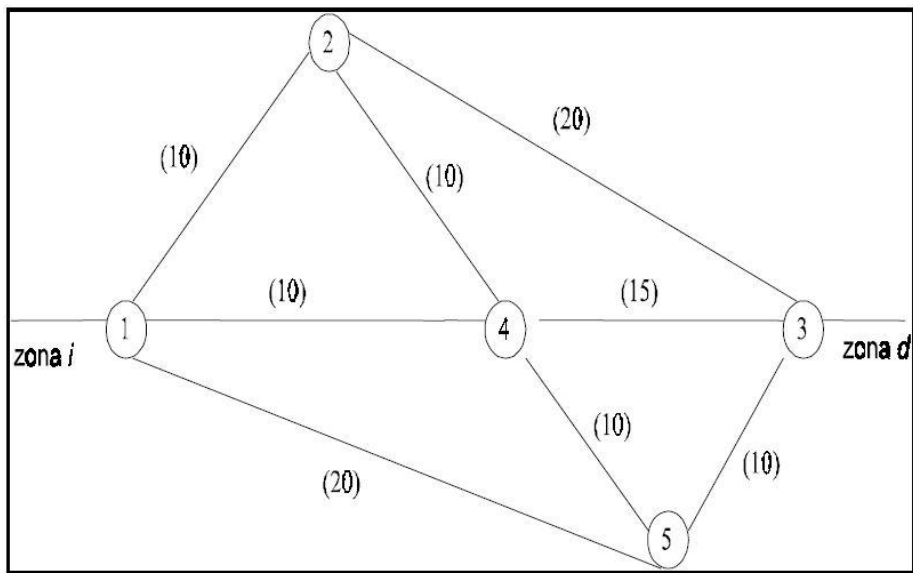
Model harus mewakili ciri sistem transportasi dan salah satu hipotesis tentang pemilihan rute pemakai jalan. Terdapat tiga hipotesis yang dapat digunakan menghasilkan jenis model yang berbeda-beda.

a. Pembebaan *All-or-nothing*

Model ini merupakan model pemilihan rute yang paling sederhana, yang mengasumsikan bahwa semua pengendara berusaha meminimumkan biaya perjalannya yang tergantung pada karakteristik jaringan jalan dan asumsi pengendara. Jika semua pengendara memperkirakan biaya ini dengan cara yang sama, pastilah mereka memilih rute yang sama. Biaya ini dianggap tetap dan tidak dipengaruhi oleh efek kemacetan.

Metode ini menganggap bahwa semua perjalanan dari zona asal i ke zona tujuan d akan mengikuti rute tercepat. Dalam kasus tertentu, asumsi ini dianggap cukup realistik, misalnya untuk daerah pinggiran kota yang jaringan jalannya tidak begitu rapat dan yang tingkat kemacetannya tidak begitu berarti. Tetapi, asumsi ini menjadi tidak realistik jika digunakan untuk daerah perkotaan yang sering mengalami kemacetan.

Gambar 2.3 (**Black, 1982**) mengilustrasikan metode pembebanan *all-or-nothing* (angka pada setiap ruas adalah waktu tempuh dalam menit untuk ruas tersebut). Mudah dilihat bahwa rute tercepat dari zona i ke zona d adalah **1-4-3**. Rute tercepat dari zona i ke setiap zona lainnya dalam daerah kajian dapat ditentukan, dan kumpulan rute itu disebut pohon dari zona i.



Gambar 2.3Jaringan sederhana dan waktu tempuh ruas.

Sumber : Black (1982)

Metode *all-or-nothing* kurang disukai oleh para perencana; biasanya digunakan untuk memperlihatkan garis keinginan, misalnya rute yang dipilih pengendara jika tidak ada kemacetan.Juga, dapat digunakan sebagai dasar dalam melakukan model pemilihan rute yang lain, misalnya metode pembebanan keseimbangan dan stokastik.

b. *Equilibrium Assignment*

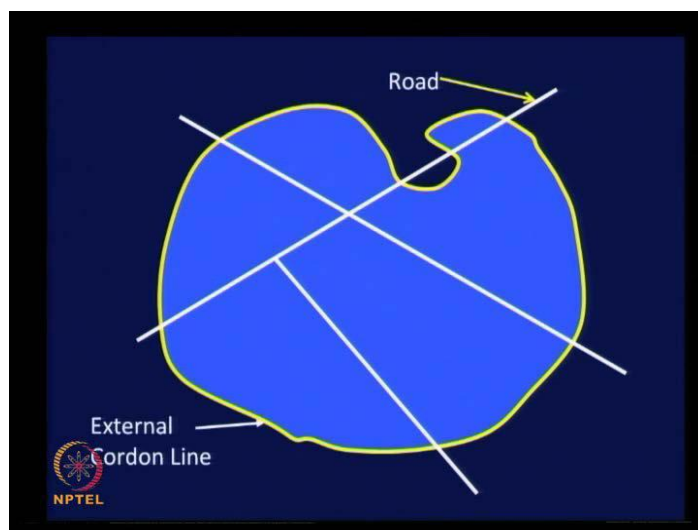
Model ini merupakan model pemilihan rute yang paling sering digunakan oleh pengendara yang mengasumsikan bahwa semua pengendara berusaha meminimumkan jarak perjalanan yang lebih pendek. Dengan mengasumsikan pengendara mengambil keputusan untuk jarak perjalanan yang lebih pendek, maka akan mengurangi jumlah penggunaan bahan bakar walaupun terdapat titik-titik kemacetan di ruas-ruas jalan tersebut.

Metode ini menganggap bahwa semua perjalanan dari zona asal i ke zona tujuan zona d akan mengikuti rute terpendek. Dalam kasus tertentu, asumsi ini bisa dianggap cukup realistik pula, misalnya untuk perjalanan yang berasal dari pinggiran kota menuju ke pusat kota. Hal ini akan dapat mengurangi waktu dan biaya perjalanan.

2.4.Daerah Studi (*Garis batas wilayah*)

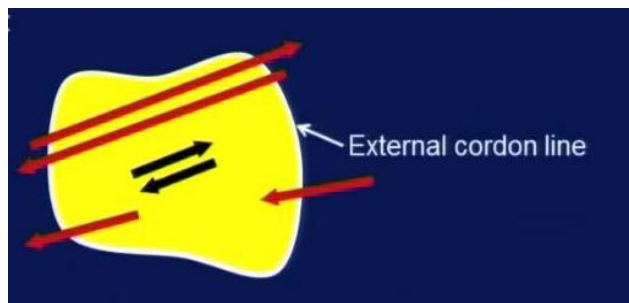
Daerah studi ditetapkan sebagai suatu ruang/spasial (obyek) yang dilakukan perencanaan dan pemodelan untuk memprediksi kebutuhan transportasi yang ada di dalam/dari/menuju ke daerah tersebut. Daerah studi dapat berupa daerah perkotaan atau pengembangan kota di masa yang akan datang. Untuk perencanaan di tingkat perkotaan wilayah studi harus merangkul seluruh kontribusi, yang ada dan memiliki potensial untuk membangun wilayah kota tersebut.

Daerah studi dibatasi oleh suatu garis batas yang disebut sebagai *Garis batas wilayah*. *Garis batas wilayah* ditentukan untuk tidak memotong jalan yang sama lebih dari dua kali, sehingga dapat menggambarkan atau memberi batas antar arus lalu lintas tiap daerah. *Garis batas wilayah* dapat ditentukan sebagai batas alami, seperti sungai, jalan kereta api, dll. Contoh pembuatan garis *Cordon* ditunjukkan pada Gambar 2.4.



Gambar 2.4.Contoh pembuatan garis *Cordon*
Sumber : Thamizh (2016)

Pada pembuatan garis *Cordon*, Daerah internal (dalam garis *cordon*) menentukan pola perjalanan untuk sebagian besar, sedangkan daerah eksternal (di luar garis *cordon*) hanya sebagian saja (tidak terlalu rinci). Pembagian daerah tersebut mengakibatkan adanya gerakan yang berasal dari internal ke internal (tanda panah hitam), internal ke eksternal, eksternal ke internal, dan eksternal ke eksternal (tanda panah merah). Pembagian ini ditunjukkan pada Gambar 2.5.



Gambar 2.5.Pembagian daerah internal eksternal
Sumber : Thamizh (2016)

Berikut ini adalah survey yang biasanya dilakukan untuk mendapat data perjalanan melalui garis *cordon* :

- Survey wawancara rumah
- Survey angkutan umum
- Wawancara sisi jalan
- Mengikuti satu kendaraan

2.5. Validasi dan Kalibrasi Pemodelan Transportasi

Validasi model adalah suatu proses untuk memverifikasi apakah model tersebut valid atau tidak valid. Model dikatakan valid jika persentase kesalahannya masih dalam persentase validasi. Setelah diketahui validasi dari model tersebut, kalibrasi dapat dilakukan untuk model tersebut. Kalibrasi model adalah suatu proses menaksir nilai parameter-parameter suatu model dengan menggunakan berbagai teknik atau metode seperti analisa numerik, aljabar linear, optimasi dan lain-lain. Proses kalibrasi model dilakukan dengan menggunakan bantuan algoritma computer dan beberapa kinerja statistic untuk menentukan tingkat ketepatan model. Setelah dikalibrasi, model dapat digunakan untuk kepentingan peramalan pada masa mendatang. Dengan demikian, salah satu

metode validasi dan kalibrasi yang paling sederhana adalah dengan mendefinisikan ambang kesalahan yang dapat diterima (Suprayitno, 2016).

Ada beberapa metode yang dapat digunakan untuk melakukan kalibrasi parameter dalam model *gravity*yaitu :

- a. Metode Sederhana
- b. Metode Hyman
- c. Metode Analisa Regresi Linear
- d. Metode Penaksiran Kuadrat-Terkecil (KT)
- e. Metode Penaksiran Kemiripan-Maksimum (KM)
- f. Metode Penaksiran Entropi Maksimum

- a. Metode Sederhana-Optimasi

Pendekatan yang digunakan pada metode ini adalah dengan cara ‘meminjam’ dulu suatu nilai β tertentu, kemudian menghitung model *gravity* dan mendapatkan sebaran panjang perjalanan hasil pemodelan. Kemudian sebaran ini dibandingkan dengan sebaran panjang perjalanan hasil pengamatan. Jika masih terdapat perbedaan antara kedua sebaran tersebut, nilai β baru harus digunakan dan proses diulangi sampai perbedaan kedua sebaran tersebut sangat kecil. Akan tetapi, pendekatan ini sangat tidak praktis karena menghitung model GR jenis DCGR membutuhkan waktu yang cukup lama dan tidak diketahui cara memilih nilai β yang baru jika nilai β tidak memenuhi syarat. Beberapa teknik kalibrasi telah dikembangkan dan digunakan pada beberapa paket program.

2.6.Survey Rumah Tangga

Survei Rumah Tangga (*Household Interview*) adalah salah satu jenis yang paling diandalkan dari survei untuk koleksi asal dan data tujuan. Survei ini dasarnya dimaksudkan untuk menghasilkan data pada pola perjalanan dari penduduk rumah tangga dan karakteristik umum dari rumah tangga mempengaruhi dalam perjalanan. Informasi pada pola perjalanan meliputi jumlah perjalanan dibuat, asal mereka dan tujuan, tujuan perjalanan, jenis perjalanan, waktu keberangkatan dari asal dan waktu kedatangan di tujuan dan sebagainya. Informasi pada karakteristik rumah tangga termasuk jenis hunian unit, jumlah

penduduk, usia, jenis kelamin, kepemilikan kendaraan, jumlah pengguna kendaraan, pendapatan keluarga dan seterusnya. Berdasarkan data tersebut adalah mungkin untuk berhubungan jumlah perjalanan ke rumah tangga dan zonal karakteristik dan mengembangkan persamaan untuk tarif perjalanan generasi. Hal ini tidak praktis dan tidak perlu untuk mewawancara semua penduduk dari daerah penelitian. Sejak pola perjalanan cenderung seragam dalam zona tertentu. Ukuran sampel biasanya ditentukan atas dasar penduduk daerah penelitian. Dan standar yang diberikan oleh Biro Jalan Umum seperti yang ditunjukkan pada table 2.2 di bawah ini.

Tabel 2.2 Standard Ukuran Sample untuk Survei Rumah Tangga

Jumlah Populasi dalam Suatu Area (Orang)	Ukuran Sampel
< 50.000	1 in 5 households
50.000 – 150.000	1 in 8 households
150.000 – 300.000	1 in 10 households
300.000 – 500.000	1 in 15 households
500.000 – 1.000.000	1 in 20 households
>1.000.000	1 in 25 households

Sumber : Bureau of Public Roads

Standar Praktek sekarang adalah bukan untuk menghitung ukuran sampel yang akan mencapai yang diinginkan presisi untuk indikator kunci pada tingkat yang diperlukan kepercayaan. Salah satu persamaan tersebut diberikan oleh Lalu lintas Appraisal manual.

$$n = p(1 - p)N^3 / [(E/1,96)^2(N - 1) + p(1 - p)N^2] \dots \dots \dots \quad (2.14)$$

Dimana : n = Jumlah sampel rumah tangga
 E = Tingkat akurasi
 P = Proporsi rumah tangga

2.7. Sekilas Program PTV Visum

PTV Visum merupakan salah satu perangkat lunak dalam teknik sipil terutama bagian transportasi yang dikembangkan oleh PTV Group di Jerman. PTV Group tidak hanya meluncurkan satu perangkat lunak PTV Visum, tetapi banyak perangkat lunak yang dihasilkan untuk masyarakat umum. Seperti contoh : PTV Visum (model jaringan, skala besar, nasional, regional dan local untuk perkembangan jaringan transportasi dan model kebutuhan), PTV Vissim (detail model mikroskopis untuk semua jenis moda transportasi), PTV Viswalk (simulasi pedestrian dalam maupun luar bangunan), PTV Vistro (solusi untuk semua analisis lalu lintas), PTV Optima (simulasi model lalu lintas, berdasarkan dari model PTV Visum), PTV Balance (control online signal jaringan lalu lintas), PTV Safety (pengelolaan alat untuk analisis perlindungan terhadap kecelakaan).

Kelebihan utama program ini adalah pada kemampuannya untuk memodelkan persoalan transportasi secara *multi modal*. PTV Visum merupakan sistem perencanaan transportasi urban multi modal baik angkutan pribadi maupun angkutan umum serta *output* grafik yang interaktif. Program tersebut menawarkan bagi para perencana suatu metode pemodelan dan analisa jaringan dengan multi moda, pemodelan *demand transport*, dan implementasi dari prosedur evaluasi *network*.

PTV Visum menawarkan bagi perencana suatu variasi untuk perbandingan secara langsung dari kondisi eksisting dan kondisi masa datang yang tercermin dalam perubahan lalu lintas pada jaringan jalan maupun perubahan *transit network* dalam hal karakteristik social ekonomi pada area studi.

Dalam penelitian ini menggunakan PTV Visum versi 15 untuk pelajar sehingga lisensi yang digunakan dalam penggunaan aplikasi ini merupakan lisensi untuk kepentingan pengembangan ilmu pengetahuan.

2.8.Pemodelan Transportasi Terdahulu

Berikut ini merupakan beberapa hasil penelitian terdahulu yang berkaitan dengan pemodelan transportasi :

1. Evaluasi Jaringan Jalan di Kotamadya Pontianak (Sunarto, 2000)

Kotamadya Pontianak merupakan Ibukota Propinsi Kalimantan Barat dengan luas wilayah lebih kurang 107,82 km² dan jumlah penduduk sebesar 469.000 dengan rata - rata laju pertumbuhan penduduk adalah 2,61%. Sedangkan jumlah laju pertumbuhan kendaraan mobil penumpang 11,44%. Hal ini menyebabkan terjadinya pertumbuhan kegiatan di wilayah Kotamadya Pontianak, terutama di pusat kota dimana kegiatan perdagangan dan jasa meningkat, juga kegiatan perkantoran dan pemukiman. Jaringan jalan utama merupakan penghubung ke lokasi kegiatan tersebut sehingga merupakan jalan yang banyak dilalui oleh pengguna jalan, hal ini mengakibatkan permasalahan lalulintas yang perlu mendapatkan perhatian, terutama arus lalulintas kritis dan tundaan yang dapat menimbulkan masalah seperti polusi udara, suara serta keselamatan lalulintas. Untuk itu perlu suatu penanganan sedini mungkin supaya tidak menimbulkan permasalahan di masa yang akan datang.

Tujuan dari evaluasi jaringan jalan adalah untuk mengetahui arus lalulintas kritis pada ruas jalan utama, setelah adanya manajemen lalulintas sehingga dicapai suatu efisiensi pengguna jalan agar mendapatkan keamanan, kenyamanan, dan kelancaran dalam suatu perjalanan.

Penelitian ini dilakukan dengan mengutamakan data primer untuk menghitung keluar masuk kendaraan di simpang, menghitung kendaraan pada suatu ruas jalan tertentu (screen line). Selain itu juga menggunakan data sekunder yang didapatkan dari instansi terkait. Adapun masukkan data yang di perlukan adalah berupa jaringan jalan, tata guna lahan, (land use), kecepatan dan kapasitas. Selanjutnya membuat beberapa skenario penanganan, kemudian diolah dan dianalisis menggunakan perencaraan transportasi dengan bantuan komputer dan *Teacher Friendly Transportation Program* (TFTP).

Hasil olahan data dianalisis untuk mengetahui pola pergerakan perjalanan dari masing - masing simpang yang dianggap sebagai suatu node. Selanjutnya menetapkan skenario 1 untuk kondisi jalan saat ini dan arus lalulintas saat ini tahun 1999 dan penanganan untuk mengurangi permasalahan dengan menetapkan skenario 2. Dengan perbedaan nilai

parameter sebagai berikut : kecepatan rata - rata 28,6 km/jam menjadi 31,79 km/jam, meningkat 11,05 km/jam, panjang jalan arus lalulintas kritis (nilai v/c rasio 0,75 - > 1) 24 km menjadi 22,3 km, mengecil 7,08, proporsi jalan arus lalulintas kritis 19,2 % menjadi 17,98% mengecil 1,3%. Skenario 3 untuk kondisi jalan saat ini dan arus lalulintas akan datang tahun 2004 dan penangan untuk mengurangi permasalahan, dengan menetapkan skenario 4. Dengan perbedaan nilai parameter sebagai berikut ; kecepatan rata - rata 13,50 km/jam menjadi 22,96 km/jam meningkat 70,07%, panjang jalan arus lalulintas kritis (nilai v/c rasio 0,75 - > 1) 74 km, meningkat 44,6 km, mengecil 39,73%, proporsi jalan arus lalulintas kritis 59,2% menjadi 35,97% mengecil 23,23%.

2. Pemodelan Transportasi Dengan Menggunakan Program EMME/2 (Studi Kasus Kawasan Malioboro Yogyakarta) (Wiratama, 2002)

Masalah transportasi seperti kemacetan, kesemrawutan, polusi udara, dan biaya operasi kendaraan yang tinggi tidak dapat terlepas dari Kawasan Malioboro akhir-akhir ini. Semua berawal dari adanya multi zona dan aktivitas yang bercampur pada kawasan tersebut. Selain itu, terdapat banyak tarikan perjalanan baik berupa perdagangan formal (Mall dan toko) dan perdagangan non formal (pedagang kaki lima dan pedagang emperan). Semua masalah tersebut menjadi bertambah kompleks dengan tidak diaturnya fasilitas parkir baik untuk sepeda motor dan mobil penumpang yang berdampak timbulnya kemacetan lalulintas terutama pada jam sibuk.

Penelitian ini menitikberatkan pada analisa pembebanan ruas jalan dan simpang sebagai satu jaringan jalan yang diharapkan dapat dilakukan manajemen lalulintas. Tujuan dari penelitian ini adalah untuk mengetahui pergerakan kendaraan kondisi eksisting yang selanjutnya dilakukan manajemen lalulintas pada kawasan Malioboro. Data penelitian berupa lebar jalan, kecepatan arus bebas, volume kendaraan, Matriks Asal Tujuan perjalanan, rute dan headway angkutan umum, kapasitas penumpang angkutan umum dan kapasitas jalan, diperoleh dari penelitian sebelumnya dan beberapa instansi terkait. Analisa pembebanan dilakukan dengan

bantuan Program EMME/2 yang selanjutnya dilakukan proses validasi dilakukan pada hasil pembebanan kondisi eksisting. Pengecekan hasil pembebanan terhadap kondisi riil di lapangan didasarkan pada nilai R square dan Chi Square dengan bantuan program SPSS versi 9.0.

Hasil pembebanan untuk kondisi eksisting pada awalnya cukup jauh menyimpang dari kondisi riil yang dapat dilihat dari volume kendaraan pada jalan Malioboro sebesar 5387 smp/jam. Setelah dilakukan beberapa tahap proses validasi jaringan, didapatkan kondisi model yang cukup mendekati kondisi riil lapangan dengan nilai R² sebesar 44,67 % dengan volume kendaraan pada Jalan Malioboro 2974 smp/jam. Skenario penutupan jalan Malioboro dengan membatasi seluruh moda kendaraan, ternyata tidak memberikan hasil optimum ditandai dengan naiknya volume kendaraan pada Jalan Mataram (2666 smp/jam) dan Suryotomo (1727 smp/jam).

Begitu juga dengan skenario kedua yaitu pembatasan sepeda motor pada Jalan Malioboro tetap mengakibatkan naiknya volume kendaraan dan menurunnya kecepatan perjalanan pada jalan-jalan di sekitarnya. Skenario ketiga dapat mengurangi beban berlebih kendaraan pada Jalan Malioboro (2548 smp/jam) yang didistribusikan pada Jalan Bayangkara (1857 smp/jam) dengan perubahan menjadi 2 arah pergerakan, tetapi akan mengakibatkan naiknya volume kendaraan terutama pada simpang Bayangkara-KHA.Dahlan. Berdasarkan hal tersebut dapat disimpulkan bahwa kawasan Malioboro tidak dapat mengatasi dirinya sendiri kecuali dengan mengalihkan tarikan perjalanan keluar kawasan tersebut, seperti pada skenario terakhir dengan 2 kali penyaringan pergerakan kendaraan karena adanya kawasan andalan DIY.Diharapkan dengan dilakukannya langkah-langkah tersebut, kemacetan malioboro dapat diminimalkan.

3. Studi Aplikasi Pengembangan Model *Trip Distribution* Menggunakan Multivariabel-Linear Pada Fungsi Hambatan dan Kalibrasi Menggunakan *Excel-Solver* (Fadly, 2008)

Model *trip distribution* saat ini menggunakan analisa fungsi hambatan dengan konsep metode satu dan *generalized* variabel/parameter

aksesibilitas. Variabel-variabel pada fungsi hambatan dalam model ini merupakan ukuran aksesibilitas perjalanan antara suatu daerah. Selain itu dalam melakukan kalibrasi model saat ini, metode yang penggunaannya paling mudah adalah metode sederhana. Metode ini sangat mudah akan tetapi saat ini hambatan yang dihadapi yaitu cara memilih parameter model pada iterasi berikut dari nilai parameter iterasi sebelumnya. Oleh karena itu dilakukan penelitian berupa pengembangan analisa perhitungan fungsi hambatan pada model *trip distribution* menggunakan multivariabel secara linear dan pengembangan metode kalibrasi sederhana dalam mengestimasi parameter menggunakan *optimization algorithms procedure* yang dilakukan dengan bantuan program *Excel-Solver*.

Penelitian ini mengembangkan penggunaan multivariabel secara linear pada fungsi hambatan yang digunakan untuk meminimalkan error model yang dibuat. Aplikasi fungsi hambatan dengan menggunakan multivariabel-linear dianalisa dalam model *Doubly Constrained Gravity*. Konstanta dan parameter tiap variabel pada fungsi hambatan dengan persamaan linear dapat dikalibrasi menggunakan metode sederhana yang telah dikembangkan, dimana hambatan metode sederhana dalam hal pemilihan parameter model pada iterasi berikut diatasi dengan cara menggunakan *optimization algorithms procedure* dengan bantuan program *Excel-Solver*. Penggunaan model *trip distribution* ini juga dilakukan pada model hambatan lainnya dan metode kalibrasi analisa regresi linear. Dari analisa ini kemudian akan diperoleh beberapa MAT_{model}. Model dengan variasi fungsi hambatan dan metode kalibrasi yang terbaik adalah model yang memiliki *error model* terkecil (selisih antara MAT_{model} dengan MAT_{data}). Dari hasil semua model ini dibandingkan *error*, kemudian dilakukan perhitungan presentase perubahannya *error* menggunakan model hasil pengembangan terhadap model lainnya.

2.8.1 Rangkuman Penelitian Terdahulu

Berikut merupakan tabel rangkuman penelitian terdahulu guna melihat *point-point* yang diutarakan :

Tabel2.3Rangkuman Penelitian

Point Penelitian	Sunarto (2000)	Wiratama (2002)	Fadly (2008)
Lokasi Penelitian	Kotamadya Pontianak	Kawasan Malioboro, Yogyakarta	Beberapa bandar udara di Indonesia
Metode Perhitungan	<i>Pencacahan lalu lintas berdasarkan MKJI 1997</i>	<i>Pencacahan lalu lintas berdasarkan Model 4 langkah (Tamin, 2000)</i>	Sebaran Perjalanan angkutan udara
Penggunaan Perangkat lunak	<i>Teacher Friendly Transportation Program (TFTP)</i>	EMME/2	<i>Excel-Solver</i>
Kalibrasi Pemodelan Transportasi	Tidak Ada	R-square dan Chi-square	Metode Analisa Regresi-Linear
Arus lalu lintas yang berasal dari zona Eksternal	Tidak ada	Arus lalu lintas sekitar kawasan Malioboro	Perjalanan angkutan udara di beberapa bandar udara Indonesia.

Sumber : Sunarto (2000), Wiratama (2002), Fadly (2008)

2.8.2 Penambahan dalam Penelitian Ini

Penyempurnaan yang perlu dilakukan/ditambahkan dalam penelitian ini adalah :

1. Adanya matriks asal tujuan (MAT) internal-internal (II), internal-eksternal (IE), eksternal-internal (EI), dan eksternal-eksternal (EE).
2. Kalibrasi pemodelan yang digunakan adalah metode Sederhana-Optimasi.

BAB III

METODOLOGI PENELITIAN

3.1.Lokasi dan Waktu Penelitian

Dalam penelitian ini, kota yang akan digunakan untuk dihitung pemodelan transportasi dengan menggunakan Model 4 langkah adalah Kota Samarinda. Berikut adalah peta kota samarinda tiap kelurahan pada Gambar 3.1.



Gambar 3. 1Peta Kota Samarinda

Kalimantan Timur. Kecamatan dan kelurahan yang akan dihitung dalam kota Samarinda adalah :

1. Kecamatan Sungai Kunjang
 - Kelurahan Loa Bakung
 - Kelurahan Loa Buah
 - Kelurahan Karang Asam Ulu
 - Kelurahan Loa Bahu
 - Kelurahan Teluk Lerong Ulu
 - Kelurahan Karang Asam Ilir
 - Kelurahan Karang Anyar
2. Kecamatan Samarinda Seberang
 - Kelurahan Sungai Keledang
 - Kelurahan Baqa
 - Kelurahan Mesjid
3. Kecamatan Samarinda Kota
 - Kelurahan Karang Mumus
 - Kelurahan Pelabuhan
 - Kelurahan Pasar Pagi
 - Kelurahan Bugis
 - Kelurahan Sungai Pinang Luar
4. Kecamatan Samarinda Ilir
 - Kelurahan Selili
 - Kelurahan Sungai Dama
 - Kelurahan Sidomulyo
- Kelurahan Sidodamai
- Kelurahan Pelita
5. Kecamatan Samarinda Ulu
 - Kelurahan Teluk Lerong Ilir
 - Kelurahan Jawa
 - Kelurahan Air Putih
 - Kelurahan Sidodadi
 - Kelurahan Air Hitam
 - Kelurahan Dadimulya
 - Kelurahan Gunung Kelua
 - Kelurahan Bukit Pinang
6. Kecamatan Samarinda Utara
 - Kelurahan Sempaja Selatan
 - Kelurahan Lempake
 - Kelurahan Sungai Siring
 - Kelurahan Sempaja Utara
 - Kelurahan Tanah Merah
7. Kecamatan Sungai Pinang
 - Kelurahan Temindung Permai
 - Kelurahan Sungai Pinang Dalam
 - Kelurahan Gunung Lingai
 - Kelurahan Mugirejo
 - Kelurahan Bandara
8. Kecamatan Sambutan

- Kelurahan Sungai Kapih
 - Kelurahan Sambutan
 - Kelurahan Makroman
 - Kelurahan Sindang Sari
 - Kelurahan Pulau Atas
9. Kecamatan Loa Janan Ilir
- Kelurahan Simpang Tiga
 - Kelurahan Tani Aman
 - Kelurahan Sengkotek
- Kelurahan Harapan Baru
 - Kelurahan Rapak Dalam
10. Kecamatan Palaran
- Kelurahan Rawa Makmur
 - Kelurahan Handil Bakti
 - Kelurahan Bukuan
 - Kelurahan Simpang Pasir
 - Kelurahan Bantuas

Kecamatan dan kelurahan yang disebut diatas dihitung dalam penelitian oleh karena semua zona tersebut merupakan pusat aktifitas kota Samarinda dan akan dijadikan dalam bentuk model wilayah zona kota Samarinda. Selain kecamatan dan kelurahan yang akan dihitung, hubungan jalan antar kota Samarinda dengan kota lainnya juga akan dihitung dalam penelitian. Berikut adalah kota/kecamatan yang berhubungan langsung dengan kota Samarinda pada Gambar 3.2 :



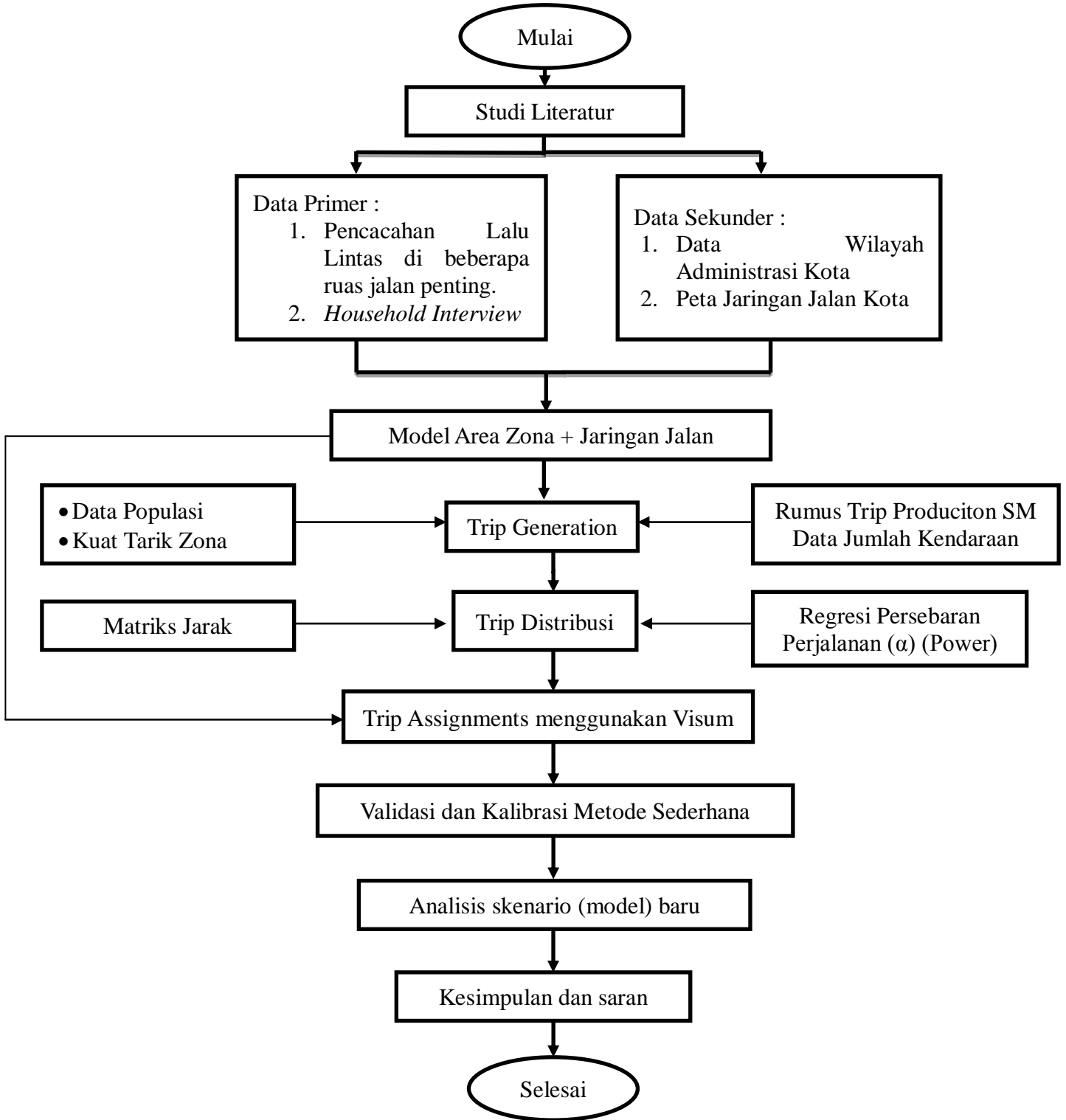
Gambar 3. 2 Peta Eksternal-Internal Kota Samarinda

1. Kota Samarinda – Kota Tenggarong (melalui Kec. Tenggarong)
2. Kota Samarinda – Kota Bontang (melalui Kec. Muara Badak)
3. Kota Samarinda – Kecamatan Anggana Kab. Kutai Kartanegara
4. Kota Samarinda – Kecamatan Sanga-sanga Kab. Kutai Kartanegara
5. Kota Samarinda – Kota Balikpapan (melalui Kec. Loa Janan)

Waktu penelitian dilakukan pada saat *Morning Peak Hour* (Jam 07.00 - Jam 08.00) dikarenakan banyaknya aktifitas perjalanan masyarakat kota Samarinda.

3.2.Bagan Alir Penelitian

Kerangka pemecahan masalah sangat berguna agar dapat melihat secara jelas langkah-langkah yang akan dilakukan untuk mencapai tujuan, karena dengan adanya kerangka tersebut maka dapat diketahui arah penelitian dan parameter - parameter apa yang akan digunakan untuk memecahkan masalah tersebut. Bagan alir metode penelitian dapat dilihat pada Gambar 3.3 berikut :



Gambar 3. Bagan Alir Metodologi Penelitian

Dalam penelitian ini menggunakan PTV Visum versi 15 untuk pelajar sehingga lisensi yang digunakan dalam penggunaan aplikasi ini merupakan lisensi untuk kepentingan pengembangan ilmu pengetahuan.

3.3.Skenario Perjalanan Eksternal – Eksternal

Perjalanan eksternal – eksternal dalam penelitian ini adalah perjalanan yang dilakukan dari zona eksternal kota Samarinda menuju zona eksternal lainnya. Perhitungan yang akan digunakan adalah perhitungan menggunakan asumsi perjalanan berdasarkan fungsi kota yang akan dituju. Asumsi ini akan ditampilkan dalam proporsi presentase yang akan dimasukkan dalam perhitungan pemodelan transportasi. Sebagai contoh adalah perjalanan dari kota Samarinda menuju kota Balikpapan yang memiliki fungsi sebagai jalur perhubungan karena kota tersebut memiliki bandara nasional sehingga memiliki proporsi presentase yang tinggi (asumsi : 14%).

3.4.Jenis dan Sumber Data

Jenis data yang digunakan dalam penelitian ini adalah data primer dan data sekunder sebagai berikut ini :

1. Data Primer

Data primer yang dibutuhkan dalam penelitian ini adalah :

- Pencacahan lalu lintas *Survey*
- *Household Interview*
- Peta Jaringan Jalan kota Samarinda
- Data Matriks Asal Perjalanan Dalam dan Luar kota Samarinda

2. Data Sekunder

Data sekunder yang dibutuhkan dalam penelitian ini adalah :

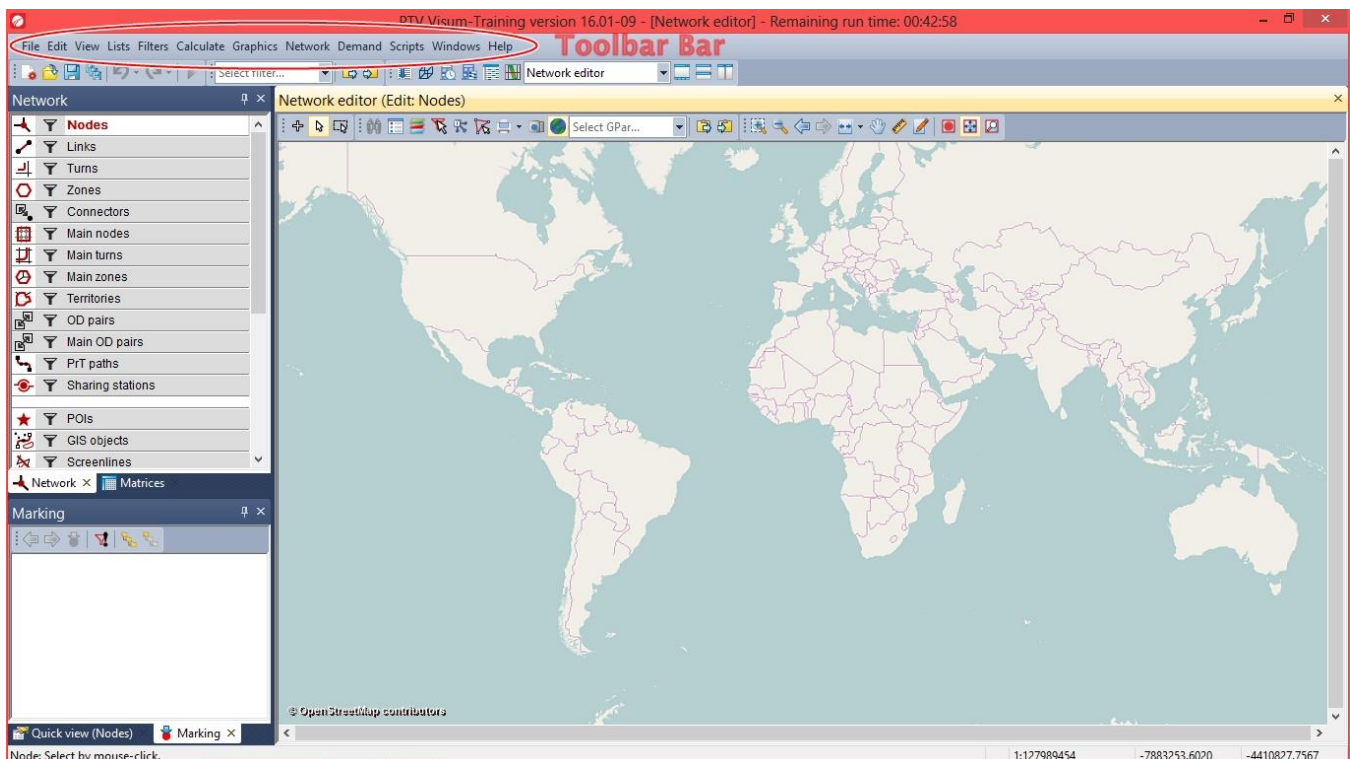
- Data Wilayah Administrasi kota Samarinda
- Data Jaringan Jalan kota Samarinda
- Data Pemintaan Perjalanan

3.5.Metode Cara Kerja Visum

Visum merupakan alat bantu perangkat lunak yang digunakan dalam penelitian ini. Berikut adalah metode cara kerja perangkat lunak visum sebagaimana digunakan dalam penelitian ini untuk menghitung jumlah lalu lintas berdasarkan MAT dari *trip distribution* :

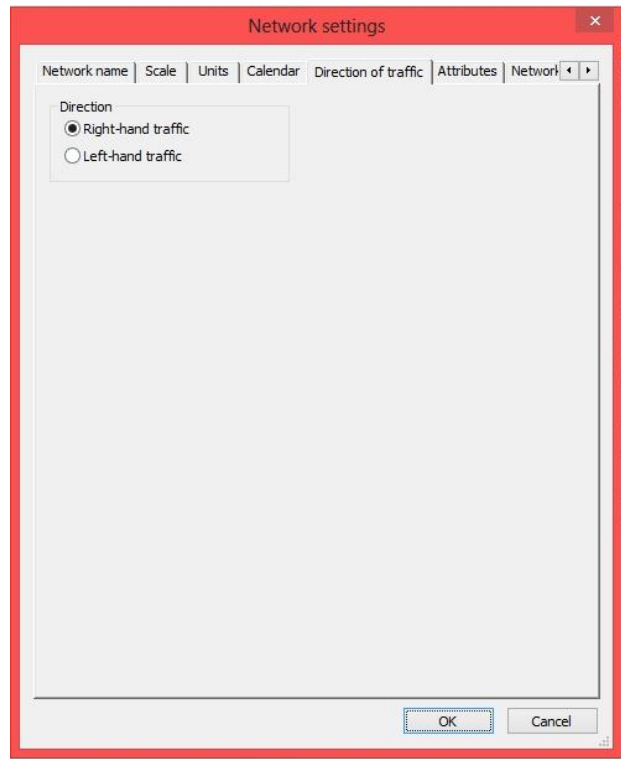
- Pengaturan arah lalu lintas

Pada saat membuka pertama kali perangkat lunak visum, maka muncul lah panel perangkat lunak visum yang ditunjukkan pada Gambar 3.4.



Gambar 3. 4Perangkat Lunak Visum

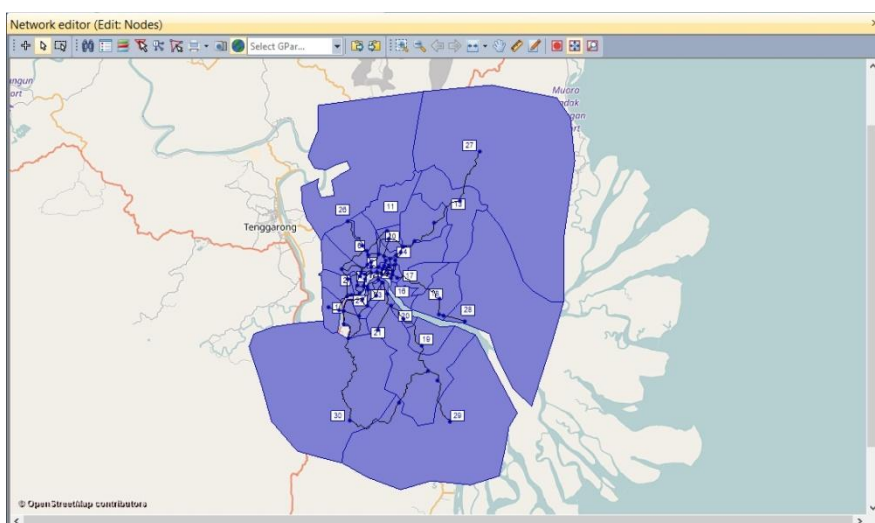
Pada gambar perangkat lunak visum, terdapat *toolbar bar* yang berisi semua proses penggeraan yang ada di visum. *Network* yang ada di panel visum merupakan *shortcut* untuk mengaktifkan tampilan-tampilan yang ada di *network editor*. Pengaturan arah lalu lintas dapat dilakukan dengan mengklik *network* → *network settings* → *direction of traffic* → *right-hand traffic* yang ditunjukkan pada Gambar 3.5 untuk panel *network setting*. Maka pengaturan arah lalu lintas sudah digantikan sesuai dengan arah lalu lintas yang ada di Indonesia.



Gambar 3.5 Panel *Network Settings*

- Zona dan Jaringan Jalan

Zona dan jaringan jalan yang digunakan adalah zona gabungan dan jaringan jalan kota Samarinda. Zona dan jaringan jalan dibuat berdasarkan dari gambar peta yang sudah disiapkan oleh visum. Berikut adalah hasil pembuatan gambar zona dan jaringan jalan yang ditunjukkan pada Gambar 3.6



Gambar 3.6 Gambar Zona dan Jaringan Jalan Visum

OD demand data

Demand segments								
Count: 2	Demand segment code	Demand segment name	Demand time series	Matrix	Matrix	Time reference	Start time	
1	C	Car	1 Default	Matrix(1)	1 New matrix	00:00:00		
2	X	PuT	1 Default	Matrix(1)	1 New matrix	Departure time	00:00:00	

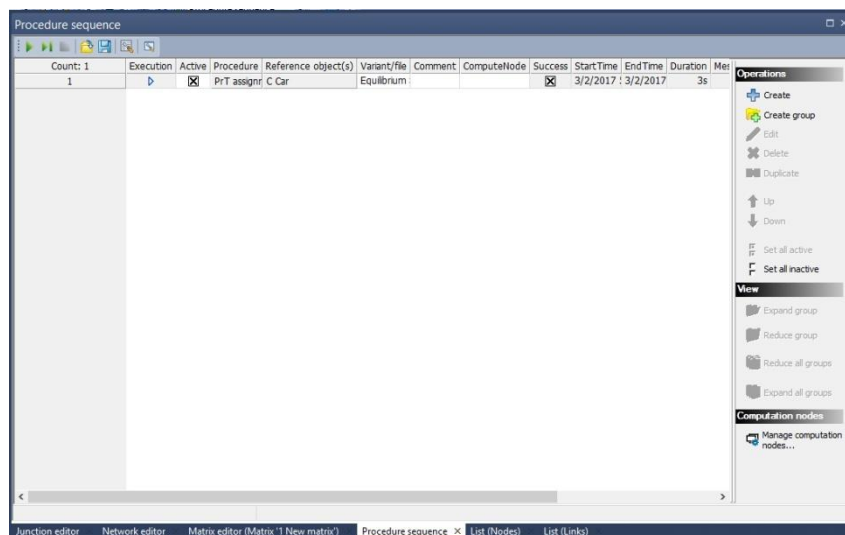
OK Cancel

Gambar 3.8 Panel OD Demand Data

Setelah muncul panel OD *demand data* seperti gambar diatas, maka langkah selanjutnya adalah mengganti matriks yang digunakan oleh *car* dengan matriks yang sudah dibuat.

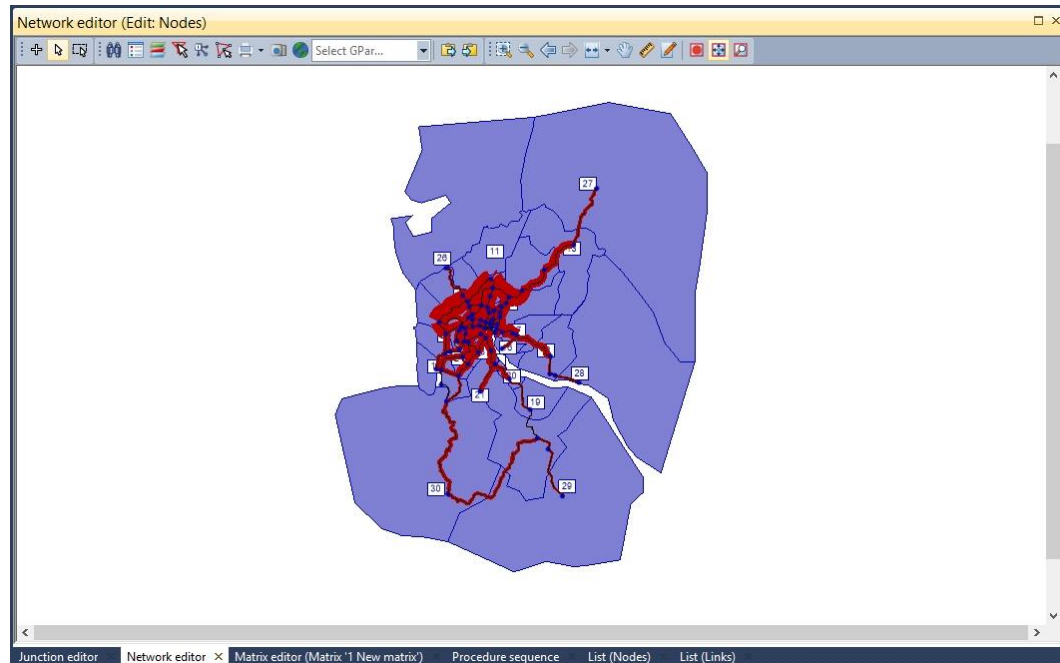
- *Trip Assignment* Visum

Trip Assignment merupakan langkah terakhir dalam penggerjaan model dalam visum. Langkah yang dibutuhkan adalah dengan mengklik *calculate* → *procedure sequence* → *create*. Maka akan muncul panel *procedure sequence* yang akan ditunjukkan pada Gambar 3.9.



Gambar 3.9 Panel Procedure Sequence

Setelah muncul panel *procedure sequence*, pilih objek dan metode yang akan digunakan untuk *trip assignment*. Lalu *execute* data tersebut sehingga menghasilkan *desire line* dan jumlah lalu lintas model dalam setiap ruas jalan yang ditunjukkan pada Gambar 3.10 dan Gambar 3.11.



Gambar 3.10 *Desire Line Trip Assignment*

Count: 286	Name	No	FromNodeNo	ToNodeNo	TypeNo	TSysSet	Length	NumLanes	CapPrT	V0PrT	VolVehPrT(AH)	VolVe	rT(AP)	VolPersPuT(AH)	VolPersPuT(AP)
34	Jl. K.H. Mas Mansyur	24	17	16 0	B.C.W	0.803km	1	100	45km/h	64231		176		413	
35	Jl. Kemuning	25	16	75 0	B.C.W	0.732km	1	879	30km/h	150877		413		1468	
36	Jl. Kemuning	25	75	16 0	B.C.W	0.732km	1	879	30km/h	535995		2364			
37	Jl. Jakarta	26	20	75 0	B.C.W	2.435km	2	1091	40km/h	862900		1251			
38	Jl. Jakarta	26	75	20 0	B.C.W	2.435km	2	1091	40km/h	456458		612			
39	Jl. Ringroad	27	20	21 0	B.C.W	0.205km	1	1561	60km/h	1341086		3674			
40	Jl. Ringroad	27	21	20 0	B.C.W	0.205km	1	1561	60km/h	1169775		3205			
41	Jl. K.H. Mas Mansyur	28	15	16 0	B.C.W	1.432km	1	1484	45km/h	223512		1644			
42	Jl. K.H. Mas Mansyur	28	16	15 0	B.C.W	1.432km	1	1484	45km/h	600226		0			
43	Jl. Teuku Umar	29	15	23 0	B.C.W	1.688km	1	1168	40km/h	72635		199			
44	Jl. Teuku Umar	29	23	15 0	B.C.W	1.688km	1	1168	40km/h	150877		413			
45	Jl. Untung Surapati	30	14	15 0	B.C.W	1.163km	2	2889	35km/h						
46	Jl. Untung Surapati	30	15	14 0	B.C.W	1.163km	2	2889	35km/h	600226		1644			
47	Jl. Ir. Sutami	31	14	23 0	B.C.W	1.113km	1	2057	30km/h	450522		1234			
48	Jl. Ir. Sutami	31	2	14 0	B.C.W	1.113km	1	2057	30km/h	552607		1514			
49	Jl. Slamet Riyadi	32	14	14 0	B.C.W	0.311km	2	2880	35km/h	1254891		3438			
50	Jl. Slamet Riyadi	32	14	1 0	B.C.W	0.311km	2	2880	35km/h	1806324		4949			
51	Jembatan Mahakam	33	1	2 0	B.C.W	0.579km	1	1320	20km/h	1207181		3307			
52	Jembatan Mahakam	33	2	1 0	B.C.W	0.579km	1	1320	20km/h	1206614		3306			
53	Jl. Rapat Indah	34	20	22 0	B.C.W	2.513km	2	1091	50km/h	969680		2657			
54	Jl. Rapat Indah	34	22	20 0	B.C.W	2.513km	2	1091	50km/h	360817		989			
55	Jl. Teuku Umar	35	22	23 0	B.C.W	1.650km	1	1167	35km/h	625242		1713			
56	Jl. Teuku Umar	35	23	22 0	B.C.W	1.650km	1	1167	35km/h	450522		1234			
57	Jl. Slamet Riyadi	36	1	26 0	B.C.W	1.109km	2	2674	18km/h	1806324		4949			
58	Jl. Slamet Riyadi	36	26	1 0	B.C.W	1.106km	2	2674	18km/h	1255457		3440			
59	Jl. Teuku Umar	37	22	24 0	B.C.W	0.627km	1	1168	30km/h	1544300		4231			
60	Jl. Teuku Umar	37	24	22 0	B.C.W	0.627km	1	1168	30km/h	1321127		3620			
61	Jl. Tengkawang	38	24	25 0	B.C.W	0.602km	1	1280	25km/h	1470691		4029			
62	Jl. Tengkawang	38	25	24 0	B.C.W	0.602km	1	1280	25km/h	1005844		2756			
63	Jl. Ulin	39	25	28 0	B.C.W	0.145km	1	1132	25km/h	1470691		4029			
64	Jl. Ulin	39	28	25 0	B.C.W	0.145km	1	1132	25km/h	1005844		2756			
65	Jl. Meranti	40	27	28 0	B.C.W	0.438km	1	1091	25km/h	302503		829			
66	Jl. Meranti	40	28	27 0	B.C.W	0.438km	1	1091	25km/h	526965		1444			
67	Jl. Slamet Riyadi	41	26	27 0	B.C.W	0.550km	2	2674	15km/h	1732594		4747			
68	Jl. Slamet Riyadi	41	27	26 0	B.C.W	0.550km	2	2674	15km/h	1181727		3238			

Gambar 3.11 Jumlah Lalu Lintas Setiap Ruas Jalan

Gambar 3.11 menunjukkan hasil lalu lintas model pada setiap ruas jalan yang digunakan. Angka-angka yang menunjukkan hasil lalu lintas model ditandai dengan lingkaran merah dan data tersebut akan di validasi dan kalibrasi untuk penyesuaian dengan lalu lintas yang ada di keadaan sebenarnya.

BAB IV

ANALISIS DAN PEMBAHASAN

4.1. ModelData

4.1.1. Penggabungan Zona

Dalam penelitian ini, jumlah kecamatan dan kelurahan yang diteliti terlalu banyak dan rumit. Pada perangkat lunak visum versi pelajar juga memiliki keterbatasan, yaitu hanya dapat membuat 30 zona. Sehingga dilakukannya penggabungan zona dengan tujuan membuat perhitungan lebih mudah dikerjakan dan lebih jelas. Penggabungan zona dilakukan berdasarkan kedekatan letak antar zona kelurahan dan bangkitan tarikan yang kecil antar zona kelurahan tersebut. Penggabungan zona terdiri dari 25 zona internal dan 5 zona eksternal. Berikut merupakan penggabungan zona yang dilakukan untuk mengurangi jumlah kelurahan yang dihitung ditunjukkan pada Tabel 4.1 :

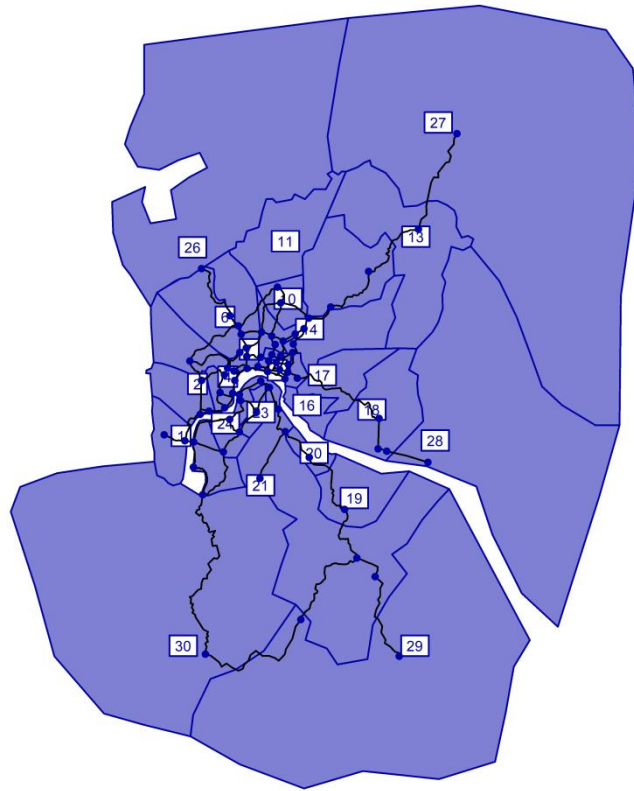
Tabel 4.1 Penggabungan Zona

Zona	Kelurahan	Zona	Kelurahan
1	Loa Buah	14	Mugirejo
2	Loa Bakung		Sungai Dama
3	Lok Bahu		Sidomulyo
4	Karang Asam Ulu		Sidodamai
	Karang Asam Ilir		Sungai Pinang Dalam
5	Teluk Lerong Ulu	16	Selili
	Karang Anyar		Sungai Kapih
	Teluk Lerong Ilir	17	Sambutan
	Jawa		Makroman
6	Air Putih	18	Sindang Sari
	Bukit Pinang		Pulau Atas
7	Air Hitam	19	Bukuan

Zona	Kelurahan	Zona	Kelurahan
8	Pelita	20	Rawa Makmur
	Sidodadi	21	Handil Bakti
	Dadi Mulya		Simpang Pasir
	Gunung Kelua		Bantuas
	Temindung Permai	22	Sungai Keledang
	Bandara		Baqqa
9	Karang Mumus		Mesjid
	Pelabuhan	23	Harapan Baru
	Pasar Pagi	24	Rapak Dalam
	Bugis	25	Simpang Tiga
	Sungai Pinang Luar		Tani Aman
10	Sempaja Selatan	26	Sengkotek
11	Sempaja Utara	27	Kec. Tenggarong
12	Lempake	28	Kec. Muara Badak
	Gunung Lingai	29	Kec. Anggana
	Tanah Merah	30	Kec. Sanga-sanga
13	Sungai Siring		Kec. Loa Janan

4.1.2. Model Zona dan Jaringan Jalan

Model data kota Samarinda telah diambil berdasarkan data Pemkot Samarinda bag. Pemerintahan Umum dan telah disempurnakan dengan jaringan jalan yang berasal dari Dinas Cipta Karya kota Samarinda. Model data zona dan jaringan kota Samarinda ditunjukkan pada Gambar 4.1. detail pembagian zona kota Samarinda telah dijelaskan pada bab 3 serta data populasi dan motor serta ruas jalan ditunjukkan pada Tabel 4.2 dan Tabel 4.3. Perhitungan metode 4 langkah yang akan digunakan pada penelitian hanya dalam zona internal-internal saja. Hal ini terjadi karena pada penelitian ini tidak menggunakan detail-detail zona eksternal sehingga zona eksternal hanya masuk pada perhitungan sebaran perjalanan.



Gambar 4.1 Model Wilayah dan Jaringan Jalan Kota Samarinda

Tabel 4. 2 Data Populasi dan Sepeda Motor setiap zona

No	Zona	Kecamatan	Kelurahan	Populasi (Jiwa)	Sepeda Motor (unit)	
1	1	Sungai Kunjang	Loa Buah	9.134	7.423	
2	2		Loa Bakung	32.507	26.417	
3	3		Lok Bahu	26.776	21.760	
4	4		Karang Asam Ulu	39.459	32.067	
5			Karang Asam Ilir			
6	5		Teluk Lerong Ulu	71.619	58.202	
7			Karang Anyar			
8			Teluk Lerong Ilir			
9			Jawa			
10	6	Samarinda Ulu	Air Putih	43.952	35.718	
11			Bukit Pinang			
12			Air Hitam	17.087	13.886	

No	Zona	Kecamatan	Kelurahan	Populasi (Jiwa)	Sepeda Motor (unit)	
13	8	Samarinda Ilir	Pelita	118.092	95.969	
14			Sidodadi			
15			Dadi Mulya			
16		Samarinda Ulu	Gunung Kelua			
17			Temindung Permai			
18			Bandara			
19	9	Samarinda Kota	Karang Mumus	40.878	33.220	
20			Pelabuhan			
21			Pasar Pagi			
22			Bugis			
23			Sungai Pinang Luar			
24	10	Samarinda Utara	Sempaja Selatan	30.340	24.656	
25	11		Sempaja Utara	21.859	17.764	
26	12		Lempake	42.393	34.451	
27	Sungai Pinang	Gunung Lingai				
28		Tanah Merah				
29	13	Samarinda Utara	Sungai Siring	6.194	5.034	
30	14		Mugirejo	22.391	18.196	
31	15	Samarinda Ilir	Sungai Dama	102.436	83.246	
32			Sidomulyo			
33			Sidodamai			
34		Sungai Pinang	Sungai Pinang Dalam			
35	16	Sambutan	Selili	29.340	23.844	
36			Sungai Kapih			
37	17		Sambutan	24.712	20.083	
38	18		Makroman	16.551	13.450	
39			Sindang Sari			
40			Pulau Atas			
41	19	Palaran	Bukuan	18.651	15.157	
42	20		Rawa Makmur	22.531	18.310	
43	21		Handil Bakti	22.967	18.665	
44			Simpang Pasir			
45			Bantuas			
46	22	Samarinda Seberang	Sungai Keledang	61.554	50.023	
47			Baqqa			
48			Mesjid			

No	Zona	Kecamatan	Kelurahan	Populasi (Jiwa)	Sepeda Motor (unit)	
49	23	Loa Janan Ilir	Harapan Baru	18.192	14.784	
50	24		Rapak Dalam	20.803	16.906	
51	25		Simpang Tiga	34.297	27.872	
52			Tani Aman			
53			Sengkotek			

Tabel 4. 3 Data Jumlah Ruas Jalan dan Simpang

Data	Jumlah
Ruas Jalan Primer	53
Ruas Jalan Sekunder	90
Simpang	101

4.2. Analisis Perhitungan Survei Rumah Tangga (*Household Interview*)

Survey rumah tangga (*household interview*) merupakan survei kuisoner yang digunakan dalam penelitian ini. Adapun contoh kuisonernya dicantumkan pada lampiran kuisoner survey. Jumlah penentuan survei rumah tangga mengikuti standar yang telah ditentukan oleh *Bureau of Public Road*, standar tersebut sudah mendasarkan penentuan sampel survei rumah tangga. Setelah mengikuti standar tersebut, dapat diperoleh angka perbandingan yang dikalikan dengan jumlah survei terhadap jumlah rumah tangga.

Jumlah sampel survei rumah tangga yang dilakukan untuk penelitian ini diperoleh dengan cara sebagai berikut :

1. Jumlah penduduk kota Samarinda berada pada kisaran 500.000 – 1.000.000 jiwa sehingga diperoleh angka pengali sebesar 1/20 (berdasarkan tabel 2.2 Standard Ukuran Sample untuk Survei Rumah Tangga)
2. Berdasarkan catatan sipil di wilayah studi kota Samarinda diperoleh jumlah rumah tangga sebesar 17.880 rumah tangga, sehingga pada saat dikalikan dengan jumlah pengali 1/20 angka rumah tangga menjadi 894 rumah tangga. Tetapi untuk penelitian akademisi, maka jumlah sampel

yang akan digunakan sebesar 447 sampel rumah tangga. Berikut merupakan hasil survei data perjalanan sepeda motor pada tabel 4.4.

Tabel 4. 4Hasil Survei Data Perjalanan Sepeda Motor

No.	Zona	Kelurahan	Rumah Tangga	Data Rumah Tangga		Data Perjalanan Motor
				Populasi	Motor	
1	1	Loa Buah	5	28	23	31
2	2	Loa Bakung	23	79	53	31
3	3	Lok Bahu	20	84	48	37
4	4	Karang Asam Ulu	23	79	48	49
5		Karang Asam Ilir				
6	5	Teluk Lerong Ulu	53	226	132	126
7		Karang Anyar				
8		Teluk Lerong Ilir				
9		Jawa				
10	6	Air Putih	53	198	157	154
11		Bukit Pinang				
12	7	Air Hitam	23	74	53	54
13	8	Pelita	74	213	157	149
14		Sidodadi				
15		Dadi Mulya				
16		Gunung Kelua				
17		Temindung Permai				
18		Bandara				
19	9	Karang Mumus	20	58	41	49
20		Pelabuhan				
21		Pasar Pagi				
22		Bugis				
23		Sungai Pinang Luar				
24	10	Sempaja Selatan	20	69	48	46
25	11	Sempaja Utara	15	66	48	51
26	12	Lempake	10	51	30	29
27		Gunung Lingai				
28		Tanah Merah				
29	13	Sungai Siring	3	18	20	14
30	14	Mugirejo	13	43	13	23

Zona	Kelurahan	Rumah Tangga	Data Rumah Tangga		Data Perjalanan Motor
			Populasi	Motor	
15	Sungai Dama	38	140	79	83
	Sidomulyo				
	Sidodamai				
	Sungai Pinang Dalam				
16	Selili	10	43	25	34
	Sungai Kapih				
17	Sambutan	13	48	33	32
18	Makroman	8	28	13	17
	Sindang Sari				
	Pulau Atas				
19	Bukuan	3	8	5	3
20	Rawa Makmur	5	23	10	11
21	Handil Bakti	13	61	36	37
	Simpang Pasir				
	Bantuas				
22	Sungai Keledang	20	81	46	63
	Baqা				
	Mesjid				
23	Harapan Baru	8	25	15	11
24	Rapak Dalam	5	23	13	17
25	Simpang Tiga	15	48	25	32
	Tani Aman				
	Sengkotek				
				Jumlah	1075

4.3. Analisis Trip Generation (TG)

4.3.1. Gambaran Umum

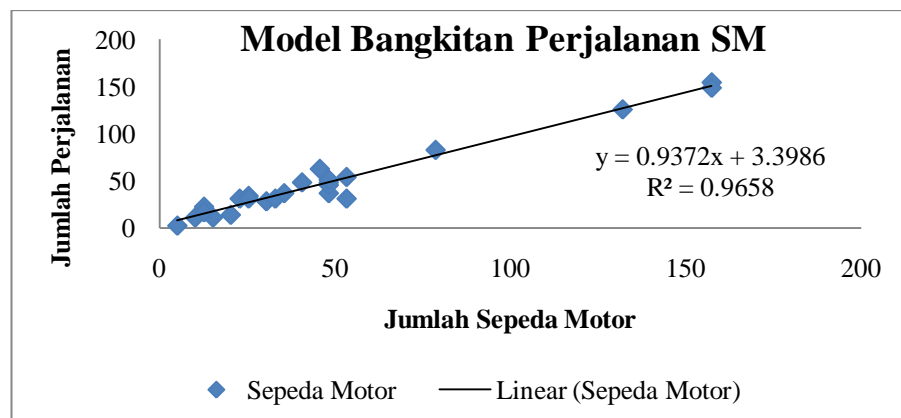
Trip Generation (TG) digunakan untuk mengetahui jumlah perjalanan yang dilakukan dalam suatu zona. *Trip Generation* terdiri dari dua bagian, yaitu *Trip Production* dan *Trip Attraction*. Berikut adalah bagian-bagian yang dilakukan untuk menghitung *Trip Generation*.

4.3.2. Regresi Sepeda Motor

Sebelum menghitung *trip generation*, terlebih dahulu harus dibuat bentuk persamaan dari *trip production* yang akan digunakan dalam perhitungan *trip*

attraction. Persamaan tersebut dibentuk dari hubungan antara jumlah kepemilikan sepeda motor dengan jumlah perjalanan sepeda motor di wilayah kota Samarinda. Penentuan persamaan *trip production* hanya dilakukan untuk kendaraan pribadi sepeda motor. Data yang digunakan adalah data survey data perjalanan sepeda motor.

Setelah diketahui jumlah kepemilikan sepeda motor, jumlah populasi dan jumlah perjalanan sepeda motor, maka persamaan *trip production* bisa dibentuk. Untuk membuat persamaan *trip production*, perlu adanya grafik hubungan antara jumlah kepemilikan sepeda motor dengan jumlah perjalanan yang telah dilakukan dengan menggunakan motor sepeda. Berikut adalah grafik hubungan regresi perjalanan sepeda motor yang ditunjukkan pada Gambar 4.2.



Gambar 4.2Grafik Trip Production Sepeda Motor

Berdasarkan grafik *trip production* sepeda motor, telah diketahui bahwa semakin banyak jumlah sepeda motor maka semakin banyak pula jumlah perjalanan yang terjadi, serta terdapat bentuk persamaan *trip production* sepeda motor yaitu :

$$TPsm = 0,937sm + 3,398 \quad R^2 = 0,9658$$

Bentuk persamaan *trip production* sepeda motor akan digunakan untuk menghitung jumlah perjalanan yang akan dilakukan sepeda motor pada perhitungan model *trip generation*. Variabel sm yang dimasukkan adalah jumlah kendaraan sepeda motor pada suatu zona.

4.3.3. Perhitungan Bangkitan Perjalanan

Perhitungan *trip generation* yang dilakukan berbasis zona kelurahan yang telah dibagi dalam beberapa zona seperti yang telah disebutkan dalam bab 3. Adapun data-data yang diperlukan adalah populasi setiap zona kelurahan dan jumlah kepemilikan sepeda motor setiap zona kelurahan yang telah diperoleh dari perhitungan sebelumnya.

Seperti yang diketahui sebelumnya bahwa *trip generation* terdiri dari dua bagian, yaitu bangkitan perjalanan (*trip production*) dan tarikan perjalanan (*trip attraction*). Perhitungan bangkitan perjalanan menggunakan persamaan regresi perjalanan sepeda motor yang telah diperoleh sebelumnya. Dalam perhitungan bangkitan perjalanan, jumlah kepemilikan sepeda motor memiliki peran yang penting untuk menentukan jumlah *trip production* dalam suatu zona kelurahan. Semakin banyak jumlah sepeda motor yang dimiliki dalam suatu zona, maka jumlah bangkitan perjalanan dalam suatu zona tersebut juga memiliki jumlah yang besar. Berikut adalah hasil perhitungan bangkitan perjalanan yang ditunjukkan pada Tabel 4.5.

Tabel 4. 5 Bangkitan Perjalanan Sepeda Motor

No	Zona	Kelurahan	Koefisien	0,937	3,374
			Populasi (Jiwa)	Sepeda Motor (unit)	Trip Production Sepeda Motor (perj/jam)
1	1	Loa Buah	9.134	7.423	6.958
2	2	Loa Bakung	32.507	26.417	24.756
3	3	Lok Bahu	26.776	21.760	20.392
4	4	Karang Asam Ulu	39.459	32.067	30.053
5		Karang Asam Ilir			
6	5	Teluk Lerong Ulu	71.619	58.202	54.548
7		Karang Anyar			
8		Teluk Lerong Ilir			
9		Jawa			
10	6	Air Putih	43.952	35.718	33.474
11		Bukit Pinang			
12	7	Air Hitam	17.087	13.886	13.014

No	Zona	Kelurahan	Koefisien	0,937	3,374
			Populasi (Jiwa)	Sepeda Motor (unit)	Trip Production Sepeda Motor (perj/jam)
13	8	Pelita	118.092	95.969	89.942
14		Sidodadi			
15		Dadi Mulya			
16		Gunung Kelua			
17		Temindung Permai			
18		Bandara			
19	9	Karang Mumus	40.878	33.220	31.143
20		Pelabuhan			
21		Pasar Pagi			
22		Bugis			
23		Sungai Pinang Luar			
24	10	Sempaja Selatan	30.340	24.656	23.106
25	11	Sempaja Utara	21.859	17.764	16.648
26	12	Lempake	42.393	34.451	32.290
27		Gunung Lingai			
28		Tanah Merah			
29	13	Sungai Siring	6.194	5.034	4.720
30	14	Mugirejo	22.391	18.196	17.053
31	15	Sungai Dama	102.436	83.246	78.014
32		Sidomulyo			
33		Sidodamai			
34		Sungai Pinang Dalam			
35	16	Selili	29.340	23.844	22.348
36		Sungai Kapih			
37	17	Sambutan	24.712	20.083	18.821
38	18	Makroman	16.551	13.450	12.612
39		Sindang Sari			
40		Pulau Atas			
41	19	Bukuan	18.651	15.157	14.205
42	20	Rawa Makmur	22.531	18.310	17.160
43	21	Handil Bakti	22.967	18.665	17.498
44		Simpang Pasir			
45		Bantuas			
46	22	Sungai Keledang	61.554	50.023	46.881
47		Baqqa			
48		Mesjid			

			Koefisien	0,937	3,374
No	Zona	Kelurahan	Populasi (Jiwa)	Sepeda Motor (unit)	Trip Production Sepeda Motor (perj/jam)
49	23	Harapan Baru	18.192	14.784	13.856
50	24	Rapak Dalam	20.803	16.906	15.844
51	25	Simpang Tiga	34.297	27.872	26.125
52		Tani Aman			
53		Sengkotek			
		Jumlah	894.715	727.105	674.504

4.3.4. Perhitungan Tarikan Perjalanan

Perhitungan tarikan perjalanan *trip attraction* merupakan salah satu perhitungan yang digunakan dalam perhitungan *trip generation* (TG). Tarikan perjalanan menggunakan nilai kuat tarik tiap zona kelurahan yang akan dikalikan dengan total bangkitan perjalanan. Nilai kuat tarik ini ditentukan oleh jenis zona kelurahan. Jika zona kelurahan tersebut adalah pusat kota atau lebih banyak gedung perkantoran didalamnya, maka zona tersebut akan lebih banyak menarik perjalanan sepeda motor pada *peak hour* dan memiliki nilai kuat tarik yang cukup tinggi. Sedangkan jika dalam zona kelurahan tersebut hanya didominasi oleh rumah resident, maka zona tersebut hanya menarik sedikit jumlah perjalanan sepeda motor pada *peak hour*. Pernyataan tersebut dapat dibuktikan pada tabel tarikan perjalanan sepeda motor yang ditunjukkan pada Tabel 4.6.

Tabel 4. 6 Tarikan Perjalanan Sepeda Motor

No	Zona	Kelurahan	Kuat Tarik	Trip Production Sepeda Motor (perj/jam)	Trip Attraction Sepeda Motor (perj/jam)
1	1	Loa Buah	6	6.958	6.745
2	2	Loa Bakung	13	24.756	13.490
3	3	Lok Bahu	7	20.392	8.094
4	4	Karang Asam Ulu	20	30.053	43.168
5		Karang Asam Ilir			
6	5	Teluk Lerong Ulu	18	54.548	74.195
7		Karang Anyar			
8		Teluk Lerong Ilir			
9		Jawa			

No	Zona	Kelurahan	Kuat Tarik	Trip Production Sepeda Motor (perj/jam)	Trip Attraction Sepeda Motor (perj/jam)
10	6	Air Putih	15	33.474	33.725
11		Bukit Pinang			
12	7	Air Hitam	14	13.014	13.490
13	8	Pelita	16	89.942	105.223
14		Sidodadi			
15		Dadi Mulya			
16		Gunung Kelua			
17		Temindung Permai			
18		Bandara			
19	9	Karang Mumus	22	31.143	122.760
20		Pelabuhan			
21		Pasar Pagi			
22		Bugis			
23		Sungai Pinang Luar			
24	10	Sempaja Selatan	17	23.106	18.886
25	11	Sempaja Utara	12	16.648	12.141
26	12	Lempake	9	32.290	31.027
27		Gunung Lingai			
28		Tanah Merah			
29	13	Sungai Siring	6	4.720	6.745
30	14	Mugirejo	6	17.053	6.745
31	15	Sungai Dama	11	78.014	44.517
32		Sidomulyo			
33		Sidodamai			
34		Sungai Pinang Dalam			
35	16	Selili	8	22.348	14.839
36		Sungai Kapih			
37	17	Sambutan	9	18.821	9.443
38	18	Makroman	6	12.612	18.886
39		Sindang Sari			
40		Pulau Atas			
41	19	Bukuan	5	14.205	5.396
42	20	Rawa Makmur	5	17.160	6.745
43	21	Handil Bakti	7	17.498	22.933
44		Simpang Pasir			
45		Bantuas			
46	22	Sungai Keledang	9	46.881	26.980
47		Baqqa			
48		Mesjid			

No	Zona	Kelurahan	Kuat Tarik	Trip Production Sepeda Motor (perj/jam)	Trip Attraction Sepeda Motor (perj/jam)
49	23	Harapan Baru	7	13.856	6.745
50	24	Rapak Dalam	6	15.844	5.396
51	25	Simpang Tiga	8	26.125	22.933
52		Tani Aman			
53		Sengkotek			
		Jumlah	262	674.504	674.504

Pada tabel analisis perhitungan tarikan perjalanan, telah diketahui bahwa pada zona kelurahan zona 9 (kelurahan Karang Mumus, Pelabuhan, Pasar Pagi, Bugis, dan Sungai Pinang Luar) mempunyai angka tarikan yang tinggi. Hal ini terjadi karena kelurahan-kelurahan tersebut merupakan zona pusat kota yang memiliki daya tarik yang tinggi pada saat jam puncak pagi. Sedangkan pada kelurahan zona 19 (Bukuan) dan 20 (Rawa Makmur) memiliki angka kuat tarik yang kecil, hal ini terjadi karena zona tersebut merupakan zona resident yang mempunyai daya tarik kecil untuk menuju zona tersebut pada saat jam puncak pagi.

4.4. Analisis Trip Distribution

4.4.1. Gambaran Umum

Trip Distribution digunakan untuk mengetahui jumlah persebaran perjalanan yang dilakukan dari suatu zona ke zona yang lain. Dalam pembuatan *trip distribution* perlu adanya perhitungan hambatan persebaran perjalanan dan matriks jarak. Berikut adalah bagian perhitungan yang akan digunakan dalam membuat *trip distribution*.

4.4.2. Fungsi Hambatan Persebaran Perjalanan (α)

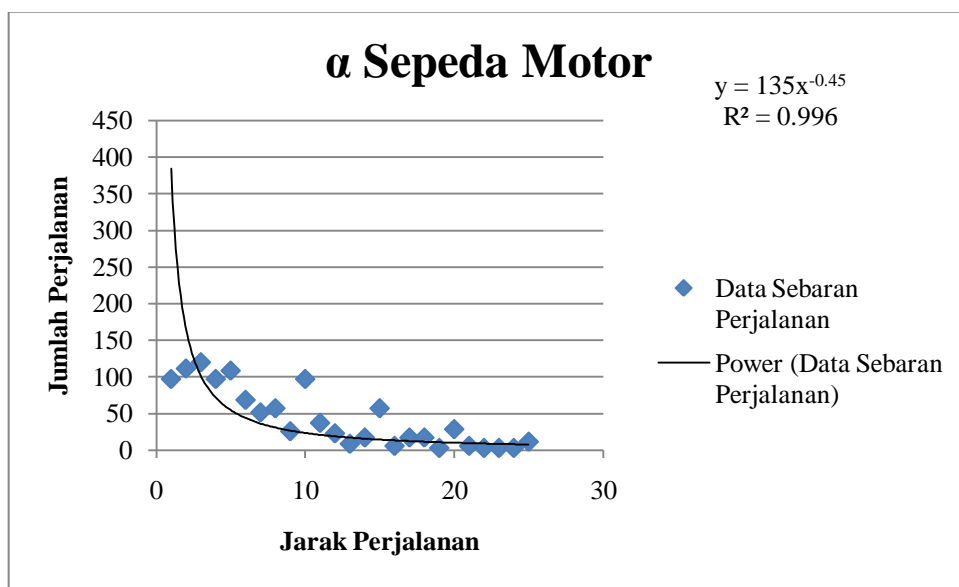
Berdasarkan rumus perhitungan *trip distribution* menggunakan rumus gravity, perlu adanya fungsi hambatan. Fungsi hambatan yang digunakan dalam penelitian ini adalah jenis fungsi pangkat hambatan α (power). Dalam analisis fungsi hambatan, jarak perjalanan moda sepeda motor dan jumlah perjalanan dari setiap jarak perjalanan tersebut merupakan faktor utama. Setelah itu, dilakukan uji trial dimana dua koefisien yang berpengaruh pada nilai *Sum Square Error* (SSE). Nilai koefisien yang terbaik diambil jika nilai SSE

mencapai nilai minimum. Berikut adalah tabel fungsi hambatan yang ditunjukkan pada tabel 4.5 beserta grafik fungsi hambatan pada gambar 4.7.

Tabel 4. 7Fungsi Hambatan

Koefisien			0,453	135,00			
no	X	Y	Y [^]	δY	δY ²	Y [^] -Y	Y-y
1	1	97	135,00	-37,75	1425,33	884410,99	956845,6
2	2	112	98,62	12,93	167,10	954159,31	929072,1
3	3	120	82,07	38,06	1448,22	986761,60	912604,4
4	4	97	72,04	25,20	635,14	1006785,11	956845,6
5	5	109	65,12	43,57	1898,28	1020733,13	934594,1
6	6	69	59,96	8,69	75,49	1031190,44	1013619,5
7	7	51	55,91	-4,43	19,61	1039419,74	1048469,2
8	8	57	52,63	4,57	20,92	1046122,30	1036787,2
9	9	26	49,90	-24,15	583,41	1051723,51	1101848,2
10	10	97	47,57	49,68	2467,74	1056498,67	956845,6
11	11	37	45,56	-8,38	70,18	1060635,03	1077960,6
12	12	23	43,80	-20,92	437,54	1064265,06	1107861,0
13	13	9	42,24	-33,66	1132,91	1067485,52	1138170,4
14	14	17	40,84	-23,68	560,92	1070368,99	1119935,7
15	15	57	39,59	17,62	310,31	1072971,14	1036787,2
16	16	6	38,45	-32,73	1071,06	1075335,49	1144281,4
17	17	17	37,41	-20,24	409,85	1077496,64	1119935,7
18	18	17	36,45	-19,29	372,05	1079482,48	1119935,7
19	19	3	35,57	-32,71	1069,80	1081315,82	1150408,7
20	20	29	34,75	-6,15	37,81	1083015,47	1095851,8
21	21	6	33,99	-28,27	799,25	1084597,12	1144281,4
22	22	3	33,28	-30,42	925,52	1086074,02	1150408,7
23	23	3	32,62	-29,76	885,59	1087457,39	1150408,7
24	24	3	32,00	-29,14	848,91	1088756,82	1150408,7
25	25	11	31,41	-19,97	398,77	1089980,58	1132075,8
		1075	SSE	13106,09	18645845,15	18712399,32	0,996

R²



Gambar 4.3Grafik Sebaran Perjalanan Sepeda Motor

Pada tabel dan gambar diatas, diketahui bahwa SSE minimum adalah 13106,09 dengan (R^2) sebesar 0,996. Sedangkan fungsi hambatan α memiliki nilai sebesar 0,453. Angka tersebut akan digunakan dalam perhitungan *trip distribution* yang menggunakan metode gravity.

4.4.3. Matriks Jarak

Matriks jarak merupakan data koordinat setiap zona kelurahan yang diambil dari *software Google Earth*. Data koordinat (x dan y) ini, masing-masing akan digunakan untuk perhitungan *trip distribution* menggunakan metode gravity dan selanjutnya dianalisis menggunakan Dalil Pythagoras seperti yang digunakan pada perhitungan segitiga siku-siku. Berikut adalah hasil tabel perhitungan matriks jarak 25 zona kota Samarinda ditunjukkan pada tabel 4.8 pada halaman selanjutnya. Hasil perhitungan matriks jarak antar zona ini akan digunakan sebagai pembagi bangkitan dan tarikan dalam metode gravity.

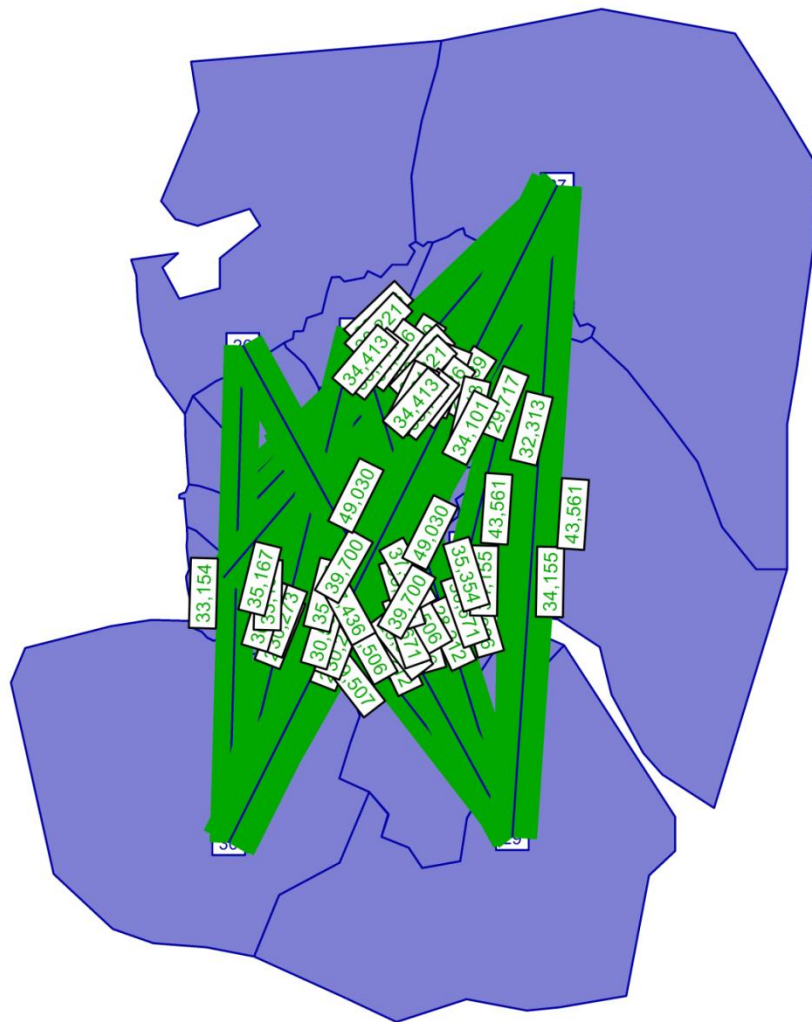
4.4.4. Perhitungan *Trip Distribution*

Analisis *trip distribution* yang dilakukan menggunakan metode sintesis dengan rumus gravity batasan bangkitan (*Production Constrained Gravity*). Model gravity batasan bangkitan (*Production Constrained Gravity*) menekankan pada totalan bangkitan dan tarikan perjalanan memiliki nilai yang sama dengan batasan bahwa bangkitan perjalanan harus sesuai dengan bangkitan perjalanan yang dimodelkan pada *trip generation*. Hasil dari persebaran perjalanan tersebut membentuk Matriks Asal Tujuan (MAT). Pembentukan matriks asal tujuan bergantung pada bangkitan dan tarikan perjalanan setiap zona, jarak yang akan ditempuh dan faktor hambatan yang terjadi antar zona tersebut. MAT ini mewakili setiap zona internal kota Samarinda (internal-internal), zona internal dengan zona eksternal (internal-eksternal), zona eksternal dengan zona internal (eksternal-internal), dan zona eksternal dengan zona eksternal kota Samarinda (eksternal-eksternal). Jumlah zona internal adalah 25 zona dan jumlah zona eksternal adalah 5 zona seusai dengan penyusunan bab sebelumnya. Berikut adalah gambar desire line yang ditunjukkan pada Gambar 4.4 dan urutan perhitungan sebaran perjalanan dimulai dari Tabel Matriks koefisien hambatan pada Tabel 4.9, sebaran perjalanan TD0 pada tabel 4.10, perhitungan model *gravity* tanpa batasan bangkitan pada tabel 4.11, perhitungan model *gravity* menggunakan batasan bangkitan pada tabel 4.12, dan data sebaran perjalanan antar zona internal-eksternal pada tabel 4.13.

Berdasarkan hasil persebaran perjalanan zona internal-eksternal kota Samarinda, terlihat bahwa distribusi perjalanannya cukup merata walau ada beberapa perjalanan yang cukup tinggi atau memusat pada zona-zona CBD atau pusat kota (zona 5, 8, dan 9). Selain itu, pergerakan eksternal-eksternal mempunyai nilai yang cukup besar, sehingga dapat mempengaruhi pergerakan yang terjadi antar zona internal. Hal ini terjadi karena kota Samarinda merupakan kota penghubung perjalanan antar kota diluar Samarinda.

Pada tabel 4.12 merupakan matriks asal tujuan yang berisi sebaran perjalanan pada zona internal-internal. matriks asal tujuan ini dihitung berdasarkan metode empat tahap yang telah dijelaskan pada subbab sebelumnya.

Sedangkan pada tabel 4.13 merupakan matriks asal tujuan yang berisi sebaran perjalanan pada zona internal-internal, internal-eksternal, eksternal-internal, dan eksternal-eksternal. Pada zona eksternal, hanya dimasukkan berdasarkan data keluar masuk kendaraan yang menuju dan keluar dari kota Samarinda. Sehingga untuk perhitungan zona internal-eksternal, eksternal-internal, eksternal-eksternal tidak menggunakan *trip generation* dan *trip distribution*.



Gambar 4.4 Desire Line Antar Zona

Pada gambar 4.4, menunjukkan hasil *desire line* antar zona dalam perangkat lunak Visum. Tanda hijau pada gambar adalah jumlah perjalanan yang akan dilakukan dari zona asal ke zona tujuan. Semakin lebar warna hijau tersebut, maka jumlah perjalanan yang menuju zona tersebut juga akan semakin besar.

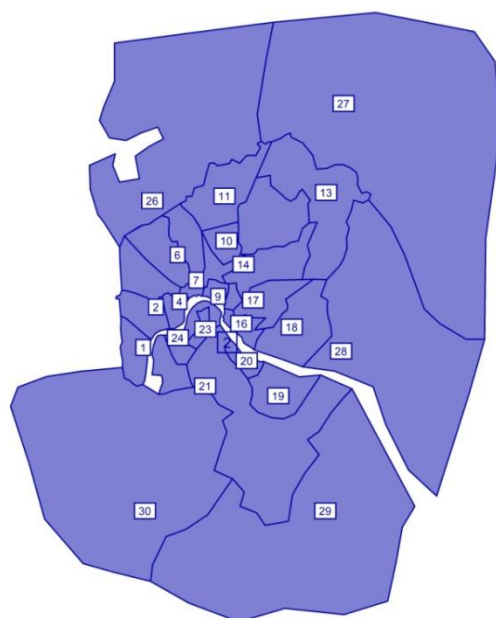
4.5. Trip Assignments

4.5.1. Gambaran Umum

Trip Assignments merupakan perhitungan untuk mengetahui kinerja suatu ruas jalan. Dalam perhitungan *trip assignment* dibutuhkan faktor pelengkap seperti model area zona dan model jaringan jalan kota Samarinda. Semua perhitungan *trip assignment* akan ditunjukkan dengan bantuan perangkat lunak Visum. Berikut adalah bagian perhitungan yang akan digunakan dalam *trip assignment*.

4.5.2. Model Area Zona

Model area zona merupakan model zona-zona yang mewakili semua zona kelurahan internal dan eksternal kota Samarinda. Visum versi 15 untuk pelajar hanya dapat mewakili 30 zona sebagai batas maksimum, sehingga dalam penelitian terdapat penggabungan zona sehingga dapat mewakili semua zona yang akan dimodelkan. Penggabungan zona ini terdiri dari 25 zona internal dan 5 zona eksternal dimana telah dijelaskan pada bab sebelumnya. Berikut adalah model area zona menggunakan perangkat lunak Visum yang ditunjukkan pada gambar 4.5.

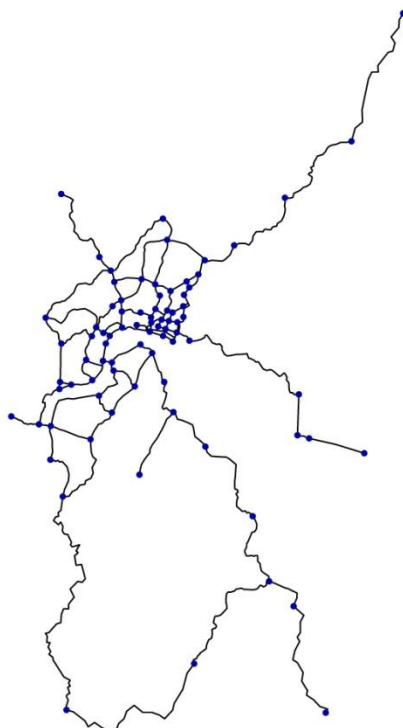


Gambar 4.5 Model Jaringan Jalan Visum

Pada gambar 4.5, terlihat 30 zona mewakili semua zona internal dan eksternal kota Samarinda. Zona internal terdiri dari zona 1-25, sedangkan zona eksternal terdiri dari zona 26-30. Model zona ini sama seperti ditunjukkan pada penggabungan di *point* 4.1.1.

4.5.3. Model Jaringan Jalan

Model jaringan jalan merupakan model jaringan jalan yang mewakili semua ruas jalan primer dan sekunder di kota Samarinda. Tidak ada batasan untuk jaringan jalan dalam perangkat lunak Visum, sehingga mudah untuk membuat jaringan jalan yang lengkap. Jaringan jalan ini digunakan untuk lalu lintas perjalanan antar zona. Berikut adalah model jaringan jalan menggunakan perangkat lunak Visum ditunjukkan pada Gambar 4.6.

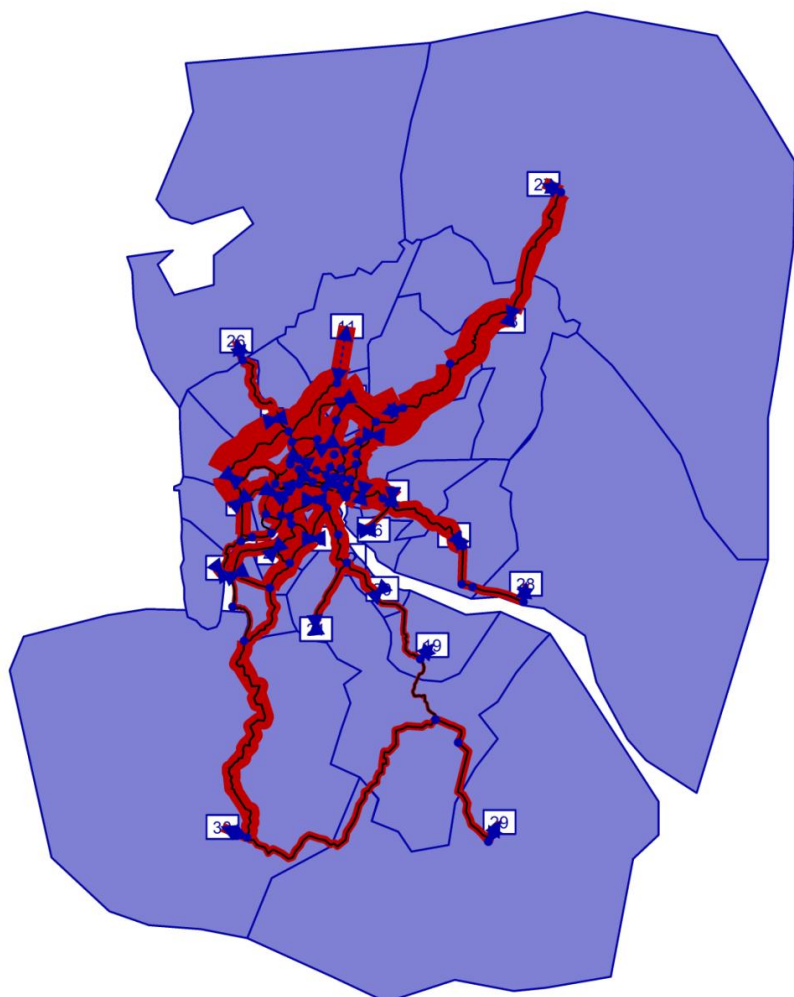


Gambar 4.6 Hasil *Trip Assignment* Visum

4.5.4. Hasil dan Analisis *Trip Assignments* menggunakan Visum

Setelah model area zona dan model jaringan jalan diketahui, maka kita dapat menghitung *trip assignment* zona internal eksternal kota Samarinda menggunakan perangkat lunak Visum. Metode yang digunakan dalam

perhitungan *trip assignment* adalah metode *equilibrium assignment*. *Equilibrium assignment* merupakan metode pemilihan rute perjalanan dimana pengguna kendaraan akan lebih cenderung memilih rute perjalanan yang terpendek. Pada perhitungan *trip assignment*, terdapat perbedaan antara validasi kalibrasi zona internal (internal-internal) dengan zona eksternal (internal-eksternal, eksternal-internal, eksternal-eksternal). Proses pemasukan data ke perangkat lunak Visum telah dijelaskan di bab 3. Dalam validasi kalibrasi zona internal terdapat 14 kali perhitungan validasi kalibrasi, sedangkan untuk validasi kalibrasi zona eksternal terdapat 6 kali perhitungan validasi kalibrasi. Berikut adalah hasil perhitungan *trip assignment* kota Samarinda yang ditunjukkan pada gambar 4.7 dan tabel 4.14.



Gambar 4.7 Hasil *Desire Line Trip Assignment* Visum

Tabel 4. 14Trip Assignment Tiap Jaringan Jalan

No.	Nama Jalan	Link	From Node	To Node	Arus LL Model
1	Jl. Bung Tomo	9	2	11	1.463
	Jl. Bung Tomo	9	11	2	1.500
2	Jl. Cipto Mangunkusumo	10	2	3	4.380
	Jl. Cipto Mangunkusumo	10	3	2	4.251
	Jl. Cipto Mangunkusumo	12	3	4	2.726
	Jl. Cipto Mangunkusumo	12	4	3	2.697
	Jl. Cipto Mangunkusumo	15	4	7	1.860
	Jl. Cipto Mangunkusumo	15	7	4	2.003
3	Jl. Jakarta	26	20	75	2.561
	Jl. Jakarta	26	75	20	1.867
4	Jl. Slamet Riyadi	32	1	14	5.563
	Jl. Slamet Riyadi	32	14	1	6.031
	Jl. Slamet Riyadi	36	1	26	6.031
	Jl. Slamet Riyadi	36	26	1	5.655
	Jl. Slamet Riyadi	41	26	27	5.525
	Jl. Slamet Riyadi	41	27	26	5.149
	Jl. Slamet Riyadi	42	27	29	6.133
	Jl. Slamet Riyadi	42	29	27	4.549
5	Jembatan Mahakam	33	1	2	5.655
	Jembatan Mahakam	33	2	1	5.563
6	Jl. P. Antasari	44	29	31	2.482
	Jl. P. Antasari	44	31	29	3.165
	Jl. P. Antasari	45	31	32	3.886
	Jl. P. Antasari	45	32	31	5.251
	Jl. P. Antasari	47	30	32	5.790
	Jl. P. Antasari	47	32	30	3.886
7	Jl. Gajah Mada	51	61	66	3.726
	Jl. Gajah Mada	51	66	61	5.800
	Jl. Gajah Mada	53	45	61	3.726
	Jl. Gajah Mada	53	61	45	4.120
8	Jl. Jend. Sudirman	60	60	62	0
	Jl. Jend. Sudirman	60	62	60	2.379
	Jl. Jend. Sudirman	61	54	60	0
	Jl. Jend. Sudirman	61	60	54	1.570
9	Jl. Pangeran Diponegoro	63	50	51	4.309
	Jl. Pangeran Diponegoro	63	51	50	0
10	Jl. Yos Sudarso	67	53	59	0
	Jl. Yos Sudarso	67	59	53	2.043

No.	Nama Jalan	Link	From Node	To Node	Arus LL Model
10	Jl. Yos Sudarso	152	53	102	2.043
	Jl. Yos Sudarso	152	102	53	5.808
11	Jl. Otto Iskandardinata	73	57	58	4.905
	Jl. Otto Iskandardinata	73	58	57	4.600
12	Jl. Juanda	104	30	35	5.781
	Jl. Juanda	104	35	30	3.743
	Jl. Ahmad Yani	108	39	40	1.801
	Jl. Ahmad Yani	108	40	39	3.264
	Jl. Ahmad Yani	118	40	41	2.580
	Jl. Ahmad Yani	118	41	40	4.604
13	Jl. D.I. Panjaitan	120	38	41	5.044
	Jl. D.I. Panjaitan	120	41	38	4.271
14	Jl. D.I. Panjaitan	121	38	76	6.875
	Jl. D.I. Panjaitan	121	76	38	6.841
	Jl. D.I. Panjaitan	123	76	88	4.106
	Jl. D.I. Panjaitan	123	88	76	4.348
15	Jl. M. Yamin	153	36	103	2.387
	Jl. M. Yamin	153	103	36	3.448

Pada gambar 4.7, ditunjukkan hasil perhitungan *trip assignment* menggunakan perangkat lunak Visum. Tanda merah pada gambar merupakan jumlah perjalanan yang dilakukan pada ruas jalan tersebut. Semakin lebar warna merah tersebut, maka jumlah perjalanan yang dilakukan di ruas jalan tersebut juga semakin besar.

Tabel 4.14 menunjukkan jumlah perjalanan yang telah dihitung *trip assignment* dalam Visum. Ruas jalan yang ditunjukkan bukan semua ruas jalan yang ada dalam model jaringan jalan, tetapi ruas jalan ditunjukkan adalah ruas jalan yang selalu digunakan oleh pengendara. Dalam tabel tersebut jembatan Mahakam memiliki jumlah perjalanan yang tinggi yaitu 5.655 sepeda motor dan jalan D.I. Panjaitan memiliki jumlah perjalanan tertinggi yaitu 6.875 sepeda motor.

4.6. Validasi dan Kalibrasi

4.6.1. Hasil Validasi dan Kalibrasi

Validasi dan kalibrasi merupakan faktor terpenting dalam penelitian ini. Selain untuk menyesuaikan *trip assignment* model dengan survei *count*, tetapi juga validasi dan kalibrasi jarang digunakan dalam pemodelan transportasi sehingga dianggap hal yang baru dalam penelitian ini. Nilai batas validasi yang digunakan adalah 10%. Jika selisih antar model dengan data yang sebenarnya <10%, maka data tersebut dikatakan valid. Tetapi jika selisih data tersebut >10%, maka data tersebut tidak valid dan perlu kalibrasi untuk mencapai data tersebut valid. Metode kalibrasi yang digunakan adalah metode kalibrasi sederhana. Metode kalibrasi sederhana merupakan metode kalibrasi yang langsung mengurangi/menambahkan jumlah perjalanan antar zona di *trip distribution* sesuai dengan data survei *count* ruas jalan. Total Validasi dan Kalibrasi yang telah dilakukan 6 kali berturut untuk mendapatkan data arus lalu lintas yang valid. Berikut adalah hasil validasi dan kalibrasi awal, tengah, dan akhir yang ditunjukkan pada tabel 4.15, 4.16, dan tabel 4.17.

Tabel 4. 15Validasi dan Kalibrasi Awal

No.	Nama Jalan	Link	From Node	To Node	Arus LL Model	Arus LL Real	Error		Evaluate
							Value	%	
1	Jl. Bung Tomo	9	2	11	1.463	1.245	218	14,91%	X
	Jl. Bung Tomo	9	11	2	1.500	1.245	255	17,00%	X
2	Jl. Cipto Mangunkusumo	10	2	3	4.380	2.720	1.660	37,90%	X
	Jl. Cipto Mangunkusumo	10	3	2	4.251	2.720	1.531	36,01%	X
	Jl. Cipto Mangunkusumo	12	3	4	2.726	1.910	816	29,93%	X
	Jl. Cipto Mangunkusumo	12	4	3	2.697	1.910	787	29,19%	X
	Jl. Cipto Mangunkusumo	15	4	7	1.860	1.294	566	30,44%	X
	Jl. Cipto Mangunkusumo	15	7	4	2.003	1.476	527	26,33%	X
3	Jl. Jakarta	26	20	75	2.561	2.541	20	0,79%	Ok
	Jl. Jakarta	26	75	20	1.867	1.212	655	35,07%	X
4	Jl. Slamet Riyadi	32	1	14	5.563	3.499	2.064	37,10%	X
	Jl. Slamet Riyadi	32	14	1	6.031	5.431	600	9,94%	Ok
	Jl. Slamet Riyadi	36	1	26	6.031	5.431	600	9,94%	Ok
	Jl. Slamet Riyadi	36	26	1	5.655	3.499	2.156	38,13%	X
	Jl. Slamet Riyadi	41	26	27	5.525	5.122	403	7,29%	Ok
	Jl. Slamet Riyadi	41	27	26	5.149	3.156	1.993	38,71%	X
	Jl. Slamet Riyadi	42	27	29	6.133	5.987	146	2,38%	Ok

No.	Nama Jalan	Link	From Node	To Node	Arus LL Model	Arus LL Real	Error		Evaluate
							Value	%	
4	Jl. Slamet Riyadi	42	29	27	4.549	3.156	1.393	30,62%	X
5	Jembatan Mahakam	33	1	2	5.655	3.086	2.569	45,43%	X
	Jembatan Mahakam	33	2	1	5.563	3.086	2.477	44,52%	X
6	Jl. P. Antasari	44	29	31	2.482	2.699	-217	-8,76%	Ok
	Jl. P. Antasari	44	31	29	3.165	3.001	164	5,17%	Ok
	Jl. P. Antasari	45	31	32	3.886	4.005	-119	-3,07%	Ok
	Jl. P. Antasari	45	32	31	5.251	4.785	466	8,87%	Ok
	Jl. P. Antasari	47	30	32	5.790	4.785	1.005	17,35%	X
	Jl. P. Antasari	47	32	30	3.886	4.005	-119	-3,07%	Ok
7	Jl. Gajah Mada	51	61	66	3.726	3.041	685	18,39%	X
	Jl. Gajah Mada	51	66	61	5.800	5.322	478	8,24%	Ok
	Jl. Gajah Mada	53	45	61	3.726	3.041	685	18,39%	X
	Jl. Gajah Mada	53	61	45	4.120	4.110	10	0,23%	Ok
8	Jl. Jend. Sudirman	60	60	62	0				
	Jl. Jend. Sudirman	60	62	60	2.379	2.245	134	5,63%	Ok
	Jl. Jend. Sudirman	61	54	60	0				
	Jl. Jend. Sudirman	61	60	54	1.570	985	585	37,26%	X
9	Jl. Pangeran Diponegoro	63	50	51	4.309	3.874	435	10,09%	X
	Jl. Pangeran Diponegoro	63	51	50	0				
10	Jl. Yos Sudarso	67	53	59	0				
	Jl. Yos Sudarso	67	59	53	2.043	1.560	483	23,64%	X
	Jl. Yos Sudarso	152	53	102	2.043	1.210	833	40,77%	X
	Jl. Yos Sudarso	152	102	53	5.808	5.087	721	12,41%	X
11	Jl. Otto Iskandardinata	73	57	58	4.905	3.273	1.632	33,27%	X
	Jl. Otto Iskandardinata	73	58	57	4.600	3.273	1.327	28,85%	X
12	Jl. Juanda	104	30	35	5.781	4.970	811	14,03%	X
	Jl. Juanda	104	35	30	3.743	3.336	407	10,87%	X
	Jl. Ahmad Yani	108	39	40	1.801	1.601	200	11,11%	X
	Jl. Ahmad Yani	108	40	39	3.264	2.883	381	11,66%	X
	Jl. Ahmad Yani	118	40	41	2.580	2.167	413	16,02%	X
	Jl. Ahmad Yani	118	41	40	4.604	3.756	848	18,42%	X
13	Jl. D.I. Panjaitan	120	38	41	5.044	3.841	1.203	23,85%	X
	Jl. D.I. Panjaitan	120	41	38	4.271	3.750	521	12,20%	X
14	Jl. D.I. Panjaitan	121	38	76	6.875	4.786	2.089	30,39%	X
	Jl. D.I. Panjaitan	121	76	38	6.841	3.786	3.055	44,66%	X
	Jl. D.I. Panjaitan	123	76	88	4.106	2.256	1.850	45,06%	X
	Jl. D.I. Panjaitan	123	88	76	4.348	1.570	2.778	63,89%	X
15	Jl. M. Yamin	153	36	103	2.387	2.525	-138	-5,80%	Ok
	Jl. M. Yamin	153	103	36	3.448	3.105	343	9,96%	Ok
								63,89%	15

Tabel 4. 16Validasi dan Kalibrasi Tengah

No.	Nama Jalan	Link	From Node	To Node	Arus LL Model	Arus LL Real	Error		Evaluate
							Value	%	
1	Jl. Bung Tomo	9	2	11	1217	1.245	-28	-2,29%	Ok
	Jl. Bung Tomo	9	11	2	1023	1.245	-222	-21,65%	X
2	Jl. Cipto Mangunkusumo	10	2	3	2877	2.720	157	5,46%	Ok
	Jl. Cipto Mangunkusumo	10	3	2	3001	2.720	281	9,37%	Ok
	Jl. Cipto Mangunkusumo	12	3	4	1842	1.910	-68	-3,71%	Ok
	Jl. Cipto Mangunkusumo	12	4	3	1970	1.910	60	3,05%	Ok
	Jl. Cipto Mangunkusumo	15	4	7	1360	1.294	66	4,82%	Ok
	Jl. Cipto Mangunkusumo	15	7	4	1471	1.476	-5	-0,36%	Ok
3	Jl. Jakarta	26	20	75	2406	2.541	-135	-5,63%	Ok
	Jl. Jakarta	26	75	20	1269	1.212	57	4,52%	Ok
4	Jl. Slamet Riyadi	32	1	14	3450	3.499	-49	-1,42%	Ok
	Jl. Slamet Riyadi	32	14	1	4971	5.431	-460	-9,25%	Ok
	Jl. Slamet Riyadi	36	1	26	4971	5.431	-460	-9,25%	Ok
	Jl. Slamet Riyadi	36	26	1	3520	3.499	21	0,59%	Ok
	Jl. Slamet Riyadi	41	26	27	4769	5.122	-353	-7,40%	Ok
	Jl. Slamet Riyadi	41	27	26	3318	3.156	162	4,87%	Ok
	Jl. Slamet Riyadi	42	27	29	5551	5.987	-436	-7,86%	Ok
	Jl. Slamet Riyadi	42	29	27	3444	3.156	288	8,36%	Ok
5	Jembatan Mahakam	33	1	2	3338	3.086	252	7,54%	Ok
	Jembatan Mahakam	33	2	1	3268	3.086	182	5,56%	Ok
6	Jl. P. Antasari	44	29	31	2698	2.699	-1	-0,04%	Ok
	Jl. P. Antasari	44	31	29	3095	3.001	94	3,03%	Ok
	Jl. P. Antasari	45	31	32	3682	4.005	-323	-8,78%	Ok
	Jl. P. Antasari	45	32	31	4588	4.785	-197	-4,29%	Ok
	Jl. P. Antasari	47	30	32	5290	4.785	505	9,55%	Ok
	Jl. P. Antasari	47	32	30	3682	4.005	-323	-8,78%	Ok
7	Jl. Gajah Mada	51	61	66	3130	3.041	89	2,84%	Ok
	Jl. Gajah Mada	51	66	61	5352	5.322	30	0,55%	Ok
	Jl. Gajah Mada	53	45	61	3130	3.041	89	2,84%	Ok
	Jl. Gajah Mada	53	61	45	3894	4.110	-216	-5,56%	Ok
8	Jl. Jend. Sudirman	60	60	62	0				
	Jl. Jend. Sudirman	60	62	60	2188	2.245	-57	-2,61%	Ok
	Jl. Jend. Sudirman	61	54	60	0				
	Jl. Jend. Sudirman	61	60	54	1240	985	255	20,56%	X
9	Jl. Pangeran Diponegoro	63	50	51	3852	3.874	-22	-0,58%	Ok
	Jl. Pangeran Diponegoro	63	51	50	0				
10	Jl. Yos Sudarso	67	53	59	0				
	Jl. Yos Sudarso	67	59	53	1724	1.560	164	9,53%	Ok

No.	Nama Jalan	Link	From Node	To Node	Arus LL Model	Arus LL Real	Error		Evaluate
							Value	%	
10	Jl. Yos Sudarso	152	53	102	1561	1.210	351	22,50%	X
	Jl. Yos Sudarso	152	102	53	5486	5.087	399	7,27%	Ok
11	Jl. Otto Iskandardinata	73	57	58	4123	3.273	850	20,62%	X
	Jl. Otto Iskandardinata	73	58	57	3780	3.273	507	13,41%	X
12	Jl. Juanda	104	30	35	5285	4.970	315	5,96%	Ok
	Jl. Juanda	104	35	30	3202	3.336	-134	-4,18%	Ok
13	Jl. Ahmad Yani	108	39	40	1442	1.601	-159	-11,03%	X
	Jl. Ahmad Yani	108	40	39	2664	2.883	-219	-8,23%	Ok
	Jl. Ahmad Yani	118	40	41	2207	2.167	40	1,81%	Ok
	Jl. Ahmad Yani	118	41	40	3935	3.756	179	4,55%	Ok
14	Jl. D.I. Panjaitan	120	38	41	4041	3.841	200	4,96%	Ok
	Jl. D.I. Panjaitan	120	41	38	3712	3.750	-38	-1,02%	Ok
	Jl. D.I. Panjaitan	121	38	76	5185	4.786	399	7,70%	Ok
	Jl. D.I. Panjaitan	121	76	38	4317	3.786	531	12,30%	X
	Jl. D.I. Panjaitan	123	76	88	2086	2.256	-170	-8,15%	Ok
	Jl. D.I. Panjaitan	123	88	76	1536	1.570	-34	-2,21%	Ok
15	Jl. M. Yamin	153	36	103	2314	2.525	-211	-9,12%	Ok
	Jl. M. Yamin	153	103	36	3145	3.105	40	1,26%	Ok
							22,50%	45	

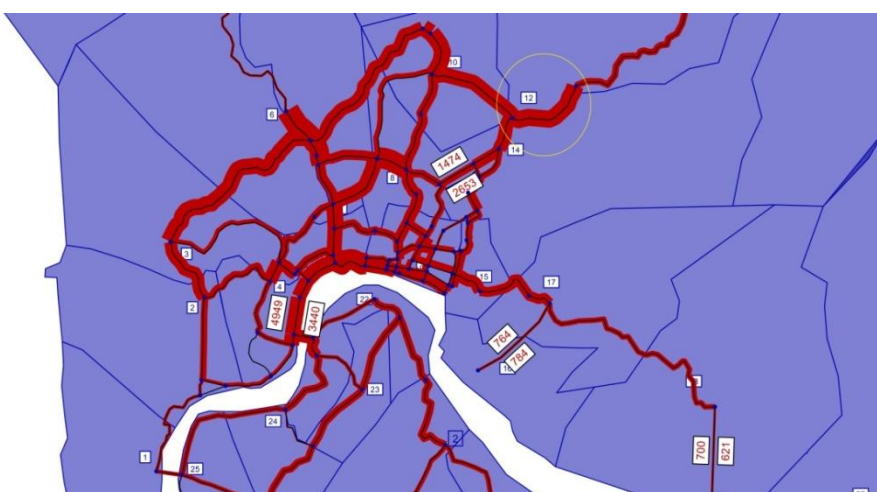
Tabel 4. 17Validasi dan Kalibrasi Akhir

No.	Nama Jalan	Link	From Node	To Node	TA Model	TA Real	Error		Evaluate
							Value	%	
1	Jl. Bung Tomo	9	2	11	1181	1.245	-64	-5,38%	Ok
	Jl. Bung Tomo	9	11	2	1146	1.245	-99	-8,68%	Ok
2	Jl. Cipto Mangunkusumo	10	2	3	2977	2.720	257	8,62%	Ok
	Jl. Cipto Mangunkusumo	10	3	2	3011	2.720	291	9,66%	Ok
	Jl. Cipto Mangunkusumo	12	3	4	1930	1.910	20	1,06%	Ok
	Jl. Cipto Mangunkusumo	12	4	3	1966	1.910	56	2,87%	Ok
	Jl. Cipto Mangunkusumo	15	4	7	1329	1.294	35	2,66%	Ok
	Jl. Cipto Mangunkusumo	15	7	4	1509	1.476	33	2,17%	Ok
3	Jl. Jakarta	26	20	75	2364	2.541	-177	-7,48%	Ok
	Jl. Jakarta	26	75	20	1251	1.212	39	3,08%	Ok
4	Jl. Slamet Riyadi	32	1	14	3438	3.499	-61	-1,77%	Ok
	Jl. Slamet Riyadi	32	14	1	4949	5.431	-482	-9,74%	Ok
	Jl. Slamet Riyadi	36	1	26	4949	5.431	-482	-9,74%	Ok
	Jl. Slamet Riyadi	36	26	1	3440	3.499	-59	-1,73%	Ok
	Jl. Slamet Riyadi	41	26	27	4747	5.122	-375	-7,90%	Ok
	Jl. Slamet Riyadi	41	27	26	3238	3.156	82	2,52%	Ok

No.	Nama Jalan	Link	From Node	To Node	Arus LL Model	Arus LL Real	Error		Evaluate
							Value	%	
4	Jl. Slamet Riyadi	42	27	29	5496	5.987	-491	-8,93%	Ok
	Jl. Slamet Riyadi	42	29	27	3372	3.156	216	6,40%	Ok
5	Jembatan Mahakam	33	1	2	3307	3.086	221	6,69%	Ok
	Jembatan Mahakam	33	2	1	3306	3.086	220	6,65%	Ok
6	Jl. P. Antasari	44	29	31	2693	2.699	-6	-0,23%	Ok
	Jl. P. Antasari	44	31	29	3030	3.001	29	0,96%	Ok
	Jl. P. Antasari	45	31	32	3658	4.005	-347	-9,49%	Ok
	Jl. P. Antasari	45	32	31	4533	4.785	-252	-5,56%	Ok
	Jl. P. Antasari	47	30	32	5193	4.785	408	7,85%	Ok
	Jl. P. Antasari	47	32	30	3658	4.005	-347	-9,49%	Ok
7	Jl. Gajah Mada	51	61	66	3045	3.041	4	0,14%	Ok
	Jl. Gajah Mada	51	66	61	5263	5.322	-59	-1,12%	Ok
	Jl. Gajah Mada	53	45	61	3045	3.041	4	0,14%	Ok
	Jl. Gajah Mada	53	61	45	3831	4.110	-279	-7,30%	Ok
8	Jl. Jend. Sudirman	60	60	62	0				
	Jl. Jend. Sudirman	60	62	60	2059	2.245	-186	-9,05%	Ok
	Jl. Jend. Sudirman	61	54	60	0				
	Jl. Jend. Sudirman	61	60	54	1080	985	95	8,80%	Ok
9	Jl. Pangeran Diponegoro	63	50	51	3630	3.874	-244	-6,72%	Ok
	Jl. Pangeran Diponegoro	63	51	50	0				
10	Jl. Yos Sudarso	67	53	59	0				
	Jl. Yos Sudarso	67	59	53	1651	1.560	91	5,52%	Ok
	Jl. Yos Sudarso	152	53	102	1273	1.210	63	4,92%	Ok
	Jl. Yos Sudarso	152	102	53	5274	5.087	187	3,54%	Ok
11	Jl. Otto Iskandardinata	73	57	58	3452	3.273	179	5,19%	Ok
	Jl. Otto Iskandardinata	73	58	57	3180	3.273	-93	-2,92%	Ok
12	Jl. Juanda	104	30	35	5183	4.970	213	4,10%	Ok
	Jl. Juanda	104	35	30	3123	3.336	-213	-6,83%	Ok
13	Jl. Ahmad Yani	108	39	40	1474	1.601	-127	-8,61%	Ok
	Jl. Ahmad Yani	108	40	39	2653	2.883	-230	-8,66%	Ok
	Jl. Ahmad Yani	118	40	41	2100	2.167	-67	-3,18%	Ok
	Jl. Ahmad Yani	118	41	40	3867	3.756	111	2,86%	Ok
14	Jl. D.I. Panjaitan	120	38	41	3925	3.841	84	2,14%	Ok
	Jl. D.I. Panjaitan	120	41	38	3578	3.750	-172	-4,81%	Ok
	Jl. D.I. Panjaitan	121	38	76	5095	4.786	309	6,06%	Ok
	Jl. D.I. Panjaitan	121	76	38	4197	3.786	411	9,79%	Ok
	Jl. D.I. Panjaitan	123	76	88	2076	2.256	-180	-8,67%	Ok
	Jl. D.I. Panjaitan	123	88	76	1506	1.570	-64	-4,25%	Ok
15	Jl. M. Yamin	153	36	103	2314	2.525	-211	-9,12%	Ok
	Jl. M. Yamin	153	103	36	3089	3.105	-16	-0,52%	Ok

4.6.2. Proses Kalibrasi dan Validasi

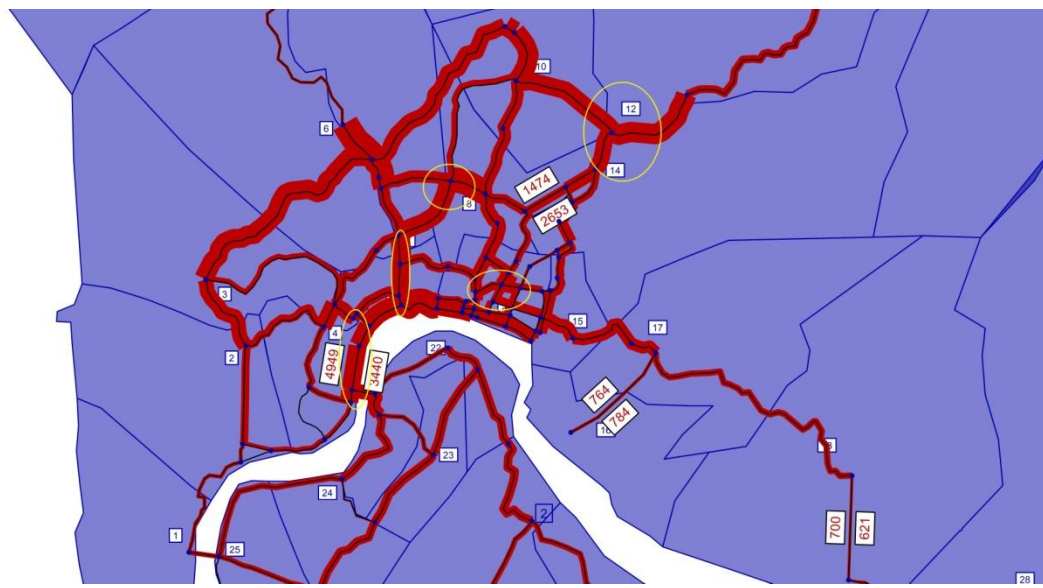
Pada tabel 4.15 menunjukkan hasil validasi dan kalibrasi pada awal perhitungan, tabel 4.16 menunjukkan hasil validasi dan kalibrasi pada tengah perhitungan, sedangkan pada tabel 4.17 menunjukkan validasi dan kalibrasi pada akhir perhitungan. Pada tabel 4.15 terdapat salah satu ruas jalan D.I. Panjaitan yang mempunyai selisih 63,89% terhadap lalu lintas yang terjadi. Proses kalibrasi dilakukan pada ruas jalan yang mengalami selisih yang paling besar, sehingga pada MAT dilakukan pengurangan data perjalanan di TD yang melewati ruas jalan D.I. Panjaitan dengan jumlah pengurangan minimal setengah dari presentase yang ada. Hal ini dilakukan supaya data perjalanan tidak berkurang secara dratis dan tersebar data perjalanan secara merata. Jumlah perhitungan validasi dan kalibrasi adalah 6 kali perhitungan validasi dan kalibrasi untuk MAT internal dan eksternal. Pada Tabel 4.18 merupakan matriks awal dan Tabel 4.19 merupakan ilustrasi pengurangan beberapa data perjalanan akibat selisih validasi di jalan D.I. Panjaitan yang merupakan salah satu jalan yang memiliki selisih yang cukup besar. Gambar jalan D.I Panjaitan ditunjukkan pada Gambar 4.8 untuk mengetahui asal-asal lalu lintas yang terjadi dalam MAT. Terdapat angka-angka yang berwarna merah akibat pengurangan data perjalanan kalibrasi. Angka-angka merah tersebut merupakan data perjalanan yang melewati ruas jalan D.I. Panjaitan. Detail perhitungan validasi dan kalibrasi ditunjukkan pada lampiran validasi dan kalibrasi.



Gambar 4.8 Lokasi Jalan D.I. Panjaitan

4.7. Analisis Model Baru

Setelah semua perhitungan telah dilakukan, pada subbab ini akan menunjukkan hasil akhir dari perhitungan model transportasi kota Samarinda. Berikut adalah hasil MAT dan model baru setelah validasi dan kalibrasi ditunjukkan pada Tabel 4.20 dan gambar 4.9.



Gambar 4.9. *Desire Line Trip Assignment* Kota Samarinda

Pada Gambar 4.9 menunjukkan bahwa lalu lintas yang terjadi di pusat kota Samarinda cukup padat. Terlihat di gambar tersebut warna merah cukup lebar untuk bagian yang berada dalam lingkaran kuning. Ruas jalan yang berada dalam lingkaran kuning adalah jl. Slamet Riyadi (5496 sepeda motor), jl. P. Antasari (5193 sepeda motor), Jembatan Mahakam (3307 sepeda motor), jl. Juanda (5183 sepeda motor), dan jl. D.I Panjaitan (5095 sepeda motor). Ruas-ruas jalan tersebut merupakan ruas jalan yang selalu digunakan oleh pengendara untuk melakukan perjalanan pada saat *peak hour* pagi.

BAB V

KESIMPULAN DAN SARAN

5.1.Kesimpulan

Berdasarkan analisis data dan pembahasan terhadap perhitungan pemodelan transportasi sepeda motor kota Samarinda tahun 2016 dapat ditarik kesimpulan sebagai berikut :

1. Model wilayah kota Samarinda terdiri dari 10 kecamatan dan 53 kelurahan. Dalam perhitungan pemodelan menggunakan perangkat lunak Visum, pemodelan kota Samarinda dibuat dalam 30 zona, dimana 25 zona adalah zona internal dan 5 zona adalah zona ekternal.
2. Jumlah *trip generation* terjadi pada *range* angka 4.720-89.492 motor/jam untuk *trip production* dan 5.396-122.760 motor/jam untuk *trip attraction*, dimana zona 8 memiliki jumlah *trip production* terbesar dan zona 9 yang memiliki jumlah *trip attraction* terbesar. Hal ini disebabkan karena tingginya jumlah populasi dan jumlah kendaraan serta kuat tarik akibat banyaknya perkantoran dan universitas di zona tersebut.
3. Bentuk matriks asal tujuan pada perhitungan pemodelan transportasi kota Samarinda terdistribusi di setiap zona kelurahan dengan nilai *range* 32 - 19.619 perjalanan motor/jam dan nilai koefisien fungsi hambatan (α) sebesar 0,453. Akan tetapi, nilai distribusi perjalanan terbesar terjadi di zona 8 dan zona 9 dimana zona tersebut merupakan zona kelurahan dengan *land use* CBD, khususnya perkantoran dan sekolah.
4. Jumlah arus lalu lintas yang terjadi di kota Samarinda berada pada nilai 1.463 – 6.875 motor/jam, dengan detail di ruas jalan D.I. Panjaitan yang menuju ke arah kota Bontang dengan jumlah paling besar yaitu 5095 sepeda motor, jembatan Mahakam yang menuju ke luar kota Samarinda dengan jumlah arus lalu lintas sebesar 3307 sepeda motor, dan jalan Jendral Sudirman yang menuju ke jalan KH. Kholid dengan jumlah arus lalu lintas terkecil, yaitu 1080 sepeda motor.

5. Hasil validasi dan kalibrasi membutuhkan 6 kali perhitungan validasi dan kalibrasi. Hal ini terjadi karena banyaknya distribusi model perjalanan yang tidak sesuai dengan survei *count* ruas jalan kota Samarinda. Selain itu terdapat perbedaan data jumlah sepeda motor yang diperoleh dari beberapa instansi terkait dibandingkan dengan jumlah sepeda motor pada kondisi sebenarnya.

5.2.Saran

Adapun saran yang dapat direkomendasikan untuk penelitian ini adalah :

1. Penelitian ini masih dapat dilanjutkan dengan mencari solusi dari setiap permasalahan ruas jalan kota
2. Penelitian ini masih dapat dilanjutkan dengan metode, jenis kendaraan yang berbeda, dan studi wilayah yang berbeda.
3. Perangkat lunak yang digunakan lebih baik jika bertaraf profesional bukan versi pelajar.

DAFTAR PUSTAKA

- Arirja Gani, Fadly (2008), *Studi Aplikasi Pengembangan Model Trip Distribution Menggunakan Multivariabel-Linear Pada Fungsi Hambatan dan Kalibrasi Menggunakan Excel-Solver*, Tesis Magister Management Rekayasa Transportasi, Institut Teknologi Sepuluh November, Surabaya
- Berau of Public Road (1977), *Transport Planning And Traffic Engineering*, CAO'Flaherty, USA
- Diyatmoko, Wiratama (2002), *Pemodelan Transportasi Dengan Menggunakan Program Emme/2 (Studi Kasus Kawasan Malioboro Yogyakarta)*, Tesis Magister Sistem dan Teknik Transportasi, Universitas Gajah Mada, Yogyakarta
- Mito, F., (2005), *Perencanaan Transportasi – Untuk Mahasiswa, Perencana dan Praktisi*, Penerbit Erlangga, Jakarta
- Ortuzar, J.de D. dan Willumsen, L.G., (1990), *Modelling Transport*, John Wiley and Sons, West Sussex, England
- Sucipto, Sunarto (2000), *Evaluasi Jaringan Jalan di Kotamadya Pontianak*, Tesis Magister Sistem dan Teknik Transportasi, Universitas Gajah Mada, Yogyakarta
- Suprayitno, Hitapriya, 2015, “*Transportation Modelling based on Traffic Volume*”. ATPW Agustus 6 2015. Institut Teknologi Sepuluh November. Surabaya
- Suprayitno, Hitapriya, 2014, “*Metoda Penilaian Kualitas Jaringan Jalan Utama di Wilayah Kabupaten*”, *Disertasi*, Jurusan Teknik Sipil, ITS. Surabaya
- Suprayitno, Hitapriya, 2016, “*Manual Validation and Calibration Method for All-or-Nothing Traffic Assignment*”, *Journal Paper*, The 2nd International Seminar on Science and Technology

Sulistyorini, Rahayu (2014), *Perencanaan dan Pemodelan Transportasi*, Graha Ilmu, Yogyakarta

Tamin, O.Z. (2000), *Perencanaan & Pemodelan Transportasi*, Edisi Kedua, Institut Teknologi Bandung, Bandung.

Tamin, O.Z., (2003), *Perencanaan & Pemodelan Transportasi – Contoh Soal dan Aplikasi*, Edisi Kesatu, Institut Teknologi Bandung, Bandung.

Bappeda Samarinda, (2016, 04 Agustus), *Pemicu Macet, Pemkot Waspada! Pertumbuhan Kendaraan*, <http://bappeda.samarindakota.go.id/berita/baca/357>

BIODATA PENULIS



Norbertus Dwi Ariyadi Praditya, lahir di Samarinda pada tanggal 06 Juni 1992. Penulis merupakan anak dari pasangan Tarsisius Triyadi dan Caeline Ary Prihastuti sebagai anak ke dua dari dua bersaudara.

Penulis telah menempuh pendidikan formal di SD Katolik Sugiyapranata Klaten (lulus tahun 2004), SMP PL Bintang Laut Solo (lulus tahun 2007), dan SMAK St. Fransiskus Assisi (lulus tahun 2010). Kemudian penulis melanjutkan pendidikan di perguruan tinggi pada program S1 Jurusan

Teknik Sipil, Fakultas Teknik, Universitas Mulawarman Samarinda (lulus tahun 2015),

Pertengahan tahun 2015, penulis berkesempatan melanjutkan pendidikan program S2 pada bidang keahlian Manajemen Rekayasa Transportasi, Departemen Teknik Sipil, Fakultas Teknik Sipil dan Perencanaan, Institut Teknologi Sepuluh Nopember, Surabaya. Dan lulus pada bulan Mei tahun 2017.

Norbertus Dwi Ariyadi Praditya (Mr.)

Civil Engineering Student

Sepuluh Nopember Institute of Technology, Surabaya

norbertuspraditya@gmail.com

(+62) 81268637778

Lampiran 2 Validasi T-ass Kedua

No.	Nama Jalan	Link	From Node	To Node	TA Model	TA Real	Error		Evaluate
							Value	%	
1	Jl. Bung Tomo	9	2	11	1256	1.245	11	0,89%	Ok
	Jl. Bung Tomo	9	11	2	1564	1.245	319	20,41%	X
2	Jl. Cipto Mangunkusumo	10	2	3	3765	2.720	1.045	27,75%	X
	Jl. Cipto Mangunkusumo	10	3	2	4296	2.720	1.576	36,69%	X
	Jl. Cipto Mangunkusumo	12	3	4	2378	1.910	468	19,67%	X
	Jl. Cipto Mangunkusumo	12	4	3	2720	1.910	810	29,78%	X
	Jl. Cipto Mangunkusumo	15	4	7	1583	1.294	289	18,27%	X
	Jl. Cipto Mangunkusumo	15	7	4	1988	1.476	512	25,74%	X
3	Jl. Jakarta	26	20	75	2387	2.541	-154	-6,44%	Ok
	Jl. Jakarta	26	75	20	1799	1.212	587	32,63%	X
4	Jl. Slamet Riyadi	32	1	14	5563	3.499	2.064	37,10%	X
	Jl. Slamet Riyadi	32	14	1	5969	5.431	538	9,02%	Ok
	Jl. Slamet Riyadi	36	1	26	5969	5.431	538	9,02%	Ok
	Jl. Slamet Riyadi	36	26	1	4723	3.499	1.224	25,92%	X
	Jl. Slamet Riyadi	41	26	27	5647	5.122	525	9,30%	Ok
	Jl. Slamet Riyadi	41	27	26	4401	3.156	1.245	28,29%	X
	Jl. Slamet Riyadi	42	27	29	6069	5.987	82	1,36%	Ok
	Jl. Slamet Riyadi	42	29	27	4005	3.156	849	21,19%	X
5	Jembatan Mahakam	33	1	2	4723	3.086	1.637	34,66%	X
	Jembatan Mahakam	33	2	1	5563	3.086	2.477	44,52%	X
6	Jl. P. Antasari	44	29	31	2633	2.699	-66	-2,51%	Ok
	Jl. P. Antasari	44	31	29	3157	3.001	156	4,94%	Ok
	Jl. P. Antasari	45	31	32	3894	4.005	-111	-2,85%	Ok
	Jl. P. Antasari	45	32	31	4873	4.785	88	1,81%	Ok
	Jl. P. Antasari	47	30	32	5596	4.785	811	14,49%	X
	Jl. P. Antasari	47	32	30	3894	4.005	-111	-2,85%	Ok
7	Jl. Gajah Mada	51	61	66	3420	3.041	379	11,07%	X
	Jl. Gajah Mada	51	66	61	5720	5.322	398	6,96%	Ok
	Jl. Gajah Mada	53	45	61	3420	3.041	379	11,07%	X
	Jl. Gajah Mada	53	61	45	4003	4.110	-107	-2,68%	Ok
8	Jl. Jend. Sudirman	60	60	62	0				
	Jl. Jend. Sudirman	60	62	60	2309	2.245	64	2,79%	Ok
	Jl. Jend. Sudirman	61	54	60	0				
	Jl. Jend. Sudirman	61	60	54	1570	985	585	37,26%	X
9	Jl. Pangeran Diponegoro	63	50	51	4107	3.874	233	5,67%	Ok
	Jl. Pangeran Diponegoro	63	51	50	0				
10	Jl. Yos Sudarso	67	53	59	0				
	Jl. Yos Sudarso	67	59	53	2025	1.560	465	22,96%	X

	Jl. Yos Sudarso	152	53	102	2025	1.210	815	40,25%	X
	Jl. Yos Sudarso	152	102	53	5713	5.087	626	10,96%	X
11	Jl. Otto Iskandardinata	73	57	58	4453	3.273	1.180	26,50%	X
	Jl. Otto Iskandardinata	73	58	57	4600	3.273	1.327	28,85%	X
12	Jl. Juanda	104	30	35	5779	4.970	809	14,00%	X
	Jl. Juanda	104	35	30	3392	3.336	56	1,66%	Ok
13	Jl. Ahmad Yani	108	39	40	1952	1.601	351	17,99%	X
	Jl. Ahmad Yani	108	40	39	2613	2.883	-270	-10,32%	X
	Jl. Ahmad Yani	118	40	41	2714	2.167	547	20,14%	X
	Jl. Ahmad Yani	118	41	40	3921	3.756	165	4,20%	Ok
14	Jl. D.I. Panjaitan	120	38	41	4021	3.841	180	4,49%	Ok
	Jl. D.I. Panjaitan	120	41	38	4532	3.750	782	17,25%	X
	Jl. D.I. Panjaitan	121	38	76	6875	4.786	2.089	30,39%	X
	Jl. D.I. Panjaitan	121	76	38	4407	3.786	621	14,09%	X
	Jl. D.I. Panjaitan	123	76	88	4106	2.256	1.850	45,06%	X
	Jl. D.I. Panjaitan	123	88	76	1596	1.570	26	1,63%	Ok
15	Jl. M. Yamin	153	36	103	2375	2.525	-150	-6,33%	Ok
	Jl. M. Yamin	153	103	36	3300	3.105	195	5,90%	Ok

Lampiran 4 Validasi T-ass Ketiga

No.	Nama Jalan	Link	From Node	To Node	TA Model	TA Real	Error		Evaluate
							Value	%	
1	Jl. Bung Tomo	9	2	11	1301	1.245	56	4,32%	Ok
	Jl. Bung Tomo	9	11	2	1458	1.245	213	14,59%	X
2	Jl. Cipto Mangunkusumo	10	2	3	3798	2.720	1.078	28,38%	X
	Jl. Cipto Mangunkusumo	10	3	2	3942	2.720	1.222	30,99%	X
	Jl. Cipto Mangunkusumo	12	3	4	2395	1.910	485	20,24%	X
	Jl. Cipto Mangunkusumo	12	4	3	2516	1.910	606	24,07%	X
	Jl. Cipto Mangunkusumo	15	4	7	1568	1.294	274	17,45%	X
	Jl. Cipto Mangunkusumo	15	7	4	1810	1.476	334	18,44%	X
3	Jl. Jakarta	26	20	75	2456	2.541	-85	-3,47%	Ok
	Jl. Jakarta	26	75	20	1640	1.212	428	26,12%	X
4	Jl. Slamet Riyadi	32	1	14	5025	3.499	1.526	30,36%	X
	Jl. Slamet Riyadi	32	14	1	5752	5.431	321	5,58%	Ok
	Jl. Slamet Riyadi	36	1	26	5752	5.431	321	5,58%	Ok
	Jl. Slamet Riyadi	36	26	1	4724	3.499	1.225	25,94%	X
	Jl. Slamet Riyadi	41	26	27	5402	5.122	280	5,19%	Ok
	Jl. Slamet Riyadi	41	27	26	4375	3.156	1.219	27,86%	X
	Jl. Slamet Riyadi	42	27	29	5867	5.987	-120	-2,05%	Ok
	Jl. Slamet Riyadi	42	29	27	3986	3.156	830	20,83%	X
5	Jembatan Mahakam	33	1	2	4724	3.086	1.638	34,68%	X
	Jembatan Mahakam	33	2	1	5025	3.086	1.939	38,58%	X
6	Jl. P. Antasari	44	29	31	2600	2.699	-99	-3,81%	Ok
	Jl. P. Antasari	44	31	29	3124	3.001	123	3,95%	Ok
	Jl. P. Antasari	45	31	32	3720	4.005	-285	-7,65%	Ok
	Jl. P. Antasari	45	32	31	4863	4.785	78	1,61%	Ok
	Jl. P. Antasari	47	30	32	5499	4.785	714	12,99%	X
	Jl. P. Antasari	47	32	30	3720	4.005	-285	-7,65%	Ok
7	Jl. Gajah Mada	51	61	66	3399	3.041	358	10,54%	X
	Jl. Gajah Mada	51	66	61	5572	5.322	250	4,48%	Ok
	Jl. Gajah Mada	53	45	61	3399	3.041	358	10,54%	X
	Jl. Gajah Mada	53	61	45	4009	4.110	-101	-2,51%	Ok
8	Jl. Jend. Sudirman	60	60	62	0				
	Jl. Jend. Sudirman	60	62	60	2345	2.245	100	4,26%	Ok
	Jl. Jend. Sudirman	61	54	60	0				
	Jl. Jend. Sudirman	61	60	54	1570	985	585	37,26%	X
9	Jl. Pangeran Diponegoro	63	50	51	4109	3.874	235	5,72%	Ok
	Jl. Pangeran Diponegoro	63	51	50	0				
10	Jl. Yos Sudarso	67	53	59	0				
	Jl. Yos Sudarso	67	59	53	1950	1.560	390	20,01%	X

	Jl. Yos Sudarso	152	53	102	1907	1.210	697	36,55%	X
	Jl. Yos Sudarso	152	102	53	5673	5.087	586	10,33%	X
11	Jl. Otto Iskandardinata	73	57	58	4453	3.273	1.180	26,50%	X
	Jl. Otto Iskandardinata	73	58	57	4250	3.273	977	22,99%	X
12	Jl. Juanda	104	30	35	5519	4.970	549	9,95%	Ok
	Jl. Juanda	104	35	30	3331	3.336	-5	-0,14%	Ok
13	Jl. Ahmad Yani	108	39	40	1450	1.601	-151	-10,43%	X
	Jl. Ahmad Yani	108	40	39	2722	2.883	-161	-5,92%	Ok
	Jl. Ahmad Yani	118	40	41	2212	2.167	45	2,03%	Ok
	Jl. Ahmad Yani	118	41	40	4026	3.756	270	6,70%	Ok
14	Jl. D.I. Panjaitan	120	38	41	4222	3.841	381	9,02%	Ok
	Jl. D.I. Panjaitan	120	41	38	3736	3.750	-14	-0,36%	Ok
	Jl. D.I. Panjaitan	121	38	76	5255	4.786	469	8,92%	Ok
	Jl. D.I. Panjaitan	121	76	38	4407	3.786	621	14,09%	X
	Jl. D.I. Panjaitan	123	76	88	2146	2.256	-110	-5,13%	Ok
	Jl. D.I. Panjaitan	123	88	76	1596	1.570	26	1,63%	Ok
15	Jl. M. Yamin	153	36	103	2314	2.525	-211	-9,12%	Ok
	Jl. M. Yamin	153	103	36	3246	3.105	141	4,34%	Ok

Lampiran 6 Validasi T-ass Keempat

No.	Nama Jalan	Link	From Node	To Node	TA Model	TA Real	Error		Evaluate
							Value	%	
1	Jl. Bung Tomo	9	2	11	1217	1.245	-28	-2,29%	Ok
	Jl. Bung Tomo	9	11	2	1023	1.245	-222	-21,65%	X
2	Jl. Cipto Mangunkusumo	10	2	3	2877	2.720	157	5,46%	Ok
	Jl. Cipto Mangunkusumo	10	3	2	3001	2.720	281	9,37%	Ok
	Jl. Cipto Mangunkusumo	12	3	4	1842	1.910	-68	-3,71%	Ok
	Jl. Cipto Mangunkusumo	12	4	3	1970	1.910	60	3,05%	Ok
	Jl. Cipto Mangunkusumo	15	4	7	1360	1.294	66	4,82%	Ok
	Jl. Cipto Mangunkusumo	15	7	4	1471	1.476	-5	-0,36%	Ok
3	Jl. Jakarta	26	20	75	2406	2.541	-135	-5,63%	Ok
	Jl. Jakarta	26	75	20	1269	1.212	57	4,52%	Ok
4	Jl. Slamet Riyadi	32	1	14	3450	3.499	-49	-1,42%	Ok
	Jl. Slamet Riyadi	32	14	1	4971	5.431	-460	-9,25%	Ok
	Jl. Slamet Riyadi	36	1	26	4971	5.431	-460	-9,25%	Ok
	Jl. Slamet Riyadi	36	26	1	3520	3.499	21	0,59%	Ok
	Jl. Slamet Riyadi	41	26	27	4769	5.122	-353	-7,40%	Ok
	Jl. Slamet Riyadi	41	27	26	3318	3.156	162	4,87%	Ok
	Jl. Slamet Riyadi	42	27	29	5551	5.987	-436	-7,86%	Ok
	Jl. Slamet Riyadi	42	29	27	3444	3.156	288	8,36%	Ok
5	Jembatan Mahakam	33	1	2	3338	3.086	252	7,54%	Ok
	Jembatan Mahakam	33	2	1	3268	3.086	182	5,56%	Ok
6	Jl. P. Antasari	44	29	31	2698	2.699	-1	-0,04%	Ok
	Jl. P. Antasari	44	31	29	3095	3.001	94	3,03%	Ok
	Jl. P. Antasari	45	31	32	3682	4.005	-323	-8,78%	Ok
	Jl. P. Antasari	45	32	31	4588	4.785	-197	-4,29%	Ok
	Jl. P. Antasari	47	30	32	5290	4.785	505	9,55%	Ok
	Jl. P. Antasari	47	32	30	3682	4.005	-323	-8,78%	Ok
7	Jl. Gajah Mada	51	61	66	3130	3.041	89	2,84%	Ok
	Jl. Gajah Mada	51	66	61	5352	5.322	30	0,55%	Ok
	Jl. Gajah Mada	53	45	61	3130	3.041	89	2,84%	Ok
	Jl. Gajah Mada	53	61	45	3894	4.110	-216	-5,56%	Ok
8	Jl. Jend. Sudirman	60	60	62	0				
	Jl. Jend. Sudirman	60	62	60	2188	2.245	-57	-2,61%	Ok
	Jl. Jend. Sudirman	61	54	60	0				
	Jl. Jend. Sudirman	61	60	54	1240	985	255	20,56%	X
9	Jl. Pangeran Diponegoro	63	50	51	3852	3.874	-22	-0,58%	Ok
	Jl. Pangeran Diponegoro	63	51	50	0				
10	Jl. Yos Sudarso	67	53	59	0				
	Jl. Yos Sudarso	67	59	53	1724	1.560	164	9,53%	Ok

	Jl. Yos Sudarso	152	53	102	1561	1.210	351	22,50%	X
	Jl. Yos Sudarso	152	102	53	5486	5.087	399	7,27%	Ok
11	Jl. Otto Iskandardinata	73	57	58	4123	3.273	850	20,62%	X
	Jl. Otto Iskandardinata	73	58	57	3780	3.273	507	13,41%	X
12	Jl. Juanda	104	30	35	5285	4.970	315	5,96%	Ok
	Jl. Juanda	104	35	30	3202	3.336	-134	-4,18%	Ok
13	Jl. Ahmad Yani	108	39	40	1442	1.601	-159	-11,03%	X
	Jl. Ahmad Yani	108	40	39	2664	2.883	-219	-8,23%	Ok
	Jl. Ahmad Yani	118	40	41	2207	2.167	40	1,81%	Ok
	Jl. Ahmad Yani	118	41	40	3935	3.756	179	4,55%	Ok
14	Jl. D.I. Panjaitan	120	38	41	4041	3.841	200	4,96%	Ok
	Jl. D.I. Panjaitan	120	41	38	3712	3.750	-38	-1,02%	Ok
	Jl. D.I. Panjaitan	121	38	76	5185	4.786	399	7,70%	Ok
	Jl. D.I. Panjaitan	121	76	38	4317	3.786	531	12,30%	X
	Jl. D.I. Panjaitan	123	76	88	2086	2.256	-170	-8,15%	Ok
	Jl. D.I. Panjaitan	123	88	76	1536	1.570	-34	-2,21%	Ok
15	Jl. M. Yamin	153	36	103	2314	2.525	-211	-9,12%	Ok
	Jl. M. Yamin	153	103	36	3145	3.105	40	1,26%	Ok

Lampiran 8 Validasi T-ass Kelima

No.	Nama Jalan	Link	From Node	To Node	TA Model	TA Real	Error		Evaluate
							Value	%	
1	Jl. Bung Tomo	9	2	11	1217	1.245	-28	-2,26%	Ok
	Jl. Bung Tomo	9	11	2	1024	1.245	-221	-21,56%	X
2	Jl. Cipto Mangunkusumo	10	2	3	2859	2.720	139	4,87%	Ok
	Jl. Cipto Mangunkusumo	10	3	2	2987	2.720	267	8,95%	Ok
	Jl. Cipto Mangunkusumo	12	3	4	1829	1.910	-81	-4,41%	Ok
	Jl. Cipto Mangunkusumo	12	4	3	1963	1.910	53	2,72%	Ok
	Jl. Cipto Mangunkusumo	15	4	7	1330	1.294	36	2,74%	Ok
	Jl. Cipto Mangunkusumo	15	7	4	1446	1.476	-30	-2,05%	Ok
3	Jl. Jakarta	26	20	75	2370	2.541	-171	-7,19%	Ok
	Jl. Jakarta	26	75	20	1233	1.212	21	1,70%	Ok
4	Jl. Slamet Riyadi	32	1	14	3378	3.499	-121	-3,58%	Ok
	Jl. Slamet Riyadi	32	14	1	4899	5.431	-532	-10,86%	X
	Jl. Slamet Riyadi	36	1	26	4899	5.431	-532	-10,86%	X
	Jl. Slamet Riyadi	36	26	1	3443	3.499	-56	-1,62%	Ok
	Jl. Slamet Riyadi	41	26	27	4697	5.122	-425	-9,05%	Ok
	Jl. Slamet Riyadi	41	27	26	3241	3.156	85	2,63%	Ok
	Jl. Slamet Riyadi	42	27	29	5445	5.987	-542	-9,95%	Ok
	Jl. Slamet Riyadi	42	29	27	3363	3.156	207	6,17%	Ok
5	Jembatan Mahakam	33	1	2	3308	3.086	222	6,72%	Ok
	Jembatan Mahakam	33	2	1	3243	3.086	157	4,85%	Ok
6	Jl. P. Antasari	44	29	31	2636	2.699	-63	-2,39%	Ok
	Jl. P. Antasari	44	31	29	3022	3.001	21	0,70%	Ok
	Jl. P. Antasari	45	31	32	3649	4.005	-356	-9,77%	Ok
	Jl. P. Antasari	45	32	31	4525	4.785	-260	-5,74%	Ok
	Jl. P. Antasari	47	30	32	5189	4.785	404	7,79%	Ok
	Jl. P. Antasari	47	32	30	3649	4.005	-356	-9,77%	Ok
7	Jl. Gajah Mada	51	61	66	3042	3.041	1	0,04%	Ok
	Jl. Gajah Mada	51	66	61	5264	5.322	-58	-1,11%	Ok
	Jl. Gajah Mada	53	45	61	3042	3.041	1	0,04%	Ok
	Jl. Gajah Mada	53	61	45	3829	4.110	-281	-7,33%	Ok
8	Jl. Jend. Sudirman	60	60	62	0				
	Jl. Jend. Sudirman	60	62	60	2059	2.245	-186	-9,03%	Ok
	Jl. Jend. Sudirman	61	54	60	0				
	Jl. Jend. Sudirman	61	60	54	1080	985	95	8,80%	Ok
9	Jl. Pangeran Diponegoro	63	50	51	3629	3.874	-245	-6,76%	Ok
	Jl. Pangeran Diponegoro	63	51	50	0				
10	Jl. Yos Sudarso	67	53	59	0				
	Jl. Yos Sudarso	67	59	53	1653	1.560	93	5,62%	Ok

	Jl. Yos Sudarso	152	53	102	1279	1.210	69	5,41%	Ok
	Jl. Yos Sudarso	152	102	53	5278	5.087	191	3,61%	Ok
11	Jl. Otto Iskandardinata	73	57	58	3452	3.273	179	5,19%	Ok
	Jl. Otto Iskandardinata	73	58	57	3180	3.273	-93	-2,92%	Ok
12	Jl. Juanda	104	30	35	5200	4.970	230	4,42%	Ok
	Jl. Juanda	104	35	30	3119	3.336	-217	-6,96%	Ok
13	Jl. Ahmad Yani	108	39	40	1472	1.601	-129	-8,74%	Ok
	Jl. Ahmad Yani	108	40	39	2645	2.883	-238	-9,01%	Ok
	Jl. Ahmad Yani	118	40	41	2099	2.167	-68	-3,23%	Ok
	Jl. Ahmad Yani	118	41	40	3860	3.756	104	2,71%	Ok
14	Jl. D.I. Panjaitan	120	38	41	3961	3.841	120	3,03%	Ok
	Jl. D.I. Panjaitan	120	41	38	3572	3.750	-178	-4,97%	Ok
	Jl. D.I. Panjaitan	121	38	76	5095	4.786	309	6,06%	Ok
	Jl. D.I. Panjaitan	121	76	38	4247	3.786	461	10,85%	X
	Jl. D.I. Panjaitan	123	76	88	2046	2.256	-210	-10,26%	X
	Jl. D.I. Panjaitan	123	88	76	1506	1.570	-64	-4,25%	Ok
15	Jl. M. Yamin	153	36	103	2314	2.525	-211	-9,12%	Ok
	Jl. M. Yamin	153	103	36	3088	3.105	-17	-0,57%	Ok

Lampiran 10 Validasi T-ass Keenam

No.	Nama Jalan	Link	From Node	To Node	TA Model	TA Real	Error		Evaluate
							Value	%	
1	Jl. Bung Tomo	9	2	11	1181	1.245	-64	-5,38%	Ok
	Jl. Bung Tomo	9	11	2	1146	1.245	-99	-8,68%	Ok
2	Jl. Cipto Mangunkusumo	10	2	3	2977	2.720	257	8,62%	Ok
	Jl. Cipto Mangunkusumo	10	3	2	3011	2.720	291	9,66%	Ok
	Jl. Cipto Mangunkusumo	12	3	4	1930	1.910	20	1,06%	Ok
	Jl. Cipto Mangunkusumo	12	4	3	1966	1.910	56	2,87%	Ok
	Jl. Cipto Mangunkusumo	15	4	7	1329	1.294	35	2,66%	Ok
	Jl. Cipto Mangunkusumo	15	7	4	1509	1.476	33	2,17%	Ok
3	Jl. Jakarta	26	20	75	2364	2.541	-177	-7,48%	Ok
	Jl. Jakarta	26	75	20	1251	1.212	39	3,08%	Ok
4	Jl. Slamet Riyadi	32	1	14	3438	3.499	-61	-1,77%	Ok
	Jl. Slamet Riyadi	32	14	1	4949	5.431	-482	-9,74%	Ok
	Jl. Slamet Riyadi	36	1	26	4949	5.431	-482	-9,74%	Ok
	Jl. Slamet Riyadi	36	26	1	3440	3.499	-59	-1,73%	Ok
	Jl. Slamet Riyadi	41	26	27	4747	5.122	-375	-7,90%	Ok
	Jl. Slamet Riyadi	41	27	26	3238	3.156	82	2,52%	Ok
	Jl. Slamet Riyadi	42	27	29	5496	5.987	-491	-8,93%	Ok
	Jl. Slamet Riyadi	42	29	27	3372	3.156	216	6,40%	Ok
5	Jembatan Mahakam	33	1	2	3307	3.086	221	6,69%	Ok
	Jembatan Mahakam	33	2	1	3306	3.086	220	6,65%	Ok
6	Jl. P. Antasari	44	29	31	2693	2.699	-6	-0,23%	Ok
	Jl. P. Antasari	44	31	29	3030	3.001	29	0,96%	Ok
	Jl. P. Antasari	45	31	32	3658	4.005	-347	-9,49%	Ok
	Jl. P. Antasari	45	32	31	4533	4.785	-252	-5,56%	Ok
	Jl. P. Antasari	47	30	32	5193	4.785	408	7,85%	Ok
	Jl. P. Antasari	47	32	30	3658	4.005	-347	-9,49%	Ok
7	Jl. Gajah Mada	51	61	66	3045	3.041	4	0,14%	Ok
	Jl. Gajah Mada	51	66	61	5263	5.322	-59	-1,12%	Ok
	Jl. Gajah Mada	53	45	61	3045	3.041	4	0,14%	Ok
	Jl. Gajah Mada	53	61	45	3831	4.110	-279	-7,30%	Ok
8	Jl. Jend. Sudirman	60	60	62	0				
	Jl. Jend. Sudirman	60	62	60	2059	2.245	-186	-9,05%	Ok
	Jl. Jend. Sudirman	61	54	60	0				
	Jl. Jend. Sudirman	61	60	54	1080	985	95	8,80%	Ok
9	Jl. Pangeran Diponegoro	63	50	51	3630	3.874	-244	-6,72%	Ok
	Jl. Pangeran Diponegoro	63	51	50	0				
10	Jl. Yos Sudarso	67	53	59	0				
	Jl. Yos Sudarso	67	59	53	1651	1.560	91	5,52%	Ok

No.	Nama Jalan	Link	From Node	To Node	TA Model	TA Real	Error		Evaluate
							Value	%	
10	Jl. Yos Sudarso	152	53	102	1273	1.210	63	4,92%	Ok
	Jl. Yos Sudarso	152	102	53	5274	5.087	187	3,54%	Ok
11	Jl. Otto Iskandardinata	73	57	58	3452	3.273	179	5,19%	Ok
	Jl. Otto Iskandardinata	73	58	57	3180	3.273	-93	-2,92%	Ok
12	Jl. Juanda	104	30	35	5183	4.970	213	4,10%	Ok
	Jl. Juanda	104	35	30	3123	3.336	-213	-6,83%	Ok
13	Jl. Ahmad Yani	108	39	40	1474	1.601	-127	-8,61%	Ok
	Jl. Ahmad Yani	108	40	39	2653	2.883	-230	-8,66%	Ok
	Jl. Ahmad Yani	118	40	41	2100	2.167	-67	-3,18%	Ok
	Jl. Ahmad Yani	118	41	40	3867	3.756	111	2,86%	Ok
14	Jl. D.I. Panjaitan	120	38	41	3925	3.841	84	2,14%	Ok
	Jl. D.I. Panjaitan	120	41	38	3578	3.750	-172	-4,81%	Ok
	Jl. D.I. Panjaitan	121	38	76	5095	4.786	309	6,06%	Ok
	Jl. D.I. Panjaitan	121	76	38	4197	3.786	411	9,79%	Ok
	Jl. D.I. Panjaitan	123	76	88	2076	2.256	-180	-8,67%	Ok
	Jl. D.I. Panjaitan	123	88	76	1506	1.570	-64	-4,25%	Ok
15	Jl. M. Yamin	153	36	103	2314	2.525	-211	-9,12%	Ok
	Jl. M. Yamin	153	103	36	3089	3.105	-16	-0,52%	Ok